

Vysoká škola: strojní a textilní  
v Liberci

Katedra: textilních strojů

Fakulta: strojní

Školní rok: 1973/74

## DIPLOMOVÝ ÚKOL

pro

Václav BAHNÍK

obor 23-34-8 Výrobní stroje a zařízení - textilní stroje

Protože jste splnil... požadavky učebního plánu, zadává Vám vedoucí katedry ve smyslu směrnic ministerstva školství o státních závěrečných zkouškách tento diplomový úkol:

Název tématu: Mechanismus k přetáčení skřipce

### Pokyny pro vypracování:

- 1) Proveďte posouzení dosavadního mechanismu k přetáčení skřipce na tkacím stavu typu NOPAS pro 250 ot./min.
- 2) Navrhнěte uvedený mechanismus se zřetelem ke zvýšeným otáčkám stavu na 350 ot/min.

Auktorát řídí se žád. směrnicemi ČESK pro vyuč.  
zj. vzděl. zkrutky č.j. 31/72/62.11/2 ze dne  
12.1.1972, zprávou ČVUT v Praze, ředitel ředitel  
č.j. 31/72/62.11/2 – zákonodárného ředitel č. 1/73/73/2

STROJNÍ ŠKOLA STROJNÍ A TEXTILNÍ  
Ústřední knihovna  
LIBERECI – STUDENTSKÁ 3

Rozsah grafických laboratorních prací: Nakreslete rozměrový ideový návrh mechanismu k přetáčení skřipce

Rozsah průvodní zprávy: 10 stran

Seznam odborné literatury:

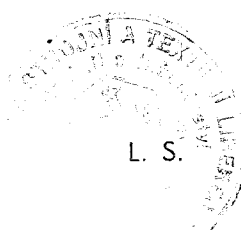
- Charvát, J. : Teorie mechanismů. Skripta VŠST Liberec, 1970.
- Kožešník, J. : Dynamika strojů - Praha, 1958, SNTL.
- Szabo, I. : Mechanika tuhých těles - Praha, 1967, SNTL.  
a kapalin

Vedoucí diplomové práce: Ing. Jiří Libánský, VÚTS, Liberec

Konsultanti: Ing. Jan Bílek, VÚTS, Liberec

Datum zahájení diplomové práce: 15. 10. 1973

Datum odevzdání diplomové práce: 31. 5. 1974



Doc. Ing. Jaroslav Charvát, CSc

Vedoucí katedry

Doc. Ing. Oldřich Krejčíř, CSc

Děkan

VŠST Liberec

Fakulta strojní

Mechanismus k přetáčení skřipec

KTS

1974

str. 3

Místopředseda prohlašuje, že jsem diplomovou práci vypracoval samostatně a použitím uvedené literatury.

Václav Balvík

V Liberci dne 31.V.1974

VŠST Liberec	Mechanismus k přetáčení skřipec	KTS
Fakulta strojní		1974 str.1

**VŠST Liberec-fakulta strojní**  
**Stavba výrobních strojů-textilní stroje**  
**Ober 23-34-8**

**Vedoucí práce: Ing. Jiří Libánský, VÚTS Liberec**

**Konzultant : Ing. Jan Bílek, VÚTS Liberec**

**Počet stran : 120**

**Počet příloh : 4**

**Počet tabulek: 4**

**Počet obrázků: 31**

**Počet výkresů: 3**

**Počet modelů : -**

**DT : 677.052.001.7**

OBSAH

	Úvodní list	1
	Úřední zadání	2
	Místopříslušné prohlášení	3
	Obsah	4
	Seznam obrázků, tabulek, příloh a výkresů	7
1.0	Úvod	11
2.0	Hmotové poměry mechanismu k přetáčení skřipce	22
2.1	Hmota jednotlivých členů mechanismu	22
2.2	Moment metrvačnosti skřipcové skříně a vnitřních ložiskových kroužků	24
2.2.1	Moment metrvačnosti skřipcové skříně bez skřipce	26
2.2.2	Moment metrvačnosti skřipcové skříně se skřipcem	27
2.2.3	Moment metrvačnosti vnitřních ložiskových kroužků	27
2.2.3.1	Moment metrvačnosti vnitřního ložiskového kroužku prvého ložiska	28
2.2.3.2	Moment metrvačnosti vnitřního ložiskového kroužku druhého ložiska	28
2.2.4	Celkový moment metrvačnosti skřipcové skříně	28
2.2.4.1	Celkový moment metrvačnosti skřipcové skříně bez skřipce	29
2.2.4.2	Celkový moment metrvačnosti skřipcové skříně se skřipcem	29
2.3	Redukovaná hmota mechanismu	30
2.3.1	Redukovaná hmota mechanismu bez skřipce	31
2.3.2	Redukovaná hmota mechanismu se skřipcem	31
3.0	Silové poměry mechanismu k přetáčení skřipce	32

3.1	Síla pružiny	32
3.2	Síla způsobená pasivními odpory	34
3.2.1	Síla způsobená pasivními odpory v prvé fázi pohybu zvedáku	36
3.2.2	Síla způsobená pasivními odpory ve druhé, třetí a čtvrté fázi pohybu zvedáku	38
3.2.3	Síla způsobená pasivními odpory samotné skřipcové skříně	38
3.3	Tíhové síly	38
4.0	Kinematika mechanismu k přetáčení skřipce	40
4.1	Graficko-počtařská metoda zjištění rychlosti a zrychlení zvedáku mechanismu	40
4.1.1	Výpočet závěškové závislosti	41
4.1.2	Rychlosť a zrychlení zvedáku mechanismu	42
4.1.2.1	Rychlosť zvedáku mechanismu v jednotlivých fázích jeho pohybu pro $n = 125 \text{ ot/min}$	46
4.1.2.2	Zrychlení zvedáku mechanismu v jednotlivých fázích jeho pohybu pro $n = 125 \text{ ot/min}$	47
4.1.2.3	Rychlosť a zrychlení zvedáku mechanismu v jednotlivých fázích jeho pohybu pro $n = 175 \text{ ot/min}$	49
4.2	Analytická syntéza vačkového mechanismu	50
4.2.1	Jednotková poměrná funkce závihu, rychlosti a zrychlení zvedáku mechanismu	50
4.2.2	Poměrná funkce závihu, rychlosti a zrychlení zvedáku mechanismu	57
4.2.3	Skutečný závih, skutečná rychlosť a skutečné zrychlení zvedáku mechanismu	62
4.2.3.1	Hodnoty závihu, maximální hodnoty skutečné rychlosti a skutečného zrychlení zvedáku mechanismu v jednotlivých fázích jeho pohybu pro $n = 125 \text{ °/min}$	63

4.2.3.2	Hodnoty zdvihu, maximální hodnoty skutečné rychlosti a skutečného zrychlení zvedáku mechanismu v jednotlivých fázích jeho pohybu pro $n = 175 \text{ ot/min}$	64
4.3	Výrobní souřadnice vačky	66
4.3.1	Výpočet výrobních souřadnic vačky	69
4.3.2	Interpolace	71
5.0	Dynamika mechanismu k přetáčení skřipce	73
5.1	Výsledná síla působící na zvedák mechanismu v jednotlivých fázích jeho pohybu pro $n = 125 \text{ ot/min}$	78
5.2	Výsledná síla působící na zvedák mechanismu v jednotlivých fázích jeho pohybu pro $n = 175 \text{ ot/min}$	84
6.0	Návrh nového mechanismu k přetáčení skřipce pro $n = 175 \text{ ot/min}$	91
6.1	Návrh mechanismu s úpravou pružin	92
6.2	Návrh mechanismu s jiným uspořádáním členů mechanismu	98
6.3	Návrh mechanismu s dvojicí vaček	111
6.3.1	Provědení s pružným členem	111
6.3.2	Provědení bez pružného člena	113
6.3.3	Provědení s jedním ozubeným hřebenem	114
7.0	Závěr	116
	Literatura	120

SEZNAM OBRÁZKŮ

Poř. číslo	Název	str.
1	Diagram funkcí stroje typu OK-3	18
2	Schéma mechanismu k přetáčení skřipce	23
3	Bifilární závěs	25
4	Vnitřní ložiskový kroužek	25
5	Uspořádání pružin v mechanismu k přetáčení skřipce	33
6	Pracovní diagram pružin mechanismu	35
7	Fáze pohybu zvedáku	37
8	Grafická derivace	44
9	Průběh zdvihu, rychlosti a zrychlení zvedáku mechanismu	51
10	Průběh zrychlení zvedáku mechanismu	37
11	Schéma přírazového mechanismu	68
12	Blokové schéma výpočtu výrobních souřadnic vačky	70
13	Blokové schéma interpolace	72
14	Síly působící v mechanismu při pohybu bez skřipce	76
15	Síly působící v mechanismu při pohybu se skřipcem	77
16	Diagram sil působících v prvé a druhé fázi pohybu zvedáku pro $n = 125$ ot/min	79
17	Diagram sil působících ve třetí a čtvrté fázi pohybu zvedáku pro $n = 125$ ot/min	80
18	Diagram sil působících v prvé a druhé fázi pohybu zvedáku pro $n = 175$ ot/min	86
19	Diagram sil působících ve třetí fázi pohybu zvedáku pro $n = 175$ ot/min	88

20	Diagram sil působících ve čtvrté fázi pohybu zvedáku pro $n = 175 \text{ ot/min}$	90
21	Uspořádání pružin v mechanismu k přetáčení skřipce podle oddílu 6.1	93
22	Pracovní diagram pružin mechanismu podle oddílu 6.1	95
23	Diagram sil působících ve čtvrté fázi pohybu zvedáku v mechanismu podle oddílu 6.1 pro $n = 175 \text{ ot/min}$	97
24	Schéma mechanismu k přetáčení skřipce podle oddílu 6.2	99
25	Síly působící v mechanismu podle oddílu 6.2 při pohybu bez skřipce	101
26	Síly působící v mechanismu podle oddílu 6.2 při pohybu se skřipcem	102
27	Diagram sil působících v prvé a druhé fázi pohybu zvedáku mechanismu podle oddílu 6.2 pro $n = 175 \text{ ot/min}$	104
28	Diagram sil působících ve třetí fázi pohybu zvedáku mechanismu podle oddílu 6.2 pro $n = 175 \text{ ot/min}$	107
29	Diagram sil působících ve čtvrté fázi pohybu zvedáku mechanismu podle oddílu 6.2 pro $n = 175 \text{ ot/min}$	109
30	Schéma mechanismu k přetáčení skřipce podle oddílu 6.3.1	112
31	Schéma mechanismu k přetáčení skřipce podle oddílu 6.3.3	115

SEZNAM TABULEK

Poř. číslo	Název	str.
I	Charakteristika pružin mechanismu	35
II	Tabulka zdvihofé závislosti	43
III	Porovnání hodnot zdvihu, rychlosti a zrychlení zvedáku mechanismu získaných graficko-počtařskou metodou /g-p/ a analytickou metodou / a /	67
IV	Charakteristika pružin mechanismu podle odílu 6.1	95

SEZNAM PŘÍLOH

Poř. číslo	Název
I	Grafická derivace zdvihofé závislosti v prvé fázi pohybu zvedáku
II	Grafická derivace zdvihofé závislosti ve druhé fázi pohybu zvedáku
III	Grafická derivace zdvihofé závislosti ve třetí fázi pohybu zvedáku
IV	Grafická derivace zdvihofé závislosti ve čtvrté fázi pohybu zvedáku

SEZNAM VÝKRESŮ

Číslo	Název
Tk-00.0001	Prohozní zařízení
Tk-00.9057	Vačka-přetáčení skřipce
Tk-00.0002	Vačka-přetáčení skřipce

## 1.0 ÚVOD

V tkalcovství se projevuje v posledních letech snaha získat nový, vícedílový tkací stav. Jsou zadávány úkoly, které mají k výrobě takového tkacího stavu dát základ. Cílem je zavést postupně do provozu řadu variant, odvozených ze základního provedení, které by umožnily výrobu veškerého sortimentu tkanin různé šíře, kromě tkanin speciálních. Využívají se bezčlunkové tkací stavy se vzduchovým, hydraulickým nebo skřipcovým probuzem útku a další systémy. Po ukončení vývoje vzduchového typu tkacího stavu se jevilo vhodné rozdělit výrobu tkanin tak, aby náročné tkaniny byly vyráběny na tkacích stavech s probuzem skřipcovým, nenáročné, jednodušší tkaniny na stavech s probuzem vzduchovým.

Vývojem tkacích stavů se skřipcovým probuzem se zabývá už dlouhou řadu let švýcarská firma Sulzer. V Československu se využívají tkací stavy se skřipcovým probuzem s cílem vytvořit nový skřipcový systém, který by byl dokonalejší a levnější než systém firmy Sulzer. Možnost nahradit v budoucnosti veškeré v Československu vyráběné tkací stavy jediným univerzálním typem schopným konkurovat zahraničním strojům je perspektivní. Pro československé stroje nového systému NOPAS není počet otáček  $n = 250$  ot/min hodnotou konečnou, protože například při stejném počtu otáček má systém NOPAS o jednu třetinu nižší rychlosť skřipce a čas pro ovládání barevné záměny je téměř sedmkrát delší než u systému Sulzer.

VŠST Liberec	Mechanismus k přetáčení skřipec	KTS
Fakulta strojní		1974 str.12

Na rozdíl od systému Sulzer, u něhož se skřipec probíží z jedné strany, u systému NOPAS je jediný skřipec probížován z obou stran. Skřipec je na každé straně stroje po prohoze přetáčen o  $180^\circ$ . Takovéto provedení je výhodné a vyřešilo současně několik problémů:

1/ Vzhledem k tomu, že se jedná o oboustranný systém prohozu a že je umožněno oděbírání útku současně ze dvou cívek, umístěných na protilehlých stranách, je zajištěno míchání útku, které je pro některé druhy tkanin žádoucí.

2/ Aby bylo možno vyrábět jednotlivé druhy tkanin v různé šíři, je u jiných systémů nutno řešit délkovou regulaci probízované příse např. tak, že prohozní zařízení je umístěno jen na jedné straně tracího stavu, jako je to u systému Sulzer. U systému NOPAS je umožněno díky vyřešení jednoduchého prohozního zařízení umístit celý systém ovládání skřipec na pohybující se bidlo a regulaci provést jednodušším způsobem.

3/ Pro tento typ prohoze je možné použít skřipec, který je na jednom konci uzpůsoben k rozvírání sepnutých osnovních nití a na druhém konci k jednoduchému zachycení útkové nitě mezi pero skřipec a ozub skřipec.

4/ Otočné uložení skřipecové skříně umožňuje jednoduché navádění a zachycení útkové nitě do skřipec. Pero skřipec, který je spolu s celým mechanismem ovládání umístěn na bidle, je v době přírazu, kdy je skřipec nejblíže pevně naváděcí jeble, neza jednoduše touto jeblou odtlačeno a pro-

hozený útek je uvolněn ze sevření mezi perem a osubem skřipce. Při pootočení skřipcové skříně do polohy pro navádění je nový útek posunut pod osub skřipce. Po přetáčení skřipce do vystřelovací polohy je nově navedený útek opásán kolem osuba skřipce a tím je zajištěno bezpečné držení útku i v případě nižšího tlaku pera na útek. Držení útku je tedy zajištěno jednak sevřením mezi perem a osubem skřipce, jednak opášáním útku kolem osuba skřipce.

5/ Díky otočnému svládání skřipce je odpad poměrně malý. Útek, který je zachycen v zadní části skřipce, je spolu se skřipcem prohozen a po zastavení je posunut co nejbliže k okraji tkaniny. Délka odpadu je rovna dvojnásobku vzdálenosti osuba skřipce od nože, protože útek je v této vzdálenosti opásán kolem osuba, a délce končů útku zůstávajících u tkaniny.

Pro zajištění ověřovaného principu otočného uspořádání je také požádavkou svládání skřipce ve směru prohozu a bezchybné splnění požadavek na polohu po doletu a před prohozem. Znamená to uskutečnit přesné a účinné zabrzdění a utlamaní skřipce po prohozu, provádět kontrolu všechností doletu skřipce do skřipcové skříně, zabezpečit přesné nastavení skřipce s polohy doletové do polohy naváděcí a vystřelovací a zajistit vypuštění skřipce ve správném okamžiku.

Úkolem této diplomové práce je zabývat se mechanismem k přetáčení skřipce na tkacím stavu NOPAS OK-3. Je to automatický tkací stav se skřipcovým prohozem, s oboustrannou záměnou útku a stříháním končů útku. Je určen pro tkání ne-

VŠST Liberec	Mechanismus k přetáčení skřipece	KTS
Fakulta strojní		1974 str.14

konečných vláken. Je stavěn na univerzální konstrukci tkacího stavu NOPAS. Typ NOPAS OK-4, další tkací stav stavěný na univerzální konstrukci, je určen pro všechna stahová vlákna, především pro silnější útky a pevnější tkaniny.

V eddile 6.2 je uveden návrh mechanismu k přetáčení skřipece pro zvýšení otáček vačkového hřídele na  $n = 175$  ot/min. Tento návrh je konstrukčně zpracován na výkresu nesataveném TK-00.0001. Výkres není kompletním výrobním výkresem sestavený, pro získání představy o funkci mechanismu k přetáčení skřipece i o funkci dalších mechanismů je však dostačující. Součásti mechanismu, o nichž je v kapitole I zmínka, jsou opatřeny číslem shodným s číslem pozice na výkresu TK-00.0001. Součásti, které nejsou na výkresu znázorněny, ale o nichž se v kapitole jedná, jsou označeny.

#### Tkací stav NOPAS OK-3

Skřipec 8 tohoto tkacího stavu, v jehož pouzdru z plastické hmoty je ochycena vložka s ozubenem a perem pro zachycení a přidržení útku, má hmotu kolem 20 gramů. Plastická hmota jako materiál pláště skřipece je výhodná i z hlediska volby materiálu třtin paprsku. Při použití skřipece s pláštěm z plastické hmoty je možné použít paprsku s nekalenými třtinami. Pro dosažení dostatečně rychlého průchodu skřipece vodícím hřebenem není nutné přimazávat. Úbytek rychlosti skřipece během provozu je přitom u skřipece s plastickým pláštěm, používaného na tkacím stavu typu OK-3, shodný

• úbytkem rychlosti kovového skřipce, používaného v tkacího stavu typu OK-4. Tento úbytek rychlosti je asi  $2 \text{ m s}^{-1}$ . Po uvolnění prohozeného útku se skřipce je naváděcí jedloce barevné záměny podán nový útek a otáčivým pohybem skřipce ve skřipcové skříně 47 je tento nový útek zasunut pod pero skřipce, které ho přitlačí k osudu. Mechanismus barevné záměny je umístěn na rámu stroje a na výkresu není zobrazen. Skřipec s navedeným útkem je přetočen o  $180^\circ$  do vystřelovací polohy. Po prohození útku je v okamžiku přírazu pero skřipce na druhé straně stavu odtačeno pevnou naváděcí jedloce barevné záměny a útek je uvolněn ze skřipce. Přečnívající konec útku je okrajovým zařízením dodatečně stříhan a odváán do zásobníku. Okrajové zařízení je rovněž umístěno na rámu a na výkresu není zobrazeno. Po každém prohození je tedy třeba vyjmout konec prohozeného útku ze skřipce, provést operaci navedení nového útku a zajistit odříznutí navedeného útku. Na konci odpružené výkyvné páky 21, složené ze dvou částí, je umístěn vyhazovač, jehož funkcí je vyhzení prohozeného útku, a nůž, který po navedení nového útku a po jeho přiřazení perem skřipce na začátku přetáčení skřipcové skříně do vystřelovací polohy jej odřízne. Na výkresu je zakreslena pouze spodní část páky 21, horní konec, na němž je umístěn vyhazovač a nůž, zakreslena není.

Do jednotlivých pracovních poloh přetáčí skřipec skřipcová skřín, která má tyto funkce:

1/ přijímá skřipec prohozený z druhé strany

- 2/ umožňuje navádění útku
- 3/ přetáčí skřipce do vystřelovací polohy
- 4/ otáčí se zpět do polohy pro příjem skřipce.

Po proboru je nutno skřipce brzdit. Brzdění probíhá ve třech brzdných plochách-dvě jsou stavitelné šikmé kovové čelisti 19 a třetí je odpružená planžeta 55. Síla pružiny 28, působící ze spodu na planžetu, je regulována výkyvnou pákou 18. Je třeba zajistit, aby skřipce v okamžiku výstřelu nebyl brzděn a byl zcela volný. V poslední fázi otáčení skřipcové skříně se skřipcem do vystřelovací polohy nabíhá páka 18 na stavitelný nájezd 20 a je odtačována. Přitom působí na pružinu pod planžetou a skřipce je odbrzděn. Odpružená planžeta drží skřipce po celou dobu jeho otáčení a v době, kdy na něj svou silou nepůsobí, to je v době mezi dotičením skřipce do vystřelovací polohy a jeho výstřelem, drží skřipce plochá pružina. Tato pružina na výkresu zobrazena není.

Celý mechanismus k přetáčení skřipce, sestávající ze skřipcové skříně 47, ozubených hřebenů 12 a 13, centrického zvedáku 17 a kladkou 7, pružin 24 a 25 a vačky 57, je umístěn v konzole 2, která koná kývavý pohyb spolu s bídem. Oba otáčení vačkového hřídele 51 je tatožná = osou kývavého pohybu bída. Bezpečnost práce všech mechanismů umístěných v konzole je zajištěna mechanickou pojistkou, která dovolí v případě poruchy protočení vaček. Pružiny 24 a 25 zabezpečují pohyb skřipcové skříně z polohy pro příjem skřipce do polohy vystřelovací. Pro stav ve sestávajícím provedení jsou stanoveny jmenovité otáčky  $n = 250 \text{ ot/min}$ .

VŠST Liberec	Mechanismus k přetáčení skřipce	KTS
Fakulta strojní		1974 str. 17

Na vačkovém hřídele stává, který se otáčí otáčkami polovičními, mož jde o jmenovité, je vedle vačky 57 ovládající mechanismus k přetáčení skřipce vačkou ovládající pohyb páky 21, na níž je uchycen vyhazovač a nůž, vačky 1 a 56 zajišťující pohyb páky 5 nesoucí tlumič v rovině kolmé na dráhu skřipce a v rovině rovnoběžné s dráhou skřipce a vystředník 50 pro olejovou pumpu 6. Vačka ovládající pohyb páky = vyhazovačem a nožem je vyrobena v jednom kuse = vačkou zabezpečující pohyb páky tlumiče v rovině rovnoběžné s dráhou skřipce. Tato vačka má pozici 1. Návrat úpravy mechanismu k přetáčení skřipce při zachování rozměru konzoly si vynutí zásah do naprůdání vaček ostatních mechanismů. Je proto třeba znát funkce těchto mechanismů. Diagram funkci u stroje typu OK-3 je na obr.1.

#### Prohoz skřipce

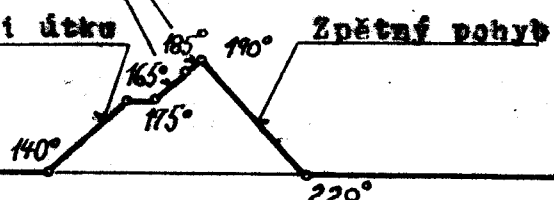
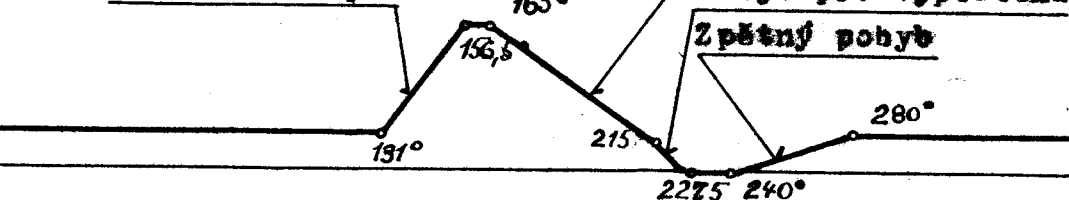
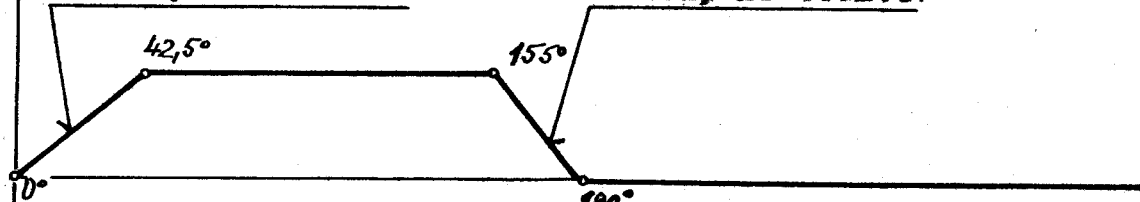
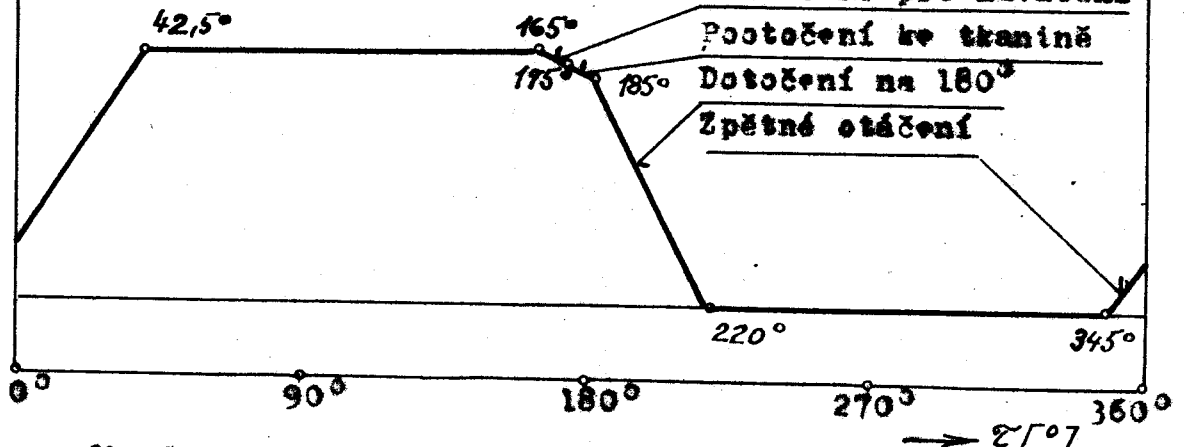
Prohoz skřipce z jedné strany stroje nastává v rozmezí od  $42,5^\circ$  do  $140^\circ$  natočení vačkového hřídele, z druhé strany stroje v rozmezí od  $220^\circ$  do  $317,5^\circ$ . Nulová poloha vačkového hřídele je poloha v okamžiku přírazu bidla.

#### Vačka ovládající pohyb páky = vyhazovačem a nožem

Prohoz skřipce z jedné strany stroje je ukončen při natočení vačkového hřídele o úhel  $140^\circ$ . Na druhé straně stroje se při natočení o úhel  $140^\circ$  začíná přiklánět páka 21 nesoucí háček vyhazovače a nůž ke skřipci a tím zajistí

PROHOZ

42,5°                    140°                    220°                    317,5°

VYHAZOVAČ-NUŽŘezání navíjeného útkuVyjmoutí prohozeného útkuZajištění skřipce i útkuOVLÁDÁNÍ SKŘIPCEVražecí skřipceOVLÁDÁNÍ TLUMIČEKPřeklápací tlumičekOdklápací tlumičekPŘETÁČENÍ SKŘIPCEPootočení pro naváděníPootočení ke tkaniněDotočení na 180°Zpětné otáčení

Obr. 1-Diagram funkci stroje type OK-3

skřipec proti vypadnutí. Pohyb páky je ukončen při natočení vačkového hřídele stavu o úhel  $165^\circ$ . V době, kdy je skřipec se skřipcovou skříní přitáčen ke tkanině, to je v době mezi natočením vačkového hřídele o úhel  $165^\circ$  a  $175^\circ$ , je páka 21 v klidu. V intervalu natočení od  $175^\circ$  do  $185^\circ$  je skřipcová skřín se skřipecem natáčena do polohy pro navážení a na začátku této pohybu, když už pero skřipce je stlačeno a probuzený útek je uvolněn, se už páka s vybazovačem a nožem pohybuje a uvolněný útek je háčkem vybazovače zachycen a vytažen. Zároveň je naveden nový útek a při natočení vačkového hřídele o úhel  $185^\circ$ , když už je nový útek prvně držen mezi perem a osuben skřipec, se páka 21 pohybuje dále a mezi úhly natočení  $185^\circ$  a  $190^\circ$  je nový útek řezán. Řezání probíhá na počátku dotáčení skřipcové skříně se skřipcem do vystřelovací polohy, které probíhá v intervalu natočení vačkového hřídele od  $185^\circ$  do  $220^\circ$ . Řezání útku se děje pohybem páky s vybazovačem a nožem za současného otáčivého pohybu skřipcové skříně, což je z blediske technologie řezání výhodné. Při natočení o úhel  $190^\circ$ , když je řezání skončeno, se páka s vybazovačem a nožem začíná pohybovat opačným směrem a při natočení vačkového hřídele o úhel  $220^\circ$  je ve výbuzí poloze. Po zbytek otáčky vačkového hřídele je páka 21 v klidu. Vačka ovládající pohyb páky s vybazovačem a nožem je provedena jako vnitřní vačka s vahadlem 21 a kladkou 29.

### Vačky ovládající skřipec a tlumič

Skřipec a tlumič je ovládán pomocí odpružené páky 5, které její uložení na konzole umožňuje pohyb v rovině rovnoběžné s dráhou skřipce i v rovině kolmé na dráhu skřipce. Pohyb páky v rovině kolmé na dráhu skřipce je zajištěn odvalováním klašky 30 po obrysu obvodové vačky 56, pohyb páky v rovině rovnoběžné s dráhou skřipce zajišťuje čelní vačka 1, která je vyrobena v jednom kuse s vačkou ovládající pohyb páky a vybasováčem a nožem. Vahadlo je opatřeno kladkou 31. Kinetická energie skřipce je po probuzu zadržena třením v třecích plochách skřipecové skříně a tlumičem. Tlumič je umístěn na konci páky 5 a na výkresu není zobrazen. Rameno tlumiče je oštítkováno skřipcem dozadu úměrně k rychlosti pohybu. Při natočení vačkového břídele o úhel  $131^\circ$  začíná působit čelní vačka a probuzený a utluměný skřipec je vracen do přesně vymezené polohy netrné pro bezchybné výjutí stávajícího útku i pro navедení nového. Při zpětném pohybu skřipce je probuzený útek v prošlepku uvolněn a je znova napnut pomocí raménka zpětného stavu, které má též funkci útkové zárážky. Raménko zpětného stavu je součástí mechanismu barvné záměny, který na výkresu není zobrazen. Zpětný pohyb skřipce končí na  $156,5^\circ$  natočení vačkového břídele. Při natočení vačkového břídele o úhel  $155^\circ$  se páka tlumiče začíná pohybovat v rovině kolmé na dráhu skřipce. Odklápení končí na  $180^\circ$  natočení. V rovině rovnoběžné s dráhou skřipce je páka v intervalu natočení vačkového břídele od  $156,5^\circ$

do  $165^\circ$  v klidu, při natočení o úhel  $165^\circ$  nastává pohyb páky zpět. Přitom je rameno tlumiče překlopeno pomocí dvou kolíků do polohy, v niž je schopno znova tlumit pohyb skřipce. Kolíky, stejně jako tlumič, nejsou na výkresu zobrazeny. Zpětný pohyb páky tlumiče se děje až do úhlu natočení vačkového hřídele  $227,5^\circ$ . V intervalu natočení od  $215^\circ$  do  $227,5^\circ$  páka pohybí na táhlo a to odjistí pistoliči vystřelovacího válce. Vystřelovací válec je upevněn na konzole šrouby, na výkresu je zakreslen slabou čárkou, táhlo není zobrazeno. Při natočení vačkového hřídele o úhel  $220^\circ$  dojde k výstřelu skřipce. Po výstřelu skřipce je skřipcová skřín otáčena do polohy pro příjem skřipce a během tohoto pohybu je pohybem obvodové vačky páka přiklápena do dráhy skřipce. Přiklápní probíhá mezi  $0^\circ$  a  $42,5^\circ$  natočení vačkového hřídele, aby tlumič byl schopen účinně pracovat i v případě ručního provozu, který může nastat právě při  $42,5^\circ$  natočení vačkového hřídele. V rovině rovnoběžné s dráhou skřipce se mezi úhly natočení  $240^\circ$  a  $280^\circ$  páka tlumiče pohybuje do výchozí polohy.

Tak vypadá konstrukce a funkce některých mechanismů tlačícího stava NOPAS OK-3. Ve své práci se zaměřím na zhodnocení nynějšího provedení mechanismu k přetáčení skřipce a možnosti návrhu úprav téhoto mechanismu při zvýšených otáčkách hlavního hřídele tlačícího stava.

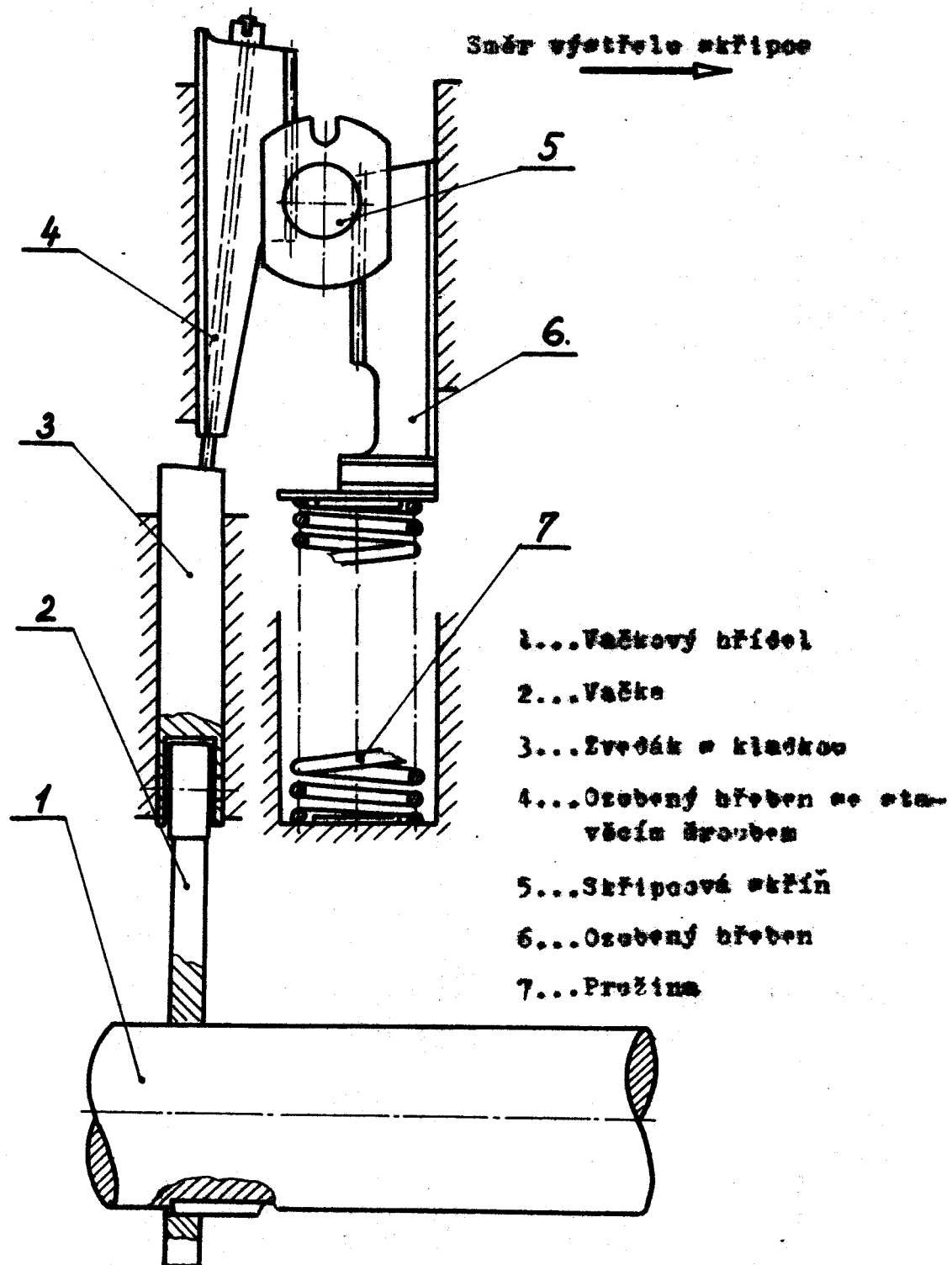
## 2.0 HMOTOVÉ POMĚRY MECHANISMU K PŘETÁČENÍ SKŘIPCE

V této kapitole jsou určeny hmoty jednotlivých členů mechanismu, u člene komajícího rotační pohyb je také určen moment otrváčnosti k ose otáčení. Schéma mechanismu je na obr.2. Hmoty byly zjištěny vážením ve VÚTS v Liberci.

### 2.1 Hmoty jednotlivých členů mechanismu

Zvedák = kladka	$m_3 = 0,360 \text{ kg}$
Ozubený hřeben se stavěcím šroubem	$m_4 = 0,200 \text{ kg}$
Skřipeová skřín	$m_5 = 0,280 \text{ kg}$
Skřipeová skřín = nalinovanými ložiskovými kroužky	$m_5 = 0,340 \text{ kg}$
Ozubený hřeben	$m_6 = 0,185 \text{ kg}$
Prutina	$m_7 = 0,570 \text{ kg}$
Skřipce s plastickým pouzdrem	$m = 0,020 \text{ kg}$

Skřipeová skřín koná otáčivý pohyb kolem osy procházející jejím těžištěm. Je třeba určit její moment otrváčnosti k ose otáčení, a to jak při jejím pohybu se skřipcem, tak při pohybu bez skřipce. Moment otrváčnosti skřipeové skříně lze určit pokusně otevíráním na bifilárním závěru. Takto zjištěný moment je pak nutno ještě zvětšit o moment otrváčnosti vnitřních ložiskových kroužků a o moment otrváčnosti části hmoty kuliček v ložiskách.



Obr. 2-Schéma mechanismu k přetáčení skřipce

2.2 Moment sevřenosti skřípové skříně a vnitřních  
ložiskových kroužků

Skřipcovou skříň ovládne na dvou závězech podle obr.3 rozhývání. Děláme na to, aby závěry byly dostatečně dlouhé a úhel nakroccení  $\varphi$  byl dostatečně malý, aby mohly zavést ujemodružující předpoklady. Vypočet je založen na porovnání potenciální energie polohy při maximální výběhu a kinetické energie při průběhu rozevraťovací polohou.

Platí:

$$W_{p_{max}} = G \cdot h \cdot (1 - \cos \alpha) \quad (1)$$

Pro úhel nakroccení  $\alpha$  dostatečně malý a délku závěsu dostatečnou velikou se vztahu

$$\sin^2 \alpha = \frac{1}{2} (1 - \cos 2\alpha) \quad (2)$$

vyplynou

$$W_{p_{max}} = \frac{G \cdot h \cdot \alpha^2}{2} \quad (3)$$

$W_p$  = potenciální energie [J]

G = tříšková síla skřipcové skříně [N]

h = délka závěsu [m]

$\alpha$  = výběžková závěra se svrchní povrchy vlivem nakroccení skřipcové skříně [ $^\circ$ ]

Dále platí:

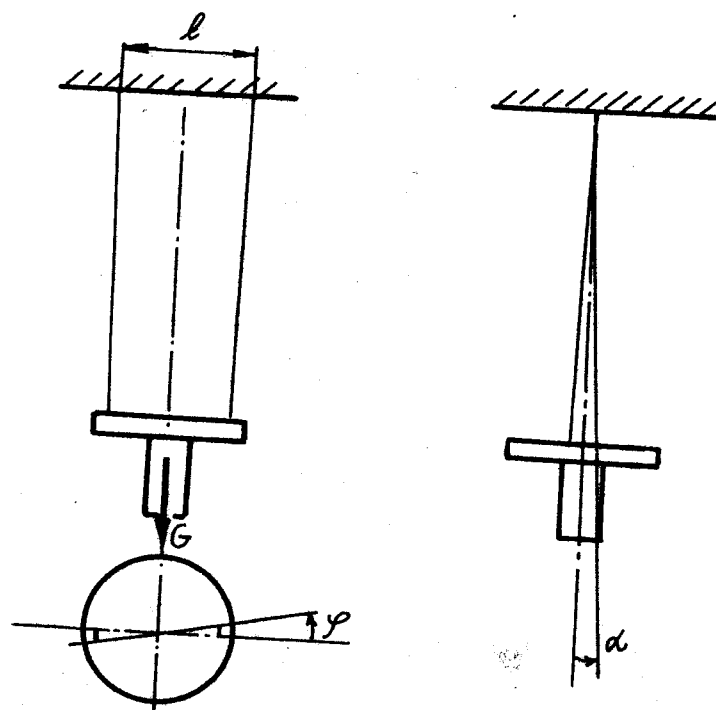
$$W_{k_{max}} = \frac{1}{2} J \omega^2 \varphi^2 = \frac{1}{2} J \left[ \frac{2\pi}{T} \right]^2 \varphi^2 \quad (4)$$

$W_k$  = kinetická energie [J]

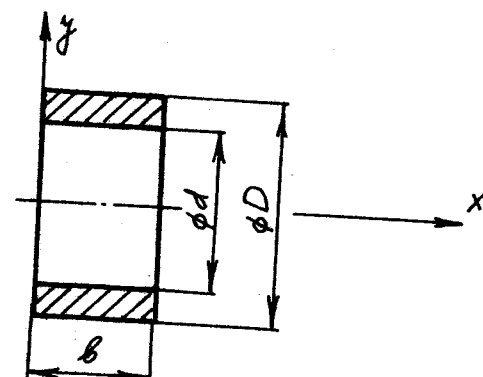
J = moment sevřenosti skřipcové skříně [ $\text{kgm}^2$ ]

$\omega$  = úhlová rychlosť [ $\text{s}^{-1}$ ]

$\varphi$  = úhel nakroccení skřipcové skříně [ $^\circ$ ]



Obr. 3-Bifidální závěs



Obr. 4-Vnitřní ložiskový kroužek

$t$  = doba kmitu určená jako aritmetický průměr ze sta kmitů [s]

Z obr. 3 plyne:

$$\frac{h \cdot \sin \alpha}{2} = \frac{l}{2} \sin \varphi \quad (5)$$

Pro  $\alpha \approx \varphi$  může platit:

$$h \alpha \approx \frac{l}{2} \varphi \quad (6)$$

Upravovací dle tančenou:

$$\varphi = \frac{2 h \alpha}{l} \quad (7)$$

Srovnáním rovnic (3) a (4) a využitím rovnice (7) dostaneme:

$$J = \frac{G t^2 l^2}{16 \pi^2 h} \quad (8)$$

$l$  = vzdálenost závěru [m]

### 2.2.1 Moment odtrvačnosti skřipecové skříně bez skřipec

Na bifilární závěr umístíme ranotnou skřipecovou skříně, rozkýváme ji a zjistíme dobu kyvu. K výpočtu momentu odtrvačnosti použijeme rovnici (8).

$$t = 80 \cdot 10^{-3} \text{ s}$$

$$h = 271,5 \cdot 10^{-3} \text{ m}$$

$$G = 2,746 \text{ N}$$

$$l = 0,600 \text{ m}$$

$$\pi = 3,14159$$

Pošle rovnice (8) platí:

$$J = \frac{2,746 \cdot 0,6^2 \cdot (10 \cdot 10^{-3})^2}{16 \cdot \pi^2 \cdot 271,5 \cdot 10^{-3}} = 14,229 \cdot 10^{-5} \text{ kgm}^2$$

### 2.2.2 Moment nezávadnosti skřipcové skříně se skřipcem

Na bifilární zdvojované vnitřní skřipcovou skříně se skřipcem vloženým mezi šelasti. Skříň rozkýváme a určíme dobu kryvu. Stejně jako v oddíle 2.2.1 k výpočtu momentu nezávadnosti použijeme rovnici (8).

$$l = 80 \cdot 10^{-3} \text{ m}$$

$$b = 271,5 \cdot 10^{-3} \text{ m}$$

$$G = 2,746 \text{ N}$$

$$G_0 = 0,196 \text{ N}$$

$$t = 0,6237 \text{ s}$$

Počle rovnice (8) platí:

$$J = \frac{(2,746 + 0,196) \cdot 0,6237^2 \cdot (80 \cdot 10^{-3})^2}{16 \cdot \pi^2 \cdot 271,5 \cdot 10^{-3}} = 16,768 \cdot 10^{-5} \text{ kgm}^2$$

### 2.2.3 Moment nezávadnosti vnitřních ložiskových kroužků

Vnitřní kroužky ložisek, nainstalované na břideli skřipcové skříně, zvětší jeji moment nezávadnosti. Vnitřní ložiskový kroužek je znázorněn na obr. 4. Platí:

$$J = \frac{\rho \pi}{2} \cdot \left[ \left( \frac{D}{2} \right)^4 - \left( \frac{d}{2} \right)^4 \right] \cdot b \quad (9)$$

$J$  = moment nezávadnosti k ose  $\times [kgm^2]$

$\rho$  = měrná tloušťka  $[kgm^{-3}]$

$D$  = vnější průměr kroužku  $[m]$

$d$  = vnitřní průměr kroužku  $[m]$

$b$  = šířka kroužku  $[m]$

### 2.2.3.1 Moment extrvačnosti vnitřního kružnika prvého ložiska

K výpočtu použijeme rovnice (9).

$$D = 35 \cdot 10^{-3} \text{ m}$$

$$d = 25 \cdot 10^{-3} \text{ m}$$

$$b = 13 \cdot 10^{-3} \text{ m}$$

$$\rho = 7810 \text{ kgm}^{-3}$$

$$\pi = 3,14159$$

Počle rovnice (9) platí:

$$J_1 = \frac{7,81 \cdot 10^3}{2} \cdot \pi \cdot \left[ \left( \frac{35 \cdot 10^{-3}}{2} \right)^4 - \left( \frac{25 \cdot 10^{-3}}{2} \right)^4 \right] \cdot 13 \cdot 10^{-3} = 1,110 \cdot 10^{-5} \text{ kgm}^2$$

### 2.2.3.2 Moment extrvačnosti vnitřního kružnika druhého ložiska

K výpočtu použijeme stejně jako v oddílu 2.2.3.1 rovnice (9).

$$D = 23 \cdot 10^{-3} \text{ m}$$

$$d = 17 \cdot 10^{-3} \text{ m}$$

$$b = 10 \cdot 10^{-3} \text{ m}$$

Počle rovnice (9) platí:

$$J_2 = \frac{7,81 \cdot 10^3}{2} \cdot \pi \cdot \left[ \left( \frac{23 \cdot 10^{-3}}{2} \right)^4 - \left( \frac{17 \cdot 10^{-3}}{2} \right)^4 \right] \cdot 10 \cdot 10^{-3} = 0,139 \cdot 10^{-5} \text{ kgm}^2$$

### 2.2.4 Celkový moment extrvačnosti skřípové skříně

Celkový moment extrvačnosti skřipové skříně je součetu momentu extrvačnosti parné skříně, momentu extrvačnosti vnitřních ložiskových kroužků obou ložisek a momentu extrvačnosti části hmoty kuliček v ložiskách. Při výpočtu byl moment extrvačnosti části hmoty kuliček

Závědání. Platí:

$$J_c = J + J_1 + J_2 \quad (10)$$

$J_c$  = celkový moment mětrvačnosti skřipcové skříně [ $\text{kgm}^2$ ]

$J$  = moment mětrvačnosti skřipcové skříně [ $\text{kgm}^2$ ]

$J_1$  = moment mětrvačnosti vnitřního kroužku prvého ložiska [ $\text{kgm}^2$ ]

$J_2$  = moment mětrvačnosti vnitřního kroužku druhého ložiska [ $\text{kgm}^2$ ]

#### 2.2.4.1 Celkový moment mětrvačnosti skřipcové skříně bez skřípce

K výpočtu použijeme rovnice (10).

$$J = 14,229 \cdot 10^{-5} \text{ kgm}^2$$

$$J_1 = 1,110 \cdot 10^{-5} \text{ kgm}^2$$

$$J_2 = 0,139 \cdot 10^{-5} \text{ kgm}^2$$

Podle rovnice (10) platí:

$$J_c = 15,478 \cdot 10^{-5} \text{ kgm}^2$$

#### 2.2.4.2 Celkový moment mětrvačnosti skřipcové skříně se skřípcem

K výpočtu použijeme stejně jako v oddílu 2.2.4.1 rovnice 10.

$$J = 16,765 \cdot 10^{-5} \text{ kgm}^2$$

$$J_1 = 1,110 \cdot 10^{-5} \text{ kgm}^2$$

$$J_2 = 0,139 \cdot 10^{-5} \text{ kgm}^2$$

Podle rovnice (10) platí:

$$J_c = 18,017 \cdot 10^{-5} \text{ kgm}^2$$

### 2.3 Redukovaná hmota mechanismu

Abychom mohli vyjádřit dynamickou sílu působící na zvětšák mechanismu, musíme určit tzn. redukovanou hmotu mechanismu. Hmotu mechanismu redukujeme na zvětšák. Hmotu členu mechanismu = rotačním pohybem redukujeme na člen pohybující = posuvným pohybem tak, že moment sotrvávání příslušného členu = rotačním pohybem řídíme čtvereční převod mezi tímto členem, jehož hmotu redukujeme, a členem = posuvným pohybem, na nějž hmotu redukujeme. V němém případě, kdy redukujeme hmoty na zvětšák mechanismu, je převod mezi skřipecovou skříní a zvětšákom roven poloměru rotačné kružnice pravotisku skřipecové skříně  
 $r = 11,5 \cdot 10^{-3} \text{ m}$ . Ozubené křebseny konají stejně jako zvětšák harmonický pohyb. Uzavřeme-li při takovém pohybu přibližně zrcadlovat hmotu pružiny, připočteme ke hmotě členu, na nějž pružina působí, třetinu hmoty pružiny.

Platí:

$$m_{red} = m_3 + m_4 + m_6 + \frac{1}{3}m_7 + \frac{J_c}{r^2} \quad (11)$$

$m_{red}$  = redukovaná hmota [kg]

$m_i$ ,  $i = 3, 4, 6, 7$  — hmoty jednotlivých členů mechanismu podle obr. 2 [kg]

$J_c$  = celkový moment sotrvávání skřipecové skříně [ $\text{kgm}^2$ ]

$r$  = poloměr rotačné kružnice pravotisku skřipecové skříně [m]

### 2.3.1. Redukovaná hmota mechanismu bez skřipec

K výpočtu redukované hmoty použijeme rovnice (11).

$$m_3 = 0,360 \text{ kg}$$

$$m_7 = 0,570 \text{ kg}$$

$$m_4 = 0,200 \text{ kg}$$

$$J_0 = 15,478 \cdot 10^{-5} \text{ kgm}^2$$

$$m_6 = 0,185 \text{ kg}$$

$$r = 11,5 \cdot 10^{-3} \text{ m}$$

Počle rovnice (11) platí:

$$m_{red} = 0,360 + 0,200 + 0,185 + \frac{0,570}{3} + \frac{15,478 \cdot 10^{-5}}{(11,5 \cdot 10^{-3})^2} = 2,107 \text{ kg}$$

### 2.3.2. Redukovaná hmota mechanismu se skřipecem

Hodnoty hmoty jednotlivých členů mechanismu jsou stejné jako v oddílu 2.3.1, rovněž poloměr rotační krúžnice pastorku skřipecové skříně zůstal nezměněn. Stejně jako v oddílu 2.3.1 i nás použijeme k výpočtu redukované hmoty rovnice (11).

$$J_0 = 18,017 \cdot 10^{-5} \text{ kgm}^2$$

Počle rovnice (11) platí:

$$m_{red} = 0,360 + 0,200 + 0,185 + \frac{0,570}{3} - \frac{18,017 \cdot 10^{-5}}{(11,5 \cdot 10^{-3})^2} = 2,298 \text{ kg}$$

### 3.0 SÍLÍČÍ POHLED MECANISMU K VÝROBĚ ŠKŘÍPKY

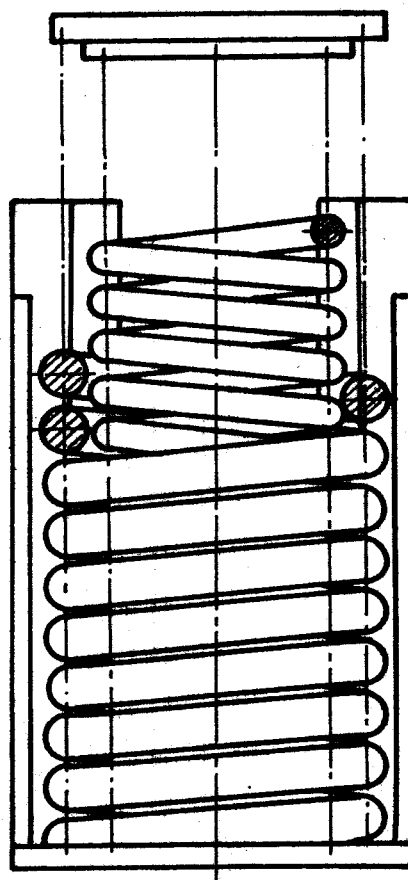
Při určování výtléčné síly pánovité mezi svědlem a vločkou mechanismu využívajeme dynamickou sílu, sílu průtahu, tříšecí síly jednotlivých členů mechanismu a sílu upínacího posuvníku západky. Při řešení mohou využítme síly v závorkách, reaktivní odpor klesky a skřípkové skřípky, uvažujeme vlivem vlastnosti posuvníku odporu na velikost rychlosti a na velikost třecího plochy, vliv příčného svědélka na vedení, vliv odstředivé síly vzniklé hývacími polohami a vliv vnitřního napětí upínacího spojovacího materiálu. O dynamické síle pojednává podrobně kapitola 5.

#### 3.1 Síla průtahu

Průtah mezi vločkou a kleskou je vločkou skřípkové skřípky se skřípkou do závorky polohy a do vystřelovací polohy, zajíždí do okraje klesky svědélka a obrysem vačky a vynese je vločku v závorce ve styku ozubených kříženů a posuvkou skřípkové skřípky. Průtah také eliminuje neplatnou rovnatnost jednotlivých členů mechanismu. Pro svýšení bezpečnosti a lepší využití průtiskového protvara je průtah konstrukčně proveden počle str.5. Uvedené charakteristiky hodnoty průtahu byly určeny ve VÚTS v Liberci.

Vnější průtah:

$$D = 47 \cdot 10^{-3} \text{ m}$$



Obr. 5 - Uspořádání pružin v mechanismu k přetáčení skřípce

$$\epsilon = 5 \cdot 10^{-3} \text{ s}$$

$$n = 17$$

$$l_0 = 170 \cdot 10^{-3} \text{ m}$$

$$P_g = 313,792 \text{ N}$$

$$P_f = 127,478 \text{ N}$$

$$l_b = 110 \cdot 10^{-3} \text{ m}$$

$$l_p = 146 \cdot 10^{-3} \text{ m}$$

Vnitřní proříznací

$$D = 30 \cdot 10^{-3} \text{ m}$$

$$\epsilon = 3 \cdot 10^{-3} \text{ s}$$

$$n = 31$$

$$l_0 = 180 \cdot 10^{-3} \text{ m}$$

$$P_g = 107,866 \text{ N}$$

$$P_f = 58,836 \text{ N}$$

$$l_b = 105 \cdot 10^{-3} \text{ m}$$

$$l_p = 141 \cdot 10^{-3} \text{ m}$$

D je vnitřní průměr prořízny,  $\epsilon$  je průměr dráty, n je počet členů závitů prořízny,  $l_0$  je volná délka prořízny,  $P_g$  je maximální síla prořízny,  $l_b$  je délka prořízny pro maximální sílu,  $P_f$  je minimální síla prořízny a  $l_p$  je délka prořízny pro minimální sílu.

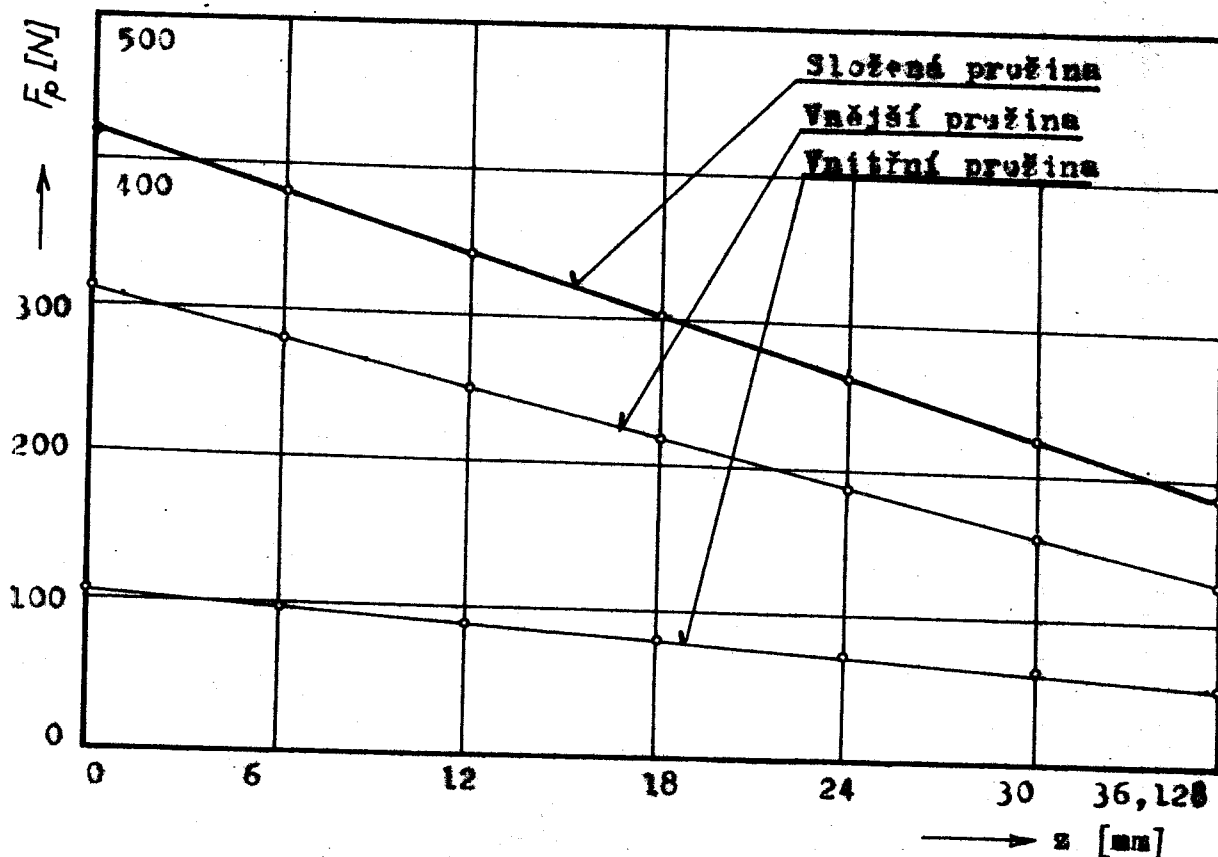
Pracovní diagram prořízny je na obr. 6, hodnoty velikosti síly v závislosti na délce prořízny jsou též uvedeny v tab.I.

### 3.2 Síla upínacích povinutí ořípce

Síla upínacích povinutí ořípce se sblíží s třecí silou v plochách mezi členy po vybojení se povrchů po kterých a vedení těchto členů, se síly upínacích valivým oporem v leštěném klenku svodáku a v ložiskách ořípcevých ořípí, z oporové sily těžnicího kroužku na ořípcev

Tab. I - Charakteristiky pružin mechanismu

Závislost pružiny [mm]	0	9	18	27	36, 128
Síla vnější pružiny [N]	313,792	267,214	220,635	174,057	127,478
Síla vnitřní pružiny [N]	107,866	95,608	83,351	71,093	58,836
Celková síla pružin [N]	421,658	362,822	303,986	245,150	186,314



Obr. 6 - Pracovní diagram pružin mechanismu

$F_p$  = síla pružiny,  $z$  = závislost pružiny

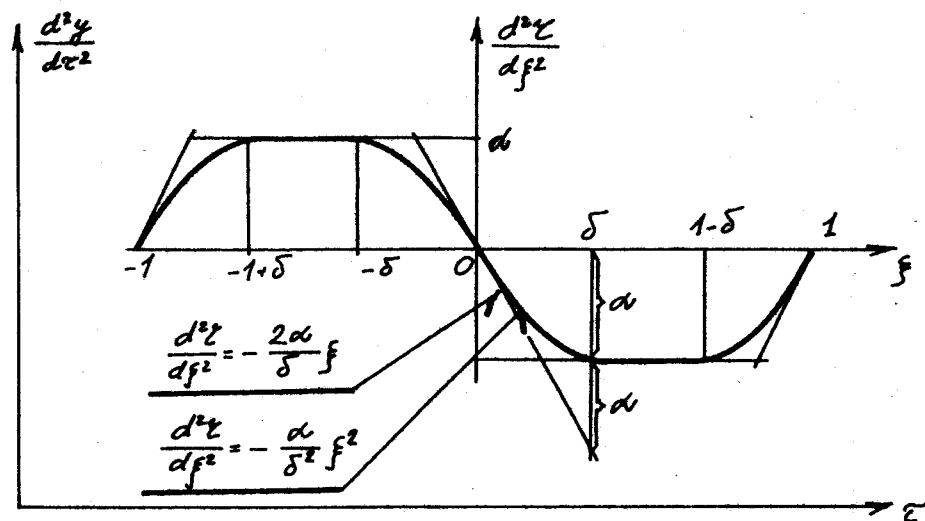
stříhat a bylo zjištěno násřením. Násření bylo provedeno sítěm dřevem. Po odstranění protin a mechanikus byla násřena sítě potvrzena k uvedené mechanice do pohybu. Hodnota sítě byly upřesněny posuvnou odpory je tedy statická, resp. byla zjištěna při minimální rychlosti otočky. Sítovodní hodnota sítě upřesněná posuvnou odpory bude však, protože třecí síly rotační a posuvného pohybu jsou třecích plochách. Rotační v třecích plochách rotační údaje a rychlosti. Součinitel útěku ze pohybu je menší než součinitel útěku statický, proto je s tímto hlediskem namátkou hodnota sítě upřesněná posuvnou odpory však než hodnota otoček. Obě protilehlého statučnosti nejsou při řešení uvažovány, zatímco hodnota sítě upřesněná posuvnou odpory je do všeobecné formule namátkou hodnota sítě. Celková třecí plocha mechanikus je během pohybu struha konstantní /  $S = 0,19 \text{ m}^2 /.$

Násření bylo provedeno na stolici stroje NOPAS OK-3, uvedené hodnoty sítí jsou spočítány jako aritmetický průměr z deseti násření. Páteř pohybu svědčí během jedné otáčky velkoučko sítě jmena na obr. 7.

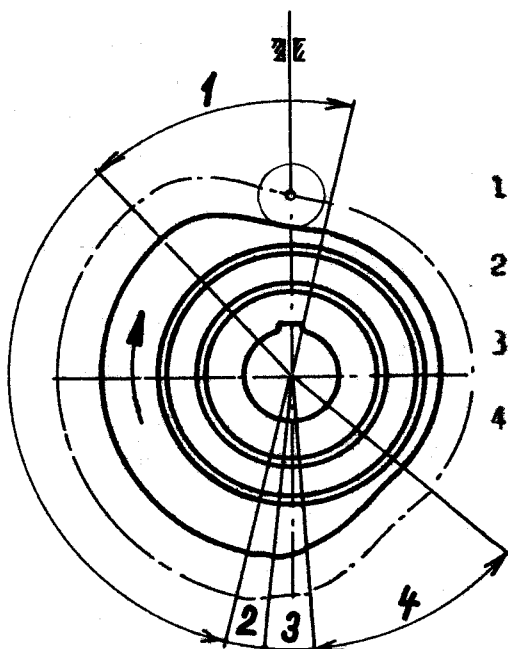
### Jedná se o sítě upřesněnou posuvnou odpory v první fázi rotace

Násření bylo zjištěna hodnota sítě:

$$P_s = 26,672 \text{ N}$$



Obr. 10-Průběh zrychlení zvedáku mechanismu



Obr. 7-Fáze pohybu zvedáku

3.2.2 Síla způsobená posuvnou odporu ve druhé části  
a úvodní fázi pohybu myšidla

Hodnota byla zjištěna hodnota síly:

$$P_p = 10,787 \text{ N}$$

Síla způsobená posuvnou odporu měla dosáhnout úvodní fáze pohybu myšidla, když měla zjištěnou sílu obrazování skřípce před výstupem do pohybu po římském nájezdu, hodnota

$$P_{p \max} = 56,540 \text{ N}$$

3.2.3 Síla způsobená posuvnou odporu v ohlávkách  
skřípce

Při zjištění hodnoty této síly byly ovlivněny oba osuvené hřebeny. Byla naměřena hodnota:

$$P_p = 9,296 \text{ N}$$

3.3 Tíhové síly

V oddíle 2.1 jsou uvedeny hodnoty jednotlivých členů mechanismu. Tíhové síly jednotlivých členů mechanismu lze určit ze vztahu:

$$G = m \cdot g \quad (12)$$

$G$  - tíhová síla [N]

$m$  - hmotnost [kg]

$g$  - tíhové zrychlení [ $\text{m s}^{-2}$ ] ,  $g = 9,80665 \text{ m s}^{-2}$

Tibová síla zvětšáku

Tibová síla zvětšáku je podle rovnice (12) rovnou

$$G_3 = 0,360 \cdot 9,80665 = 3,530 \text{ N}$$

Tibová síla zvětšeného převodu se stavidlem šrouben

Tibová síla zvětšeného převodu se stavidlem šrouben je podle rovnice (12) rovnou

$$G_4 = 0,200 \cdot 9,80665 = 1,961 \text{ N}$$

Tibová síla zvětšeného převodu

Tibová síla zvětšeného převodu je podle rovnice (12) rovnou:

$$G_5 = 0,185 \cdot 9,80665 = 1,834 \text{ N}$$

Tibová síla skřípcové skříně a tibová síla prořízny nemí může být vypočítána, protože je zabezpečena rámem stroje a na velikost výkonu síly působící v mechanizmu nemá vliv.

#### 4.0 KINEMATIKA MECHANISMU K PŘETÁČENÍ SKŘÍPCE

Schéma mechanismu je na obr.2 na straně 23. Otáčivý pohyb skřipcové skříně je ovládán odvzdušnou vážkou. Vážka je upravena pomocí pásku na vážkovém hřídeli, který se otáčí polohověm otáčení, než je její stádky jmenovitě. Mechanismus je umístěn na bíle a tamé spoje s ním kryvý pohyb. Bílo je vedeném čtyřklobového klikovackového mechanismu, který je znázorněn na obr.11 na str.68. Klikovackového mechanismu se otáčí jmenovitě otáčení v opačném smyslu, než je smysl rotace važcového hřídele. Při řešení je nutné respektovat okružnost, že centrální zvědák je klasickou formou kryvý pohyb.

#### 4.1 Graficko-počtová metoda řešení zjištění rychlosti a zrychlení zvědáku

Úkolem tohoto oddílu je sjistit průběh rychlosti a zrychlení zvědáku mechanismu a zejména sjistění extrémních hodnot zrychlení zvědáku využitím výrobního výkresu vahy. Z obr.11 na str.68 je patrné, že platí:

$$\varphi = \varepsilon + \gamma - \psi \quad (13)$$

$$T = T_0 + 2\varepsilon \quad (14)$$

$$f = \arctg \frac{l_2 \sin T}{l_1 - l_2 \cos T} \quad (15)$$

$$z = \sqrt{(l_1 - l_2 \cos T)^2 + (l_2 \sin T)^2} \quad (16)$$

$$\psi = 180^\circ - f - \arccos \frac{l_4^2 + z^2 - l_3^2}{2l_4z} \quad (17)$$

$\gamma$  = úhel výkypnutí zvědáku [°]

$\tau$  = úhel posledního vařkového kříže [°]

$\psi$  = pomocný úhel [°]

$\beta$  = hodnota úhlu  $\gamma$  v ohnisku přírůsu [°]

$\Phi$  = úhel v trojúhelníku ABC [°]

$\Phi_0$  = hodnota úhlu  $\Phi$  v ohnisku přírůsu [°]

$\varphi$  = pomocný úhel v trojúhelníku ABC [°]

$l_1, l_2, l_3, l_4$  = délky jednotlivých členů mechanismu [mm]

$a$  = strana v trojúhelníku ABC [mm]

### Anotace výpočtu výkypnutí zvědáku

Pomocné rovnice (13) - (17) lze ke každému úhlu natažení vařkového kříže určit úhel výkypnutí zvědáku. Z těchto výpočtů vycházíme všechny odčítané pro každou jednu hodnotu úhlu výkypnutí zvědáku hodnotu zvědáku a určujeme ji k hodnotě úhlu natažení vařkového kříže, se kterou jsme vycházeli při určení hodnoty úhlu výkypnutí zvědáku. Tak získáme všechny odpovídající hodnoty úhlu natažení vařkového kříže  $\tau$  a úhlu zvědáku  $\gamma$ . Tyto hodnoty vložíme do tabulky a dále je vymeneme do souřadnicového systému  $\tau$ - $\gamma$ . Hodnoty úhlu výkypnutí zvědáku byly počítány na kalkulačním stroji ELKA 21 A. Na obr. 7 na str. 37 jsou vyznačeny jednotlivé fáze pohybu zvědáku. V první fázi pohybu se skřipcová skříň otáčí bez skřipec, ve druhé, třetí a čtvrté fázi pohybu se otáčí s skřipcem, zachyceným v čelistech skřipcové skříně. V první

VŠST Liberec	Mechanizmus k překládání skřipec	XPS
Fakulta strojní		1974 str. 42

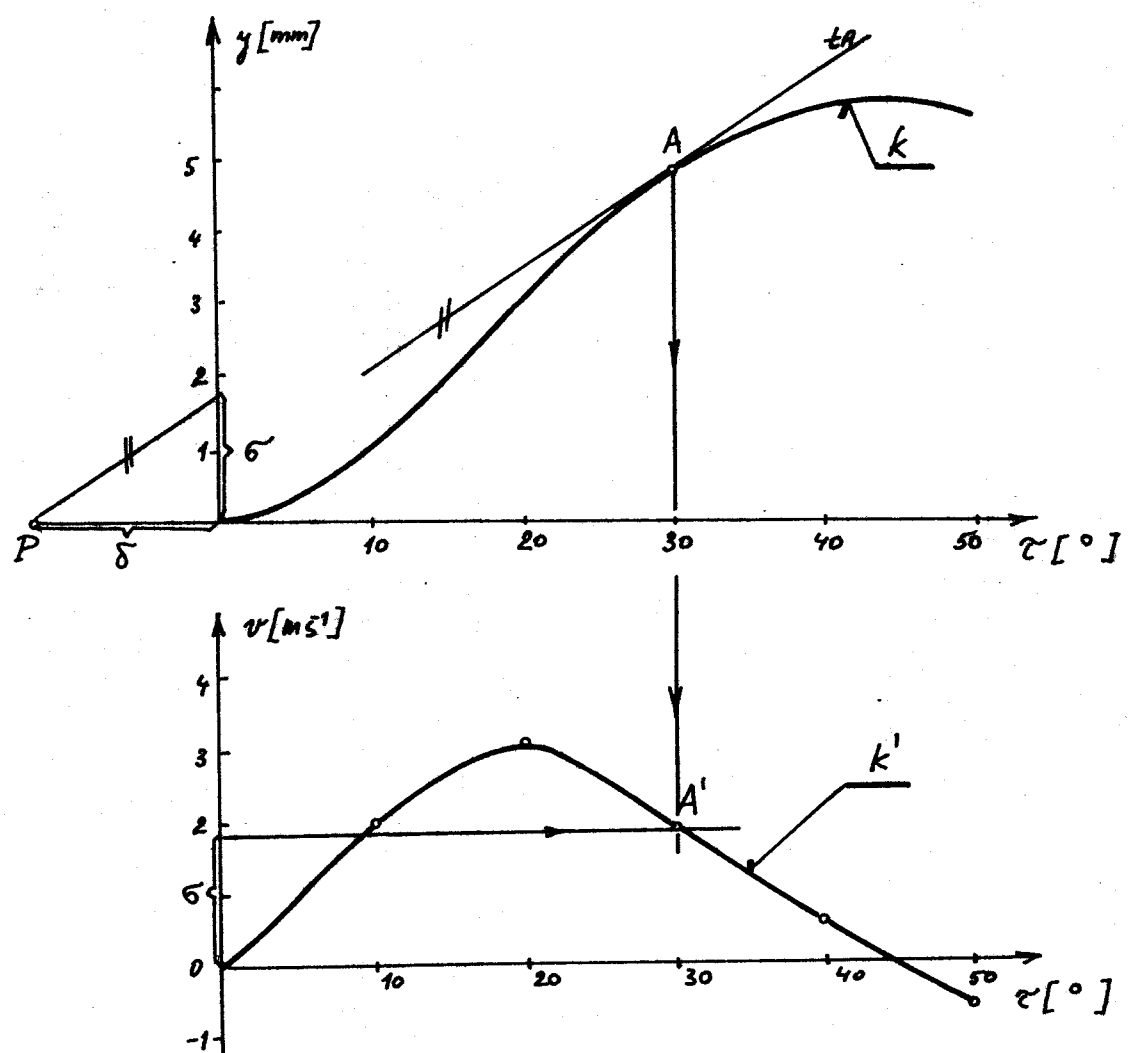
a čtvrté fázě pohybu byl při výpočtu úhel natažení vačkového kříže méněn o  $5^\circ$ , ve druhé a třetí fázi pohybu byl méněn o  $2^\circ$ . Hodnoty úhlu natažení vačkového kříže, hodnoty závislosti otředu klády a hodnoty závislosti zvětšovací byly sestaveny do tab. II. Chyb výsledků byly spuštěny jednak počítáním na malý počet geometrických míst, jednak neplněním využitoucími geometrickými funkciemi. Tato příčina vlivu počtu míst, neboli k určení zrychlení zvětšovací počítání grafické metody, posouvané v oddílu 4.1.2, je jistě převzat je možno snadno. Celý výpočet je v jednoduchém tisku. Zde není nutné převodit všechny závislosti otředu výrobničího stroje sestavené do tabulky výrobních součástek vačky na současnosti otředu klády zvětšovací. Průměr výrobničího nástrku je je zároveň průměr klády zvětšovací.

#### 4.1.2 Výpočet a zpracování závislosti mechanismu

Hodnoty závislosti zvětšovací  $y$  a hodnoty úhlu natažení vačkového kříže  $\gamma$  sestavené do tab. II vynoseno do souřadnicového systému  $x-y$ . Získáme tak závislosti závislosti zvětšovací na úhlu natažení vačkového kříže-sdílečkovou závislostí. Grafikem derivací této křivky získáme závislost zrychlení zvětšovací na úhlu natažení vačkového kříže, využíváním derivací závislosti získáme závislost zrychlení zvětšovací na úhlu natažení vačkového kříže. Na obr. 8 je zadáván určitý grafický derivace. V souřadnicovém systému  $x-y$  je nakreslena obecná závisová závislost k. Obsahuje-li sjednotit např. hodnotu rychlosti v okamžiku  $\gamma=30^\circ$ , vedenou

Tab. II - Tabulka závibové mívlosti

Páse	$\Sigma [^{\circ}]$	R [mm]	y [mm]	Páse	$\Sigma [^{\circ}]$	R [mm]	y [mm]
1	345	73,872	36,128	2	171	108,947	1,053
	350	74,107	35,893		173	108,688	1,312
	355	75,229	34,771		175	108,600	1,400
	360 0	77,931	32,069	3	177	108,543	1,457
	5	81,843	28,157		179	108,262	1,738
	10	87,416	22,548		181	107,841	2,159
	15	93,657	16,343		183	107,569	2,431
	20	99,400	10,600		185	107,500	2,500
	25	104,113	5,887	4	190	106,693	3,307
	30	107,390	2,610		195	102,664	7,336
	35	109,312	0,658		200	95,361	14,639
	40	109,981	0,019		205	85,955	24,045
	42,5	110,000	0,000		210	78,658	31,342
-	43÷166,5	110,000	0,000		215	74,767	35,233
2	167	109,910	0,090		220	73,872	36,128
	169	109,576	0,424	-	220,5÷344,5	73,872	36,128



Obr. 8 - Grafické derivace

Dodnes A dodnes do kříže k. Pólem P vedenou rovnatibbku = tisk  
mou  $t_1$ . Hledat rychlosnost do osudového systému  $\tau$  je a  
sítázáme pro  $\varepsilon=30^\circ$  hod  $\alpha^\circ$ . Hledat rychlosnost lze upolitne  
se vztahem

$$v = \frac{G}{\mu} \quad (18)$$

$$\mu = \frac{\delta \cdot \beta}{\alpha} \quad (19)$$

$y = \text{družstvo}$  [s]

$v = \text{rychlosnost}$  [ $\text{m s}^{-1}$ ]

$\sigma = \text{hledat dožky na co je } y_1 + \text{odstavec } 4.1.2.1 + 4.1.2.2$   
součet  $\sigma$  maximální hledat dožky

$\mu = \text{něfiktive rychlosnosti}$  [ $\text{m s}^{-1}$ ]

$\delta = \text{polová vzdálenost}$  [m]

$\beta = \text{něfiktive odstavbu}$  [m]

$\alpha = \text{něfiktive úhel}$  [°]

$\varepsilon = \text{něfiktive úhel množení věkového určitele}$  [ $\text{m}^2/\text{stopa}^2$ ]

Hledat  $\alpha$  je nutno vypočítat pro dané otáčky a s hodnoty

E posle vztahem

$$\alpha = \varepsilon \cdot \frac{\pi}{60} \cdot 360^\circ \quad (20)$$

$\alpha = \text{úhel věkového určitele}$  [ $\text{m}^2/\text{min}^2$ ]

Opakovatelné tabučko portuge pro určení hodnoty dle množení  
věkového určitele  $\varepsilon$  slouží množenec rychlosnosti množeno  
na tento dle množení. Při výpočtu výsledkem množenec množeno  
na svého co dle množení věkového určitele portuge je  
obrázen.

4.1.2.1 Základní vypočet závislosti výklopného úhlu výklopu na délce fázického pohybu pro otáčky n = 125 rad/min

Grafická derivace odvětových závislostí v jednotlivých fázích pohybu vzhledem k výklopu je provedena v příložených I - IV. Hodnoty výklopu  $\mu$  jsou počítány podle rovnice (19), hodnoty uhlíku  $\alpha$  jsou počítány podle rovnice (20).

Máximální hodnota rychlosti výklopu v první fázi závislosti

$$\varepsilon = 4 \text{ mm/impérn}$$

Počle rovnice (20) platí:

$$\alpha = \frac{4 \cdot 125 \cdot 360}{60} = 3000 \text{ mm/s}$$

$$\beta = 2000 \text{ mm/s}$$

$$S = 100 \text{ mm}$$

$$\mu = \frac{100 \cdot 2000}{3000} = 66,6 \text{ mm/mm}^2 \quad \sigma_1 = 64 \text{ mm}$$

Počle rovnice (19) platí:

$$V_{max} = \frac{64}{66,6} = 0,96 \text{ m/s}$$

Máximální hodnota závislosti urovnání mezi výklopem a tloušťkou jeho pohybu

$$\varepsilon = 8 \text{ mm/impérn}$$

Počle rovnice (20) platí:

$$\alpha = \frac{8 \cdot 125 \cdot 360}{60} = 6000 \text{ mm/s}$$

$$\beta = 20000 \text{ mm/s}$$

$$S = 90 \text{ mm}$$

Počle rovnice (19) platí:

$$\mu = \frac{90 \cdot 20000}{6000} = 300 \text{ mm/mm}^2$$

$$\sigma_2 = 60 \text{ mm}$$

$$\sigma_3 = 91 \text{ mm}$$

Podle rovnice (18) platí:

$$v_{max_2} = \frac{60}{300} = 0,20 \text{ m s}^{-1}$$

$$v_{max_3} = \frac{51}{300} = 0,17 \text{ m s}^{-1}$$

Maximální hodnota rychlosti zvedáku ve čtvrté fázi jeho pohybu

$$\varepsilon = 4 \text{ mm/stupeň}$$

Podle rovnice (20) platí:

$$\alpha = \frac{4 \cdot 125 \cdot 360}{60} = 3000 \text{ mm/s}^2$$

$$\beta = 2000 \text{ mm/m}$$

$$\delta = 65 \text{ mm}$$

Podle rovnice (19) platí:

$$\mu = \frac{65 \cdot 2000}{3000} = 43,4 \text{ mm/mm s}^{-1}$$

$$G = 59,8 \text{ mm}$$

Podle rovnice (18) platí:

$$v_{max_4} = \frac{59,8}{43,4} = 1,38 \text{ m s}^{-1}$$

Hodnoty maximálních hodnot rychlosti zvedáku s příslušnými znaménky jsou uvedeny v tab. III na str. 67.

#### 4.1.2.2 Zrychlení svežáků mechanismu v jednotlivých fázích jeho pohybu pro n = 125 ot/min

Grafická derivace závislosti rychlosti zvedáku na úhlu natočení vačkového hřídele v jednotlivých fázích pohybu zvedáku je provedena v přílohačích I - IV. Měřítka  $\alpha$  jsou počítána podle rovnice (20), měřítka  $\mu$  podle rovnice (19), hodnoty zrychlení jsou počítány podle rovnice:

$$\alpha = \frac{G}{\mu} \quad (21)$$

$$a = zrychlení [\text{m s}^{-2}]$$

$$G = \text{maximální hodnota úsečky na osi y [mm]}$$

$$\mu = \text{měřitko srychlení } \text{mm/mm}^{-2}$$

Maximální hodnota srychlení zvedáku v prvé fázi jeho pohybu

$$\varepsilon = 4 \text{ mm/stupeň}$$

Podle rovnice (20) platí:

$$\alpha = \frac{4 \cdot 125 \cdot 360}{60} = 3000 \text{ mm/m}$$

$$\beta = 66,6 \text{ mm/mm}^{-1}$$

$$\delta = 75 \text{ mm}$$

Podle rovnice (19) platí:

$$\mu = \frac{75 \cdot 66,6}{3000} = 1,67 \text{ mm/mm}^{-2}$$

$$G_1 = 54,5 \text{ mm}$$

Podle rovnice (21) platí:

$$\alpha_{max1} = \frac{54,5}{1,67} = 32,6 \text{ mm}^{-2}$$

Maximální hodnota srychlení zvedáku ve druhé a třetí fázi jeho pohybu

$$\varepsilon = 8 \text{ mm/stupeň}$$

Podle rovnice (20) platí:

$$\alpha = \frac{8 \cdot 125 \cdot 360}{60} = 6000 \text{ mm/m}$$

$$\beta = 300 \text{ mm/mm}^{-1}$$

$$\delta = 25 \text{ mm}$$

Podle rovnice (19) platí:

$$\mu = \frac{25 \cdot 300}{6000} = 1,25 \text{ mm/mm}^{-2}$$

$$G_2 = 50,2 \text{ mm}$$

$$G_3 = 40,5 \text{ mm}$$

Podle rovnice (21) platí:

$$\alpha_{max2} = \frac{50,2}{1,25} = 40,1 \text{ mm}^{-2}$$

$$\alpha_{max3} = \frac{40,5}{1,25} = 32,4 \text{ mm}^{-2}$$

Maximální hodnota zrychlení zvedáku ve čtvrté fázi jeho pohybu

$$\varepsilon = 4 \text{ mm/stupeň}$$

Podle rovnice (20) platí:

$$\alpha = \frac{4 \cdot 125 \cdot 360}{60} = 3000 \text{ mm/s}^2$$

$$\beta = 43,4 \text{ mm/m s}^{-1}$$

$$\delta = 50 \text{ mm}$$

Podle rovnice (19) platí:

$$\mu = \frac{50 \cdot 43,4}{3000} = 0,724 \text{ mm/m s}^{-2}$$

$$\sigma_y = 56,4 \text{ mm}$$

Podle rovnice (21) platí:

$$\alpha_{max_4} = \frac{56,4}{0,724} = 77,95 \text{ m s}^{-2}$$

Hodnoty maximálního zrychlení zvedáku s příslušnou změnkou jsou uvedeny v tab. III na str. 67.

#### 4.1.2.3 Určení rychlosti a zrychlení zvedáku mechanismu v jednotlivých fázích jeho pohybu pro n=175 ot/min

Při zvýšení otáček vačkového hřídele se zvětší hodnota  $\varepsilon$ , tím se zvětší i hodnota  $\alpha$  a změní se hodnota  $\mu$ . Rychlosť i zrychlení budou větší než rychlosť a zrychlení pro n=125 ot/min. Při určování rychlosti a zrychlení zvedáku pro n=175 ot/min lze využít hodnot rychlosťi a zrychlení zvedáku pro n=125 ot/min. Platí:

$$v_2 = \frac{n_2}{n_1} v_1 \quad (22)$$

$$\alpha_2 = \frac{n_2}{n_1} \alpha_1 \quad (23)$$

$v_2$  = rychlosť zvedáku při otáčkách  $n_2$  [ $m s^{-1}$ ]

$$n_2 = 175 \text{ ot/min}$$

$v_1$  = rychlosť zvedáku pri otáčkach  $n_1$  [ $m s^{-1}$ ]

$$n_1 = 125 \text{ ot/min}$$

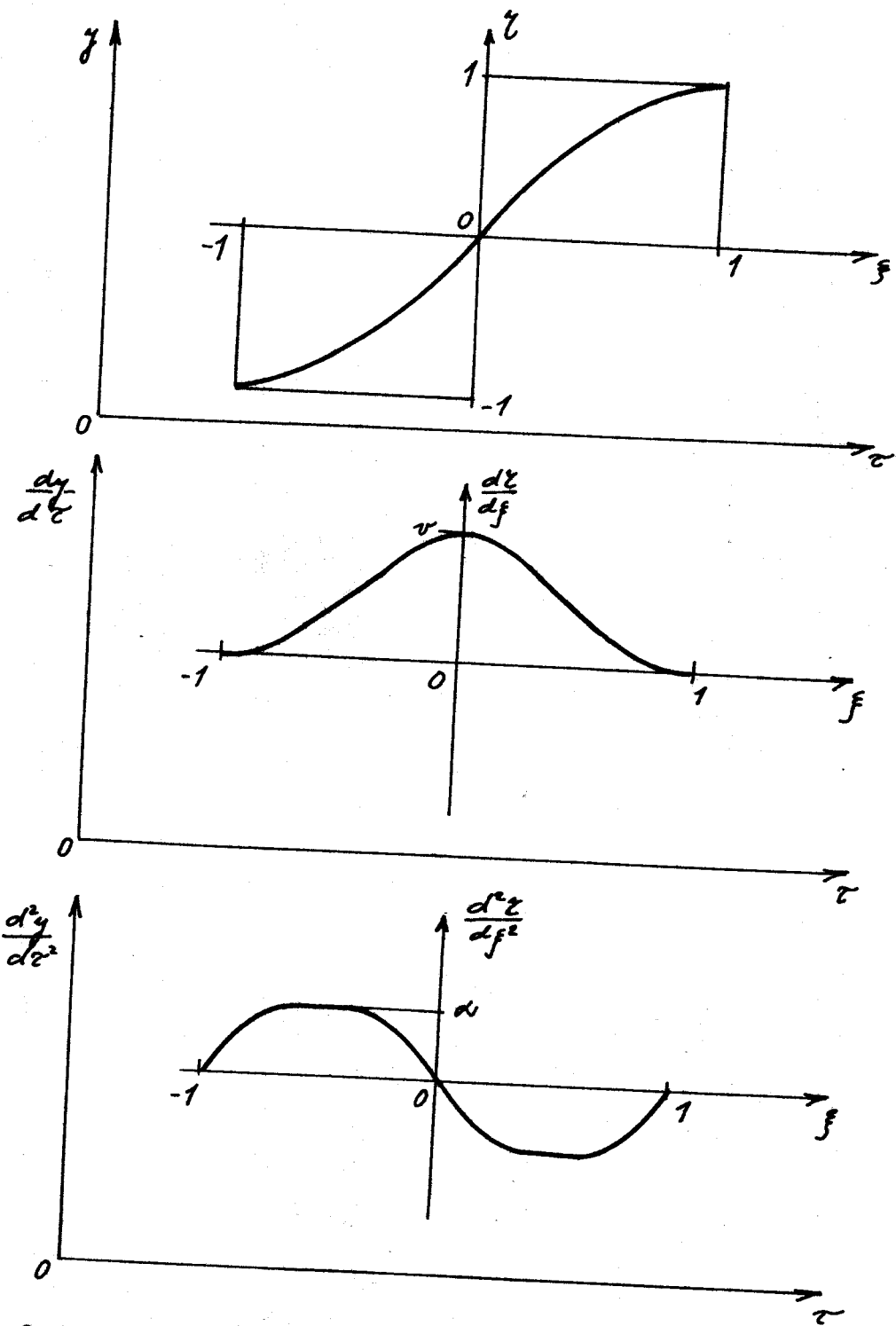
Maximální hodnoty rychlosťi a zrychlení s přiležitými značkami jsou uvedeny v tab.III na str.67. Byly počítány podle rovnic (22) a (23).

#### 4.2 Analytická syntéza vačkového mechanismu

Graficko-počítačské řešení, popsané v oddílu 4.1, sloužilo ke zjištění průběhu zrychlení zvedáku, jehož kladka se odvalovala po obrysu vačky dané výrobními souřadnicemi. Oddíl 4.2 je zabývá výpočtem výrobních souřadnic vačky pro zvolený průběh zrychlení zvedáku. Úkolem řešení je zjistit závislost závihu zvedáku mechanismu k přetáčení skřipce na úhlu natočení vačkového hřídele a určit výrobní souřadnice vačky pro zvolený průběh zrychlení.

##### 4.2.1 Jednotková poměrná funkce závihu, rychlosťi a zrychlení zvedáku mechanismu

Řešení provedeme obecně. Na obr.9 je v souřadémém systému  $\bar{x}-\bar{y}$  znázorněna zdvihová závislost, tato závislost je dvakrát derivována. Zdvihová závislost je středově souměrná, ve středu souměrnosti je zvolen nový souřadémý systém  $\bar{\zeta}-\bar{\gamma}$ .  $\bar{\zeta}$  i  $\bar{\gamma}$  nabývá v místě minimálního zdvihu hodnoty  $-1$ , v místě maximálního zdvihu hodnoty  $1$ . Dále je zavedeno



Obr. 9-Průběh zavíracího, rychlostní a zrychleního svědka mechanického

no označení:

jednotkový = vztahující se k souřadnému systému  $\bar{f}$ - $\bar{\zeta}$ ,  
poměrný = nezávisící na otáčkách vačkového hřídele.

Platí:

$$\bar{f} = \frac{2\bar{\zeta} - (\bar{\zeta}_L + \bar{\zeta}_D)}{\bar{\zeta}_L - \bar{\zeta}_D} \quad (24)$$

Dále pro  $\bar{f} > 0$  platí:

$$\bar{\zeta} = g_0(\bar{f}) \quad (25)$$

$$\text{Pro } \bar{f} = 0 \text{ je } \bar{\zeta} = 0 \quad (26)$$

Pro  $\bar{f} < 0$  platí:

$$\bar{\zeta} = -g_0(\bar{f}) \quad (27)$$

$\bar{\zeta}$  = úhel natočení vačkového hřídele

y = závrt zvedáku

$\bar{\zeta}_L$  = maximální hodnota natočení vačkového hřídele

$\bar{\zeta}_D$  = minimální hodnota natočení vačkového hřídele

$\bar{f}, \bar{\zeta}$  - souřadnice v novém souřadném systému

Funkce  $g_0(\bar{f})$  je jednotková poměrná závibrová funkce. Po stupnici derivací této jednotkové poměrné závibrové funkce dostaneme na obr.9 závislost jednotkové poměrné rychlosti a jednotkového poměrného zrychlení zvedáku mechanismu na jednotkovém natočení vačkového hřídele. Příběh zrychlení je parabolický, ve střední části každé poloviny periody je přímkový. Parametr  $\delta$ , jehož význam je zajejmý z obr.10 na str.37, je volen:

$$\delta = \frac{1}{3}$$

Tím je dána i hodnota jednotkového poměrného zrychlení v přímkové části. Je určena s podmínky, aby statický moment plochy pod křivkou jednotkového poměrného zrychlení

v intervalu  $f \in (-1; 0)$  k bodu  $f=0$  byl roven jedné. Platí:

$$0,5 \cdot f = 1 \quad (28)$$

Úpravou vztahu (28) dostaneme:

$$f = 2$$

$\ell$  = velikost plochy pod čarou jednotkového poměrného zrychlení, hodnota jednotkové poměrné rychlosti v bodě  $f=0$

Podle obr.10 platí:

$$\ell = 2 \frac{2}{3} \alpha \delta + \alpha (1-2\delta) \quad (29)$$

$\alpha$  = hodnota jednotkového poměrného zrychlení v přímkové části

$\delta$  = volený parametr

Z rovnice (28) a (29) plyne:

$$\alpha = \frac{6}{3 - 2\delta} \quad (30)$$

Průběh zrychlení v intervalu  $f \in (0; \delta)$  získáme, když od přímky se srovnají  $-\frac{2\alpha}{\delta}$  vešené z počátku souřadného systému  $f - \frac{d^2\zeta}{df^2}$  očekávané parabolu danou rovnicí:

$$f^2 = -\frac{\delta^2}{\alpha} \left( \frac{d^2\zeta}{df^2} \right) \quad (31)$$

v intervalu  $f \in (\delta; 1-\delta)$  je zrychlení konstantní

$$\frac{d^2\zeta}{df^2} = \alpha \quad (32)$$

v intervalu  $f \in (1-\delta; 1)$  dostaneme průběh zrychlení opět očekávaný parabolou od přímky.

Pro zrychlení zavedáme tedy vztahy:

$$\text{Pro } f \in (0; \delta) \text{ platí: } \zeta_2(f) = -\frac{2\alpha}{\delta} f + \frac{\alpha}{\delta^2} f^2 = -\frac{\alpha}{\delta} \left( 2f - \frac{f^2}{\delta} \right) \quad (33)$$

$$\text{pro } f \in (\delta; 1-\delta) \text{ platí: } \zeta_2(f) = -\alpha \quad (34)$$

$$\text{pro } f \in (1-\delta; 1) \text{ platí: } \zeta_2(f) = -\frac{\alpha}{\delta} \left[ 2(1-f) - \frac{(1-f)^2}{\delta} \right] \quad (35)$$

Průběh zrychlení je středově souměrný, proto je výhodné provést řešení v intervalu  $f \in (0; 1)$  a pro hodnoty v intervalu  $f \in (-1; 0)$  využít středové souměrnosti.

Integrací funkce jednotkového poměrného zrychlení zvedáku mechanismu  $g_2(f)$  dostaneme funkci jednotkové poměrné rychlosti  $g_1(f)$  a další integraci pak získáme funkci jednotkového poměrného závihu zvedáku mechanismu  $g_0(f)$ .

Řešení provádime pro tři intervaly:

$$1/ f \in (1-\delta; 1)$$

$$2/ f \in (-\delta; 1-\delta)$$

$$3/ f \in (0; \delta)$$

Interval  $f \in (1-\delta; 1)$

$$g_2(f) = -\frac{\alpha}{\delta} \left[ 2(1-f) - \frac{(1-f)^2}{\delta} \right] \quad (36)$$

$$g_1(f) = \frac{\alpha}{3\delta} \left[ 3(1-f)^2 - \frac{(1-f)^3}{\delta} \right] + C_0 \quad (37)$$

$$g_0(f) = \frac{-\alpha}{12\delta} (1-f)^3 \left[ 4 - \frac{1-f}{\delta} \right] + C_0 f + C_1 \quad (38)$$

Pro  $f = 1$  platí:

$$v_1 = g_1(f) = 0,$$

$$z_1 = g_0(f) = 1$$

Dosazením těchto hodnot do rovnic (37) a (38) vyházejí integrační konstanty  $C_0 = 0$ ,  $C_1 = 1$

$$C_1 = 1$$

V intervalu  $f \in (1-\delta; 1)$  tedy platí:

$$g_2(f) = -\frac{\alpha}{\delta} \left[ 2(1-f) - \frac{(1-f)^2}{\delta} \right] \quad (39)$$

$$g_1(f) = \frac{\alpha}{3\delta} \left[ 3(1-f)^2 - \frac{(1-f)^3}{\delta} \right] \quad 40$$

$$g_0(\xi) = 1 - \frac{\alpha}{12\delta} (1-\xi)^3 \left[ 4 - \frac{1-\xi}{\delta} \right] \quad (41)$$

Interval  $\xi \in (\delta; 1-\delta)$

$$g_2(\xi) = -\infty \quad (42)$$

$$g_1(\xi) = -\alpha\xi + C_2 \quad (43)$$

$$g_0(\xi) = -\alpha \frac{\xi^2}{2} + C_2 \xi + C_3 \quad (44)$$

Pro hodnotu  $\xi = 1-\delta$  platí:

$$1/ v_2 = v_1 = \frac{\alpha}{3\delta} 2\delta^2 = \frac{2}{3}\alpha\delta$$

Dosazením této hodnoty do rovnice (43) dostaváme:

$$\frac{2}{3}\alpha\delta = -\alpha + \alpha\delta + C_2 \quad (45)$$

Úpravou rovnice (45) dostaváme:

$$C_2 = \frac{2}{3}\alpha\delta + \alpha - \alpha\delta = \frac{\alpha}{3}(3-\delta) \quad (46)$$

Integrální konstanta  $C_2 = \frac{\alpha}{3}(3-\delta)$

$$2/ g_2 = g_1 = 1 - \frac{\alpha\delta^3}{12\delta} (4-1) = 1 - \frac{1}{4}\delta^2\alpha$$

Dosazením této hodnoty do rovnice (44) dostaváme:

$$1 - \frac{1}{4}\delta^2\alpha = -\frac{\alpha(1-\delta)^2}{2} + \frac{\alpha}{3}(3-\delta)(1-\delta) + C_3 \quad (47)$$

Úpravou rovnice (47) dostavíme:

$$C_3 = 1 - \frac{\alpha\delta^2}{12} + \frac{4\alpha\delta}{12} - \frac{6\alpha}{12} = -\frac{\alpha\delta^2}{12} \quad (48)$$

Integrální konstanta  $C_3 = -\frac{\alpha\delta^2}{12}$

V intervalu  $\xi \in (\delta; 1-\delta)$  tedy platí:

$$g_2(\xi) = -\infty \quad (49)$$

$$g_1(\xi) = \frac{\alpha}{3}(3-\delta - 3\xi) \quad (50)$$

$$g_0(\xi) = \frac{\alpha}{12} [6\xi(2-\xi) - \delta(\delta+4\xi)] \quad (51)$$

Interval  $\xi \in (0, \delta)$ .

$$g_2(\xi) = -\frac{\alpha}{\delta} \left[ 2\xi - \frac{\xi^2}{\delta} \right] \quad (52)$$

$$g_1(\xi) = -\frac{\alpha}{3\delta} \left[ 3\xi^2 - \frac{\xi^3}{\delta} \right] + C_4 \quad (53)$$

$$g_0(\xi) = -\frac{\alpha}{12\delta} \left[ 4\xi^3 - \frac{\xi^4}{\delta} \right] + C_4\xi + C_5 \quad (54)$$

Pro hodnotu  $\xi = \delta$  platí:

$$1/ v_3 = v_2 = \frac{\alpha}{3} (3 - \delta - 3\delta) = \frac{\alpha}{3} (3 - 4\delta)$$

Dosazením této hodnoty do rovnice (53) dostaneme:

$$\frac{\alpha}{3} (3 - 4\delta) = \frac{\alpha}{3\delta} (3\delta^2 - \delta^2) + C_4 \quad (55)$$

Upravou rovnice (55) dostaneme:

$$C_4 = \alpha - \frac{4}{3} \alpha \delta + \frac{2}{3} \alpha \delta = \alpha - \frac{2}{3} \alpha \delta = 2 \quad (56)$$

Integrální konstanta  $C_4 = 2$

$$2/ z_3 = z_2 = \frac{\alpha}{12} [6\delta(2-\delta) - \delta(\delta+4\delta)] = \frac{\alpha}{12} [12\delta - 11\delta^2]$$

Dosazením této hodnoty do rovnice (54) dostaneme:

$$\frac{\alpha}{12} (12\delta - 11\delta^2) = -\frac{\alpha}{12\delta} \delta^3 (4-1) + (\alpha - \frac{2}{3} \alpha \delta) \delta + C_5 \quad (57)$$

Upravou rovnice (57) dostaneme:

$$C_5 = \frac{\alpha}{12} (-11\delta^2 + 3\delta^2 + 8\delta^2) = 0 \quad (58)$$

Integrální konstanta  $C_5 = 0$

V intervalu  $\xi \in (0, \delta)$  tedy platí:

$$g_2(\xi) = -\frac{\alpha}{\delta} \left[ 2\xi - \frac{\xi^2}{\delta} \right] \quad (59)$$

$$g_1(\xi) = 2 - \frac{\alpha}{3\delta} \left[ 3\xi^2 - \frac{\xi^3}{\delta} \right] \quad (60)$$

$$g_0(\xi) = 2\xi - \frac{\alpha}{12\delta} \left( 4\xi^3 - \frac{\xi^4}{\delta} \right) \quad (61)$$

Tím jsou určeny závislosti jednotkového poměrného zvuku,

jednotkové poměrné rychlosti a jednotkového poměrného zrychlení zvedáku mechanismu k přetáčení skřipce na jednotkovém poměrném zatočení vačkového hřídele. Vačka mechanismu zabezpečuje čtyři pohyby zvedáku během jedné otáčky vačkového hřídele, jak je naznačeno na obr. 7 na str.37. Zvedák působí na ozubený hřeben, který otáčí skřipcovou skříní. Výhodou řešení pomocí jednotkových poměrných závislostí je skutečnost, že ponecháme-li pro pohyb pro příjem skřipce, pro pootečení ke tkanině, pro pootečení potřebné k navádění i pro dotáčení skřipcové skříně stejný průběh zrychlení, vypočítáme závislovou funkci těchto čtyř pohybů současně.

#### 4.2.2 Poměrná funkce závibru, rychlosti a zrychlení zvedáku mechanismu

Hodnoty poměrného zrychlení získáme z rovnac:

$$\epsilon_2(\xi) = \frac{d^2\gamma}{d\xi^2} = 2 \frac{\gamma_1 - \gamma_d}{(\xi_1 - \xi_d)^2} \cdot \frac{d^2\gamma}{d\xi^2} \quad (62)$$

Pro  $\xi > 0$  platí:

$$\frac{d^2\epsilon}{d\xi^2} = +g_2(\xi) \quad (63)$$

$$\text{Pro } \xi = 0 \text{ je } \frac{d^2\epsilon}{d\xi^2} = 0 \quad (64)$$

Pro  $\xi < 0$  platí:

$$\frac{d^2\epsilon}{d\xi^2} = -g_2(\xi) \quad (65)$$

$\epsilon_2(\xi)$  = funkce poměrného zrychlení [ $\text{mrad}^{-2}$ ]

$\xi_f$  = souřadnice

$\mathbf{g}_2(f)$  = funkce jednotkového poměrného zrychlení

$y_b$  = maximální zdvih [m]

$y_d$  = minimální zdvih [m]

$\tilde{\epsilon}_b$  = maximální natočení vačkového hřídele

$\tilde{\epsilon}_d$  = minimální natočení vačkového hřídele

Hodnoty poměrné rychlosti si ekáme z rovnic:

$$\mathbf{t}_1(\alpha) = \frac{dy}{dx} = \frac{\tilde{\epsilon}_d - \tilde{\epsilon}_b}{\tilde{\epsilon}_b - \tilde{\epsilon}_d} \frac{d\tilde{\epsilon}}{df} \quad (66)$$

$$\frac{d\tilde{\epsilon}}{df} = g_1(f) \quad (67)$$

$t_1(\tilde{\epsilon})$  = funkce poměrné rychlosti [mrad<sup>-1</sup>]

$g_1(f)$  = funkce jednotkové poměrné rychlosti

Hodnoty zdvihu nezávisí na otáčkách vačkového hřídele,

Hodnoty poměrného zdvihu jsou tedy shodné s hodnotami skutečného zdvihu uvedenými v oddílu 4.2.3.

### Maximální hodnota poměrného zrychlení využívaná v první fázi jeho pohybu

Počle obr.10 na str.25 je maximální hodnota jednotkového poměrného zrychlení rovna hodnotě  $\alpha$ . K výpočtu poměrného zrychlení použijeme rovnici (42), (62), (63), (65).

$$y_b = 36,128 \cdot 10^{-3} \text{ m}$$

$$y_d = 0$$

$$\tilde{\epsilon}_b = 42,5^\circ$$

$$\tilde{\epsilon}_d = -15^\circ$$

Dále jsou v oddílech 4.2.2 a 4.2.3 užívaný hodnoty

$$\pi = 3,14159$$

$$\delta = 1/3$$

Podle rovnice (42), (62), (63) a (65) pro první fázi pohybu zvědáku platí:

$$f_2(\tau) = 2 \frac{36,128 \cdot 10^3}{\left(\frac{11,5}{36} \pi\right)^2} \cdot \frac{18}{7} = 184,472 \cdot 10^{-3} \text{ mrad}^{-2}$$

Maximální hodnota poměrného zrybolení zvědáku ve druhé fázi jeho pohybu

$$y_b = 36,128 \cdot 10^{-3} \text{ m}$$

$$y_g = 34,728 \cdot 10^{-3} \text{ m}$$

$$\tilde{\epsilon}_b = 175^\circ$$

$$\tilde{\epsilon}_g = 165^\circ$$

Podle rovnice (42), (62), (63) a (65) pro druhou fázi pohybu zvědáku platí:

$$f_2(\tau) = 2 \frac{1,4 \cdot 10^{-3}}{\left(\frac{2}{36} \pi\right)^2} \cdot \frac{18}{7} = 236,066 \cdot 10^{-3} \text{ mrad}^{-2}$$

Maximální hodnota poměrného zrybolení zvědáku ve třetí fázi jeho pohybu

$$y_b = 34,728 \cdot 10^{-3} \text{ m}$$

$$y_g = 33,628 \cdot 10^{-3} \text{ m}$$

$$\tilde{\epsilon}_b = 185^\circ$$

$$\tilde{\epsilon}_g = 175^\circ$$

Podle rovnice (42), (62), (63) a (65) pro třetí fázi pohybu zvědáku platí:

$$f_2(\tau) = 2 \frac{1,1 \cdot 10^{-3}}{\left(\frac{2}{36} \pi\right)^2} \cdot \frac{18}{7} = 185,480 \cdot 10^{-3} \text{ mrad}^{-2}$$

Maximální hodnota poměrného zrychlení zvedáku ve čtvrté fázi jeho pohybu

$$y_b = 33,628 \cdot 10^{-3} \text{ m}$$

$$y_d = 0$$

$$\tilde{\epsilon}_b = 220^\circ$$

$$\tilde{\epsilon}_d = 185^\circ$$

Podle rovnic (42), (62), (63) a (65) pro čtvrtou fázi pohybu zvedáku platí:  $f_2(\varphi) = 463,657 \cdot 10^{-3} \text{ mrad}^{-2}$

Maximální hodnota poměrné rychlosti zvedáku v první fázi jeho pohybu

Podle obr.9 je hodnota jednotkové poměrné rychlosti maximální pro  $\dot{\varphi} = 0$ . K výpočtu použijeme rovnice (60), (66) a (67).

$$y_b = 36,128 \cdot 10^{-3} \text{ m}$$

$$y_d = 0$$

$$\tilde{\epsilon}_b = 42,5^\circ$$

$$\tilde{\epsilon}_d = -15^\circ$$

Podle rovnic (60), (66) a (67) pro prvnou fázi pohybu zvedáku platí:

$$f_1(\varphi) = 2 \frac{36,128 \cdot 10^{-3}}{\frac{11,5}{36} \pi} = 71,997 \cdot 10^{-3} \text{ mrad}^{-1}$$

Maximální hodnota poměrné rychlosti zvedáku ve druhé fázi jeho pohybu

$$y_b = 36,128 \cdot 10^{-3} \text{ m}$$

$$y_d = 34,728 \cdot 10^{-3} \text{ m}$$

$$\tilde{\epsilon}_b = 175^\circ$$

$$\tilde{\alpha}_3 = 165^\circ$$

Podle rovnic (60), (66), (67) pro druhou fázi pohybu zvedáku platí:

$$f_1(\tau) = 2 \frac{1,40 \cdot 10^3}{\frac{2}{36} \pi} = 16,043 \cdot 10^{-3} \text{ mrad}^{-1}$$

Maximální hodnota poměrné rychlosti zvedáku ve třetí fázi jeho pohybu

$$y_b = 34,728 \cdot 10^{-3} \text{ m}$$

$$y_d = 33,628 \cdot 10^{-3} \text{ m}$$

$$\tilde{\alpha}_b = 185^\circ$$

$$\tilde{\alpha}_d = 175^\circ$$

Podle rovnic (60), (66) a (67) pro třetí fázi pohybu zvedáku platí:

$$f_1(\tau) = 2 \frac{1,10 \cdot 10^3}{\frac{2}{36} \pi} = 12,605 \cdot 10^{-3} \text{ mrad}^{-1}$$

Maximální hodnota poměrné rychlosti zvedáku ve čtvrté fázi jeho pohybu

$$y_b = 33,628 \cdot 10^{-3} \text{ m}$$

$$y_d = 0$$

$$\tilde{\alpha}_b = 220^\circ$$

$$\tilde{\alpha}_d = 185^\circ$$

Podle rovnic (60), (66), a (67) pro čtvrtou fázi pohybu zvedáku platí:

$$f_1(\tau) = 2 \frac{33,628 \cdot 10^3}{\frac{2}{36} \pi} = 110,099 \cdot 10^{-3} \text{ mrad}^{-1}$$

4.2.3 Skutečný závrt, skutečná rychlosť a skutečné zrychlení zvedáku mechanismu

Hodnotu skutečného zrychlení zvedáku mechanismu pro určité otáčky vačkového hřídele získáme ze vztahů:

$$a(\tau) = f_2(\tau) \cdot \omega^2 \quad (68)$$

$$\omega = \frac{\pi n}{30} \quad (69)$$

$a(\tau)$  = funkce skutečného zrychlení [ $\text{m s}^{-2}$ ]

$f_2(\tau)$  = funkce poměrného zrychlení [ $\text{m rad}^{-2}$ ]

$\omega$  = úhlová rychlosť [ $\text{rad s}^{-1}$ ]

$n$  = otáčky vačkového hřídele [ $\text{ot/min}$ ]

Hodnotu skutečné rychlosti zvedáku mechanismu pro určité otáčky vačkového hřídele získáme ze vztahů:

$$v(\tau) = f_1(\tau) \cdot \omega \quad (70)$$

$v(\tau)$  = funkce skutečné rychlosti [ $\text{m s}^{-1}$ ]

$f_1(\tau)$  = funkce poměrné rychlosti [ $\text{m rad}^{-1}$ ]

Hodnotu skutečného závrtu zvedáku mechanismu získáme ze vztahů:

$$\gamma(\tau) = f_0(\tau) = \frac{j_1 + j_d}{2} + \frac{j_1 - j_d}{2} \zeta \quad (71)$$

Pro  $j > 0$  platí:

$$\zeta = g_0(j) \quad (72)$$

$$\text{Pro } j = 0 \text{ je } \zeta = 0 \quad (73)$$

Pro  $j < 0$  platí:

$$\zeta = -g_0(j) \quad (74)$$

4.2.3.1 Hodnoty závihu, maximální hodnoty okutečné rychlosti a okutečného zrychlení zvedáku mechanismu v jednotlivých fázích jeho pohybu pro  $n = 125 \text{ ot/min}$

Pro otáčky  $n = 125 \text{ ot/min}$  je podle rovnice (69):

$$\omega = 13,090 \text{ rad}^{-1} \text{ s}$$

$$\omega^2 = 171,448 \text{ rad}^2 \text{s}^{-2}$$

Rychlosť počítame z rovnice (70) a využitím výsledků z odstílu 4.2.2, zrychlení  $\ddot{\varphi}$  počítame z rovnice (68) a využitím výsledků z odstílu 4.2.2, závih počítame ze vztahu:

$$y = y_h - y_0 \quad (75)$$

Prvá fáze pohybu zvedáku

Počle rovnice (68), (69), (70) a (75) a využitím výsledku z odstílu 4.2.2 dostávame pro první fazu pohybu zvedáku:

$$y = 36,128 \cdot 10^{-3} \text{ m}$$

$$v = 0,942 \text{ m} \text{s}^{-1}$$

$$a = 31,609 \text{ m} \text{s}^{-2}$$

Druhá fáze pohybu zvedáku

Počle rovnice (68), (69), (70) a (75) a využitím výsledku z odstílu 4.2.2 dostávame pro druhou fazu pohybu zvedáku:

$$y = 1,400 \cdot 10^{-3} \text{ m}$$

$$v = 0,210 \text{ m} \text{s}^{-1}$$

$$a = 40,449 \text{ m} \text{s}^{-2}$$

Třetí fáze pohybu zvedáku

Pošle rovnice (68), (69), (70) a (75) + využitím výsledku z oddílu 4.2.2 sestaváme pro třetí fázi pohybu zvedáku:

$$y = 1,100 \cdot 10^{-3} \text{ m}$$

$$v = 0,165 \text{ mm}^{-1}$$

$$a = 31,781 \text{ mm}^{-2}$$

Čtvrtá fáze pohybu zvedáku

Pošle rovnice (68), (69), (70) a (75) + využitím výsledku z oddílu 4.2.2 sestaváme pro čtvrtou fázi pohybu zvedáku:

$$y = 33,628 \cdot 10^{-3} \text{ m}$$

$$v = 1,441 \text{ mm}^{-1}$$

$$a = 79,446 \text{ mm}^{-2}$$

Hodnoty závěru, maximální rychlosti a maximálního zrychlení zvedáku + příslušným ustanovenky jsou pro jednotlivé fáze pohybu zvedáku uvedeny v tabulce III na str.67.

4.2.3.2. Hodnoty závěru, maximální hodnoty okamžité rychlosti a okamžitého zrychlení zvedáku mechanismu v jednotlivých fázích jeho pohybu pro n = 175 ot/min

Pro otáčky n = 175 ot/min je pošle rovnice (69):

$$\omega = 18,326 \text{ rad} \cdot \text{s}^{-1}$$

$$\omega^2 = 335,842 \text{ rad}^2 \cdot \text{s}^{-2}$$

Rychlosť počítáme z rovnice (70) + využitím výsledku

z oddílu 4.2.2, zrychlení počítáme z rovnice (68) a využitím výsledku z oddílu 4.2.2, zrátě počítáme se vztahu (70).

#### Prvá fáze pohybu svědáku

Podle rovnic (68), (69), (70) a (75) a využitím výsledku z oddílu 4.2.2 sestaváme pro první fázi pohybu svědáku:

$$y = 36,128 \cdot 10^{-3} \text{ m}$$

$$v = 1,319 \text{ mm}^{-1}$$

$$a = 61,953 \text{ mm}^{-2}$$

#### Druhá fáze pohybu svědáku

Podle rovnic (68), (69), (70) a (75) a využitím výsledku z oddílu 4.2.2 sestaváme pro druhou fázi pohybu svědáku:

$$y = 1,400 \cdot 10^{-3} \text{ m}$$

$$v = 0,294 \text{ mm}^{-1}$$

$$a = 79,280 \text{ mm}^{-2}$$

#### Třetí fáze pohybu svědáku

Podle rovnic (68), (69), (70) a (75) a využitím výsledku z oddílu 4.2.2 sestaváme pro třetí fázi pohybu svědáku:

$$y = 1,100 \cdot 10^{-3} \text{ m}$$

$$v = 0,231 \text{ mm}^{-1}$$

$$a = 62,292 \text{ mm}^{-2}$$

#### Čtvrtá fáze pohybu svědáku

Podle rovnic (68), (69), (70) a (75) a využitím výsledku z oddílu 4.2.2 sestaváme pro čtvrtou fázi pohybu svědáku:

$$y = 33,628 \cdot 10^{-3} \text{ m}$$

$$v = 2,018 \text{ m s}^{-1}$$

$$a = 155,715 \text{ m s}^{-2}$$

Hodnoty závěru, maximální rychlosti a maximálního zrychlení svědčí v jednotlivých fázích jeho pohybu pro  $n = 175$  ot/min jsou uvedeny v přiloženém znaménky v tab. III.

#### 4.3 Výrobací souřadnice vačky

Závislost funkce símek v oddílu 4.2.3 posloužíme pro výpočet výrobačích souřadnic vačky. Průměr rovnoramenné trojnice panterkové skřipecové skříně je  $\delta = 23 \cdot 10^{-3} \text{ m}$ . Při pohybu skřipecové skříně o  $180^\circ$  nabývá závislost funkce  $y = y(\tau)$  hodnotu:

$$y_{\max} = \frac{23}{2} \cdot \pi = 11,5 \pi \cdot 10^{-3} \text{ m}$$

Pro volenou maximální polární souřadnici

$$R_{\max} = 110 \cdot 10^{-3} \text{ m} \text{ platí:}$$

$$R_{\min} = (110 - 11,5 \pi) \cdot 10^{-3} \text{ m}$$

Poďle obr. 11 platí:

$$R = R_{\min} + y(\tau) \quad (76)$$

$$\varphi = \tau + \gamma - \gamma_0 \quad (77)$$

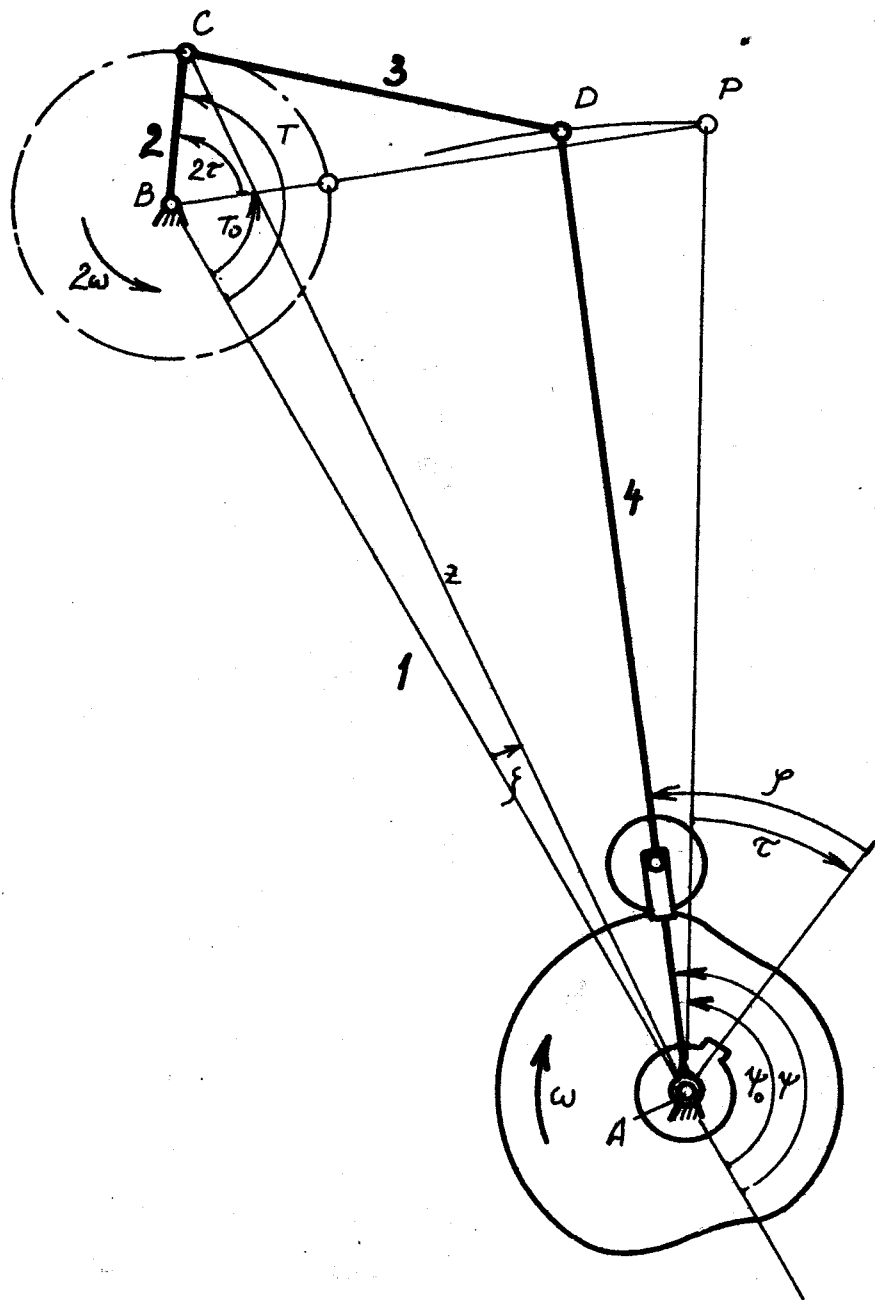
$$T = T_0 + 2\tau \quad (78)$$

$$f = \operatorname{arctg} \frac{l_2 \sin T}{l_1 - l_2 \cos T} \quad (79)$$

$$\overline{AC} = Z = \sqrt{(l_1 - l_2 \cos T)^2 + (l_2 \sin T)^2} \quad (80)$$

Tab.III-Porovnání hodnot zdvihu, rychlosti a zrychlení zvedáku získaných graficko-počítačkovou metodou / g-p / a analytickou metodou / a/

1. fáze	$n[\text{ot/min}]$	$y[\text{mm}]$	$v[\text{m}\cdot\text{s}^{-1}]$	$a[\text{m}\cdot\text{s}^{-2}]$
g-p	125	36,128	0,960	$\pm 32,600$
a	125	36,128	0,942	$\pm 31,609$
g-p	175	36,128	1,340	$\pm 63,800$
a	175	36,128	1,319	$\pm 61,953$
2. fáze	$n[\text{ot/min}]$	$y[\text{mm}]$	$v[\text{m}\cdot\text{s}^{-1}]$	$a[\text{m}\cdot\text{s}^{-2}]$
g-p	125	-1,400	-0,200	$\pm 40,110$
a	125	-1,400	-0,210	$\pm 40,449$
g-p	175	-1,400	-0,280	$\pm 78,600$
a	175	-1,400	-0,294	$\pm 79,280$
3. fáze	$n[\text{ot/min}]$	$y[\text{mm}]$	$v[\text{m}\cdot\text{s}^{-1}]$	$a[\text{m}\cdot\text{s}^{-2}]$
g-p	125	-1,100	-0,170	$\pm 32,420$
a	125	-1,100	-0,165	$\pm 31,781$
g-p	175	-1,100	-0,240	$\pm 64,500$
a	175	-1,100	-0,231	$\pm 62,292$
4. fáze	$n[\text{ot/min}]$	$y[\text{mm}]$	$v[\text{m}\cdot\text{s}^{-1}]$	$a[\text{m}\cdot\text{s}^{-2}]$
g-p	125	-33,628	-1,380	$\pm 77,950$
a	125	-33,628	-1,441	$\pm 79,446$
g-p	175	-33,628	-1,930	$\pm 152,800$
a	175	-33,628	-2,018	$\pm 155,715$



Obr.11-Schéma přírassového mechanismu

$$\gamma = 180^\circ - \varphi - \arccos \frac{l_4^2 + l_2^2 - l_3^2}{2l_4l_2} \quad (81)$$

R = polární souřadnice [m]

$\varphi$  = polární souřadnice [ $^\circ$ ]

$\zeta$  = úhel natočení vežkového bříže [ $^\circ$ ]

$\psi$  = pomocný úhel [ $^\circ$ ]

$\chi$  = hodnota pomocného úhlu  $\psi$  v okamžiku přírůstku [ $^\circ$ ]

T = úhel v trojúhelníku ABC [ $^\circ$ ]

$T_0$  = hodnota úhlu T v okamžiku přírůstku [ $^\circ$ ]

$\varphi$  = pomocný úhel v trojúhelníku ABC [ $^\circ$ ]

$l_1, l_2, l_3, l_4$  = délky jednotlivých členů mechanismu [m]

s = strana v trojúhelníku ABC [m]

Rozděly mezi bodami:

$$l_1 = 139,5 \cdot 10^{-3} \text{ m}$$

$$l_2 = 22 \cdot 10^{-3} \text{ m}$$

$$l_3 = 50 \cdot 10^{-3} \text{ m}$$

$$l_4 = 133,5 \cdot 10^{-3} \text{ m}$$

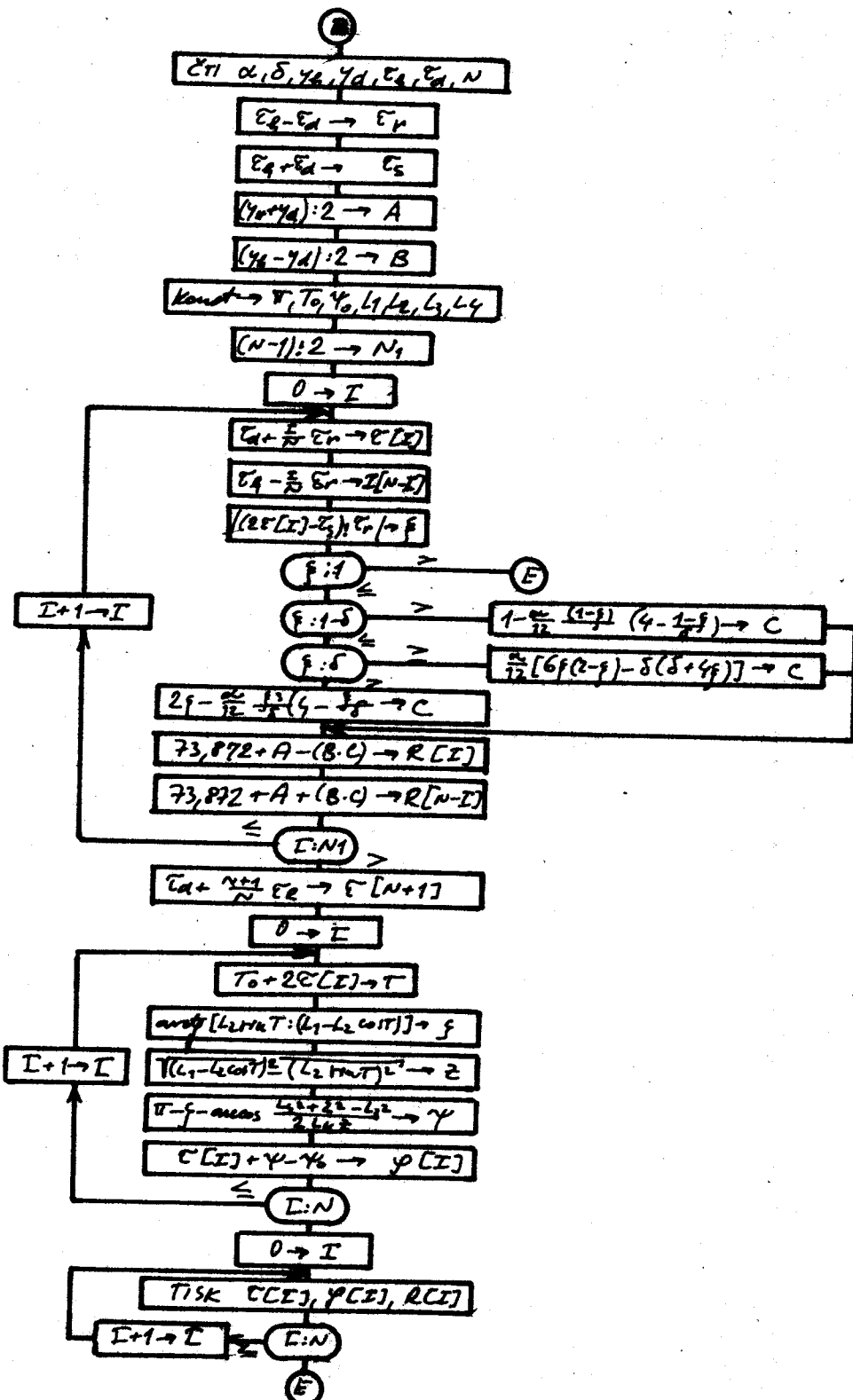
$$\gamma_0 = 149,92^\circ$$

$$T_0 = 70,15^\circ$$

Z rovnic (76)-(81) můžeme vyjádřit skutečnou závislost funkcií.

### 3.2.1 Výpočty výrobních souřadnic vrátky

Poleární souřadnice R a  $\varphi$  lze s výhodou počítat na počítačem počítači. Na obr. 12 je blokové schéma výpočtu těchto souřadnic. Vstupní dátum je  $\delta$  a  $\alpha$  jsou zadány konstanty, N je počet kroků cyklu,  $y_a, y_b, \zeta_a, \zeta_b$  jsou minimální, resp. maximální hodnoty závěru závěšku a minimální, resp. maximální hodnoty natočení vežkového bříže.



Obr. 12-Blokové schéma výpočtu výrobních soudržnic pásky

1.

První fáze pohybu zvedáku

$$y_g = 0$$

$$y_b = 36,128 \cdot 10^{-3} \text{ m}$$

$$\tilde{\tau}_g = -15^\circ$$

$$\tilde{\tau}_b = 42,5^\circ$$

Druhá fáze pohybu zvedáku

$$y_g = 34,728 \cdot 10^{-3} \text{ m}$$

$$y_b = 36,128 \cdot 10^{-3} \text{ m}$$

$$\tilde{\tau}_g = 165^\circ$$

$$\tilde{\tau}_b = 175^\circ$$

Třetí fáze pohybu zvedáku

$$y_g = 33,628 \cdot 10^{-3} \text{ m}$$

$$y_b = 34,728 \cdot 10^{-3} \text{ m}$$

$$\tilde{\tau}_g = 175^\circ$$

$$\tilde{\tau}_b = 185^\circ$$

Čtvrtá fáze pohybu zvedáku

$$y_g = 0$$

$$y_b = 33,628 \cdot 10^{-3} \text{ m}$$

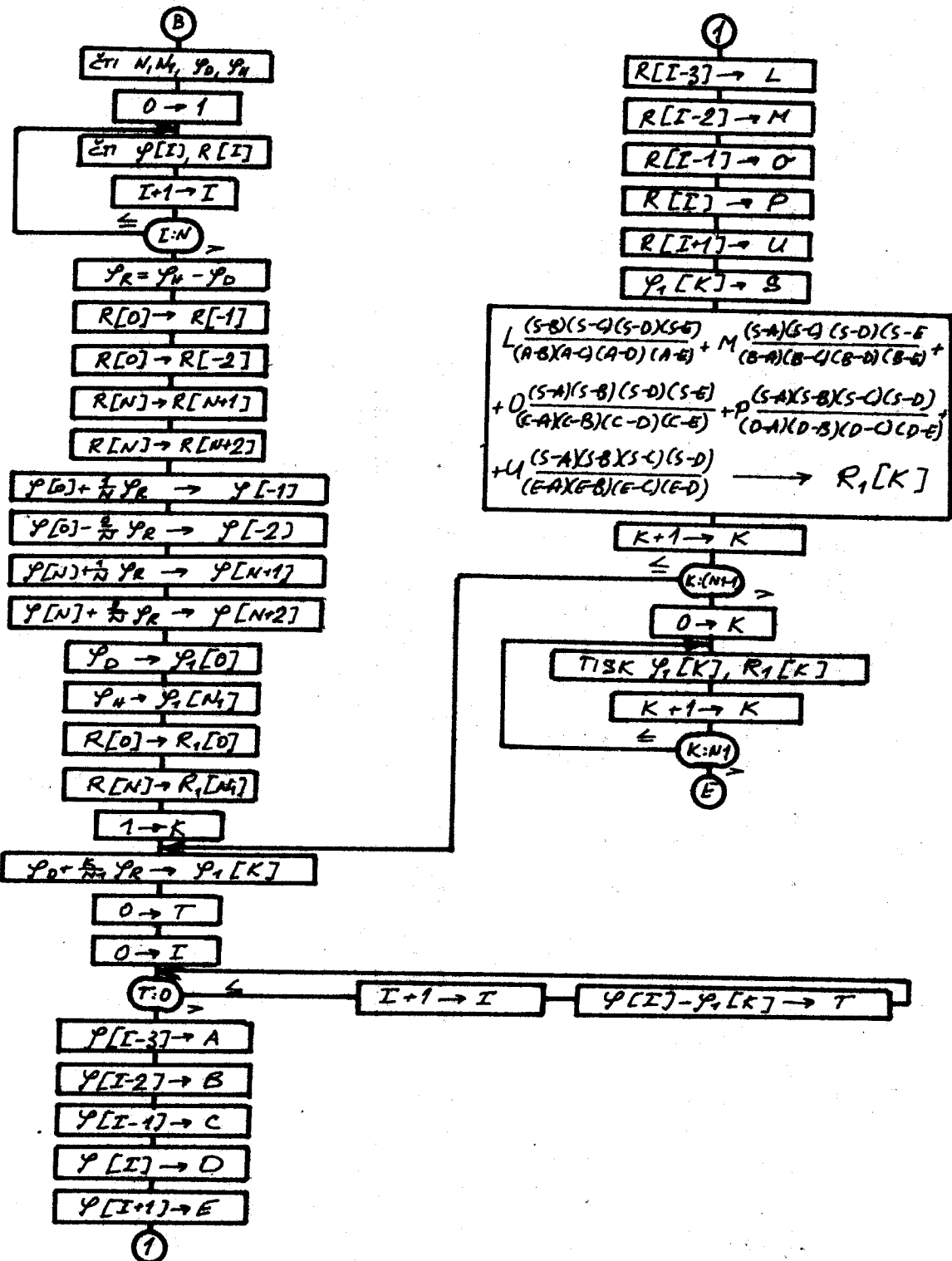
$$\tilde{\tau}_g = 185^\circ$$

$$\tilde{\tau}_b = 220^\circ$$

V případě, že při výrobě vačky použijeme nástroje stejného průměru, jako je průměr kladky zvedáku, jsou sítkané souřadnice souřadnicemi výrobními.

Kap.2 Interpolace

Při výpočtu souřadnic  $\varphi$  podle rovnic (77)-(81) vycházejí různě velké diferenze mezi dvěma po sobě následujícími natočeninami vačkového hřídele. Mají-li být tyto diferenze v celém intervalu  $\tilde{\tau} \in \langle \tilde{\tau}_g, \tilde{\tau}_b \rangle$  konstantní, musíme provést interpolaci. I tento výpočet můžeme provést na paměťovém počítači. Na obr.13 je blokové schéma



Obr. 13 - Blokové schéma interpolace

interpolace provedené pomocí Lagrangeova interpolačního polynomu pátého stupně. Vypočítané souřadnice  $\varphi_1, R_1$  jsou výrobní souřadnice vačky mechanismu k přetáčení skřipce. Jsou uvedeny v tabulce, která tvoří druhý list výrobního výkresu vačky. Průměr výrobního nástroje je stejně velký jako průměr kladky svedáku:

$$d = 30 \cdot 10^{-3} \text{ m}$$

Průběh výrobní svedáku, jehož kladka se otočuje po obvodu vačky výrobené podle souřadnic  $\varphi_1, R_1$ , je zobrazen na obrázku na str. 37.

### 5.9 DYNAMIKA MECHANISMU K PŘETÁČENÍ SKŘIPCE

Bonehovná funkce mechanismu bude zajištěna, v případě, že výslovná síla mezi kladkou svedáku a vačkou bude být v celé oblasti vačky přitlačovat svedák k obrysu vačky. Součet všech používaných sil, působících v mechanismu, musí tedy v každém okamžiku mit kladku v bezvadu, jestli kladný nebož působení takový, že přitlačuje kladku k obrysu vačky.

Uvedené síly:

$$D_3 = \text{dynamická síla svedáku} \times \text{kladka}$$

$$G_3 = \text{tibová síla svedáku} \times \text{kladka}$$

$$D_4 = \text{dynamická síla osobeného třebotu} \times \text{stavba kladny}$$

$G_4$  = tibová síla ozubeného hřebenu se stávkou  
šroubem

$D_5$  = dynamická síla skřipcové skříně

$D_6$  = dynamická síla ozubeného hřebene a části proštiny

$G_6$  = tibová síla ozubeného hřebene a části proštiny

$P_7$  = síla proštiny

$P_p$  = síla způsobená pasivními odporu

Jak už bylo uvedeno v kapitole 3, není při řešení uvažováno tření v zábech, vlivy odporu ložisek klášky a skřipcové skříně, závislost velikosti pasivních odporů na velikosti rychlosti a na velikosti třecí plochy, vliv přičtení zvětšáku ve vedení, vliv odstředivé síly vzniklé křivým pohybem ani vlivu vnitřního napětí spôsobeného teplotní roztažností materiálu. Všechny tyto vlivy jsou zahrnuty do síly  $P_p$ , která byla určena pokusně a její hodnoty jsou uvedeny v oddílu 3.2. Síla způsobená pasivními odporu má smysl proti smyslu rychlosti pohybu.

Dynamická síla má smysl opačný než je smysl zrychlení. V případě posuvného pohybu člena mechanismu je dynamická síla rovna součinu hmoty a zrychlení příslušného člena, dynamickou sílu člena konajících rotaciální pohyb lze ujistit pomocí dynamického momentu. Tento moment je roven součinu momentu sotvažnosti člena konajícího rotaciální pohyb k osi rotace a úhlového zrychlení a má smysl opačný, než je smysl úhlového zrychlení. Celková dynamická síla mechanismu je rovna součtu dynamických sil jednotlivých členů mechaniku-

mu a lze ji vyjádřit jako součin redukované hmoty mechanismu a zrychlení člena, na nějž byla hmota redukována. Redukovaná hmota mechanismu byla určena v oddílu 2.3.

Platí:

$$D = D_3 + D_4 + D_5 + D_6 = \sum_{i=3}^6 D_i = m_3 \alpha + \frac{J_5 \alpha}{r^2} + m_4 \alpha + (m_6 + \frac{1}{3} m_7) \alpha = M_{red} \cdot \alpha \quad (82)$$

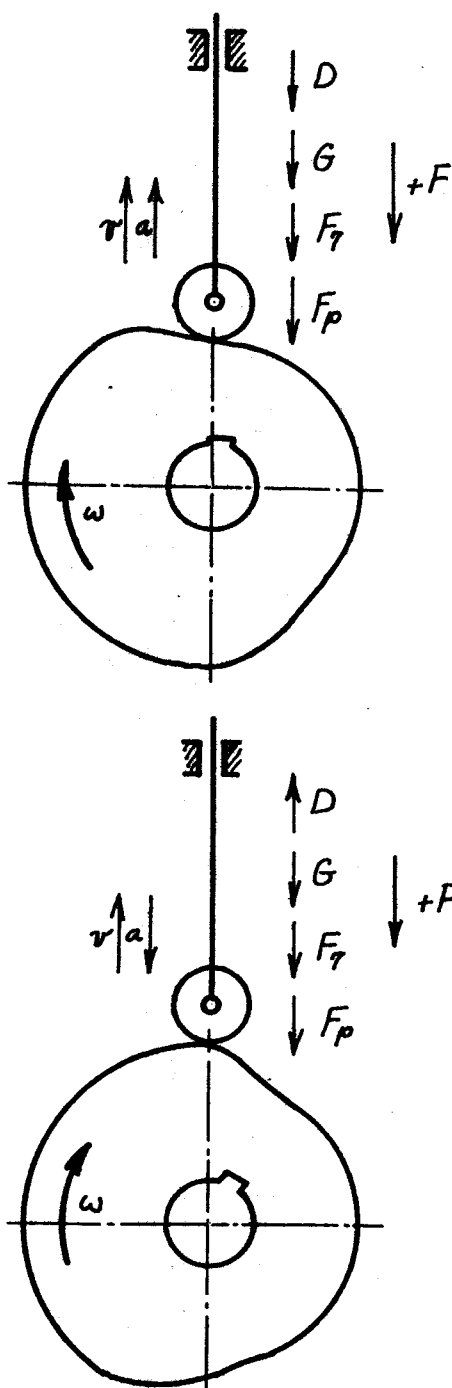
Síla pružiny se mění během jednoho závrtu v mezikách 421,658 N až 186,314 N, jak je uvedeno v oddílu 3.1.

Tíhová síla je rovna:

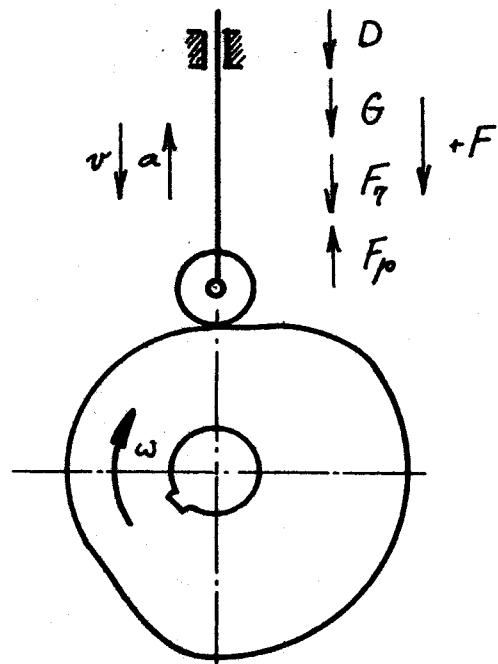
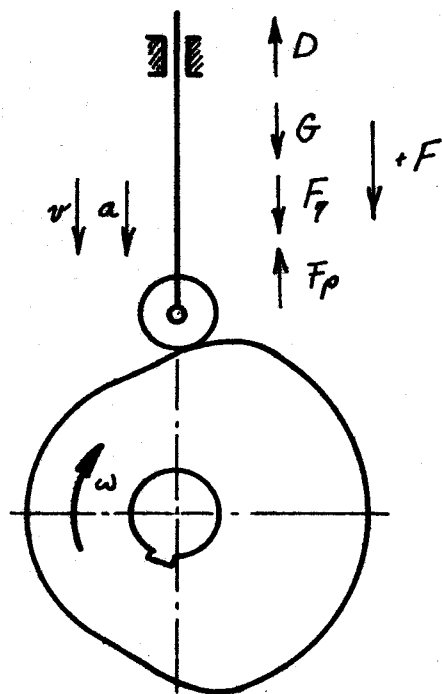
$$G = G_3 + G_4 - G_6 \quad (83),$$

jak vyplývá z obr. 2.

Počle zněny smyslu rychlosti a zrychlení zvědáku během jedné otáčky vačkového klíče mohou nastat případy podle obr. 14 a obr. 15. Kladný smysl síly byl volen směrem dolů. Pokud výsledná síla  $F$ , která je součtem všech tří působících v mechanismu, bude mít kladný smysl, bude mechanismus pracovat dobré. V případě, že by síla  $F$  v některém okamžiku měla zápornou hodnotu, kladka zvědáku by odskočila od povrchu vačky, funkce mechanismu by nebyla správná a mohlo by dojít k poruše stroje. Pro zkoumání možnosti odskočení kladky je zajímavý konec první fáze pohybu zvědáku a začátek čtvrté fáze pohybu zvědáku, a klesání dotáčení, resp. nedotáčení skřipcové skříně je zajímavý konec čtvrté fáze pohybu zvědáku, kdy síla společně s posilnou opory je vlivem náběhu páky pro odvrácení skřipce před vystřelenou závrtou pětkrát větší.



Obr.14-Sily působící v mechaniku při pohybu  
bez akcí



Obr.15-Síly působící v mechanismu při po-  
hybu se strojům

2.1 Výsledná síla působící na zvědák mechanismu v jednotlivých fázích jeho pohybu pro  $n = 125 \text{ ot/min}$

Výsledná síla je součtem všech svažovaných sil působících v mechanismu. Platí:

$$P = D + G + P_7 + P_p \quad 84$$

$P$  = výsledná síla [N]

$D$  = dynamická síla [N]

$P_7$  = síla pružiny [N]

$P_p$  = síla spôsobená posuvními odporu [N]

$G$  = tibová síla [N]

Při výpočtech byly uvažovány všechny uvedené síly, v diagramech na obr.16 a obr.17 je síla  $G$  zanedbána.

Výsledná síla v prvé fázi pohybu zvědáku

Počle rovnice (82) platí:

$$D = m_{red1} \cdot a_1 = 2,107 \cdot 31,609 = 66,600 \text{ N}$$

Dále platí:

$$P_{7s} = 186,314 \text{ N}$$

$$P_{7k} = 421,658 \text{ N}$$

$$P_p = 26,672 \text{ N}$$

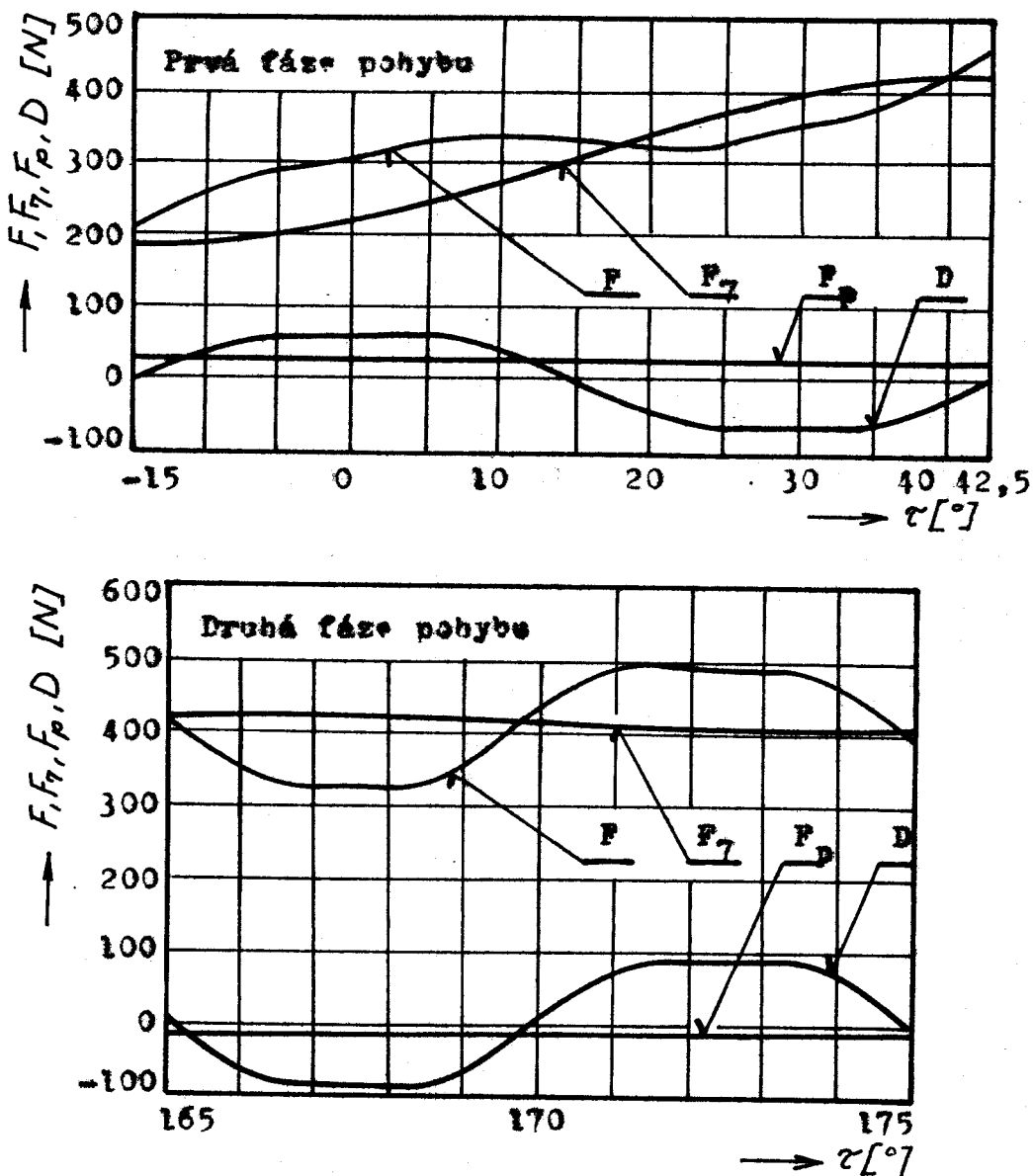
$$G = 3,677 \text{ N}$$

$m_{red1}$  = redukované hmotě mechanismu při pohybu bez skřipce  
[kg]

$a_1$  = maximální zrychlení zvědáku v prvé fázi jeho pohybu  
při otáčkách  $n = 125 \text{ ot/min}$  [ $\text{m s}^{-2}$ ]

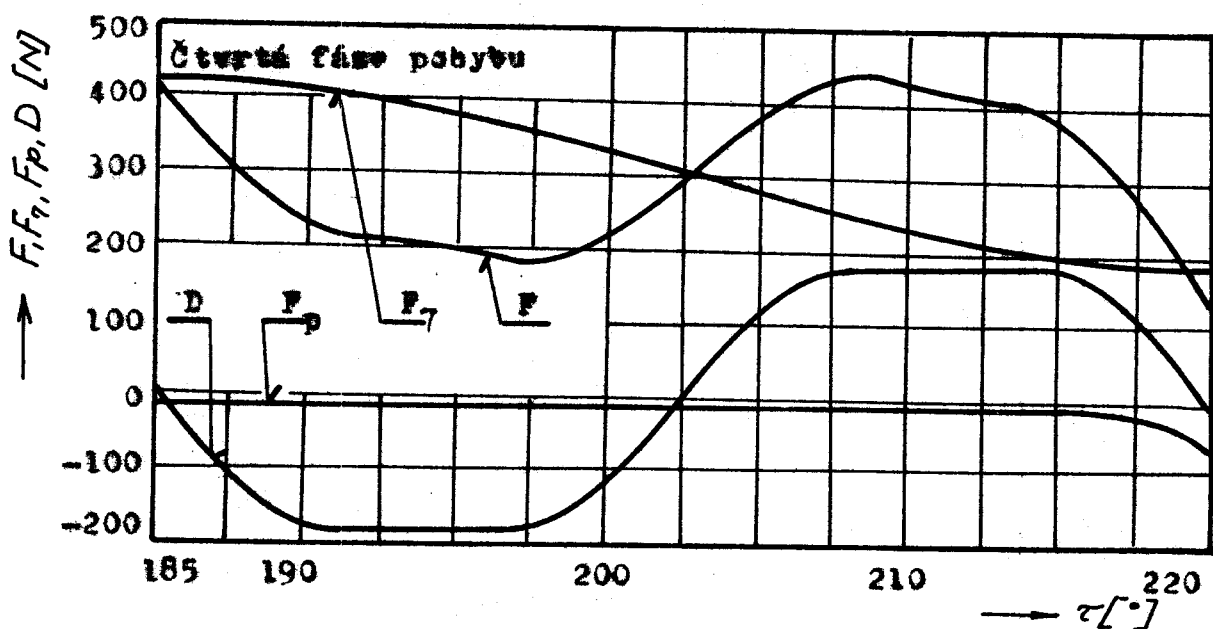
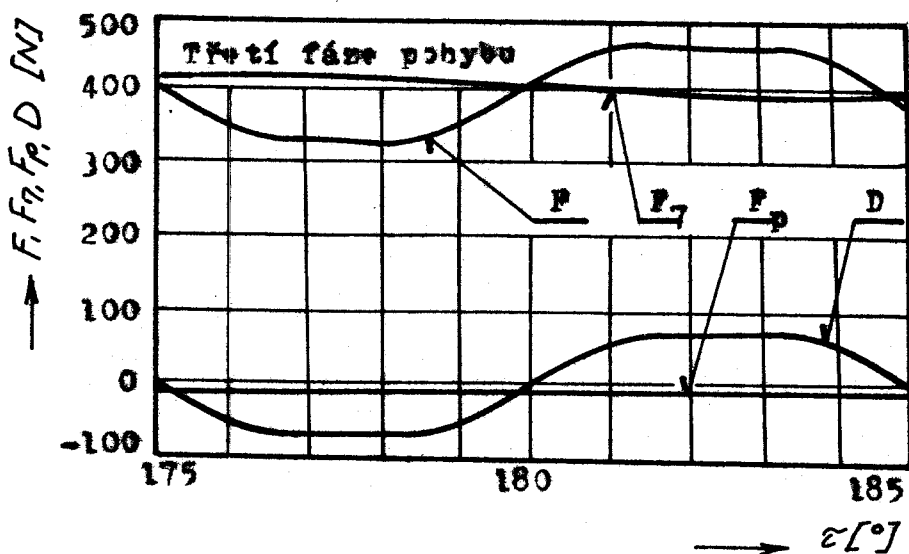
$P_{7s}$  = síla pružiny na sedátku pohybu [N]

$P_{7k}$  = síla pružiny na konci pohybu [N]



Obr. 16-Diagram sítí působících v prvé a druhé fázi pohybu zvedáků pro  $n = 125$  ot/min

$\tau$  = úhel natočení vedenového hřídele,  $F$  = výsledná síla,  $F_t$  = síla prohnutí,  $F_p$  = síla způsobená pernitivní odporu,  $D$  = dynamická síla



Obr. 17-Diagram sil působících ve třetí a čtvrté fázi pohybu srovnáno pro  $n = 125$  ot/min

$\varepsilon$  = úhel měřený ve vložkovém hřídele,  $P$  = výsledná síla,  $P_7$  = síla proštiny,  $P_p$  = síla způsobená pasivními odpory,  $D$  = dynamická síla

Průběh výsledné síly v celé prvé fázi pohybu je znázorněn na obr.16. Výsledná síla nabude minimální hodnoty při natočení vačkového hřídele o úhel  $-15^\circ \equiv 345^\circ$ , kdy síla pružiny  $P_7 = 186,314 \text{ N}$  a dynamická síla je nulová. Užitím rovnice (84) dojdeme k výsledku:

$$P_{\min} = 216,663 \text{ N}$$

Maximální hodnoty nabude výsledná síla při úhlu natočení vačkového hřídele o úhel  $42,5^\circ$ , kdy síla pružiny  $P_7 = 421,658 \text{ N}$  a dynamická síla je nulová. Užitím rovnice (84) dojdeme k výsledku:

$$P_{\max} = 452,007 \text{ N}$$

#### Výsledná síla ve druhé fázi pohybu zvedáku

Podle rovnice (82) platí:

$$D = m_{rad2} \cdot a_2 = 2,298 \cdot 40,449 = 92,952 \text{ N}$$

Dále platí:

$$P_{7z} = 421,658 \text{ N}$$

$$P_{7k} = 411,852 \text{ N}$$

$$P_p = -10,787 \text{ N}$$

$$G = 3,677 \text{ N}$$

$m_{rad2}$  = redukovaná hmota mechanismu při pohybu se skřípcem  
[kg]

Průběh výsledné síly v celé druhé fázi pohybu zvedáku je znázorněn na obr.16. Výsledná síla nabude minimální hodnoty při úhlu natočení vačkového hřídele o úhel  $168^\circ 20'$ .

kdy síla pružiny je  $P_\gamma = 417,736$  N a dynamická síla je záporná. Užitím rovnice (84) dojdeme k výsledku:

$$P_{\min} = 317,674 \text{ N}$$

Maximální hodnoty nabudu výsledná síla při natočení vačkového hřídele o úhel  $172^{\circ}40'$ , kdy síla pružiny je  $P_\gamma = 415,774$  N a dynamická síla je kladná. Užitím rovnice (84) dojdeme k výsledku:

$$P_{\max} = 501,616 \text{ N}$$

#### Výsledná síla ve třetí fázi pohybu svodáku

Podle rovnice (82) platí:

$$D = m_{rad2} \cdot a_3 = 2,298 \cdot 31,781 = 73,033 \text{ N}$$

Dále platí:

$$P_{\gamma_B} = 411,852 \text{ N}$$

$$P_{\gamma_K} = 402,046 \text{ N}$$

$$P_p = -10,787 \text{ N}$$

$$G = 3,677 \text{ N}$$

Průběh výsledné síly v celé třetí fázi pohybu je znázorněn na obr. 17. Výsledná síla nabudu minimální hodnoty při úhlu natočení vačkového hřídele o úhel  $177^{\circ}20'$ , kdy síla pružiny je  $P_\gamma = 407,968$  N a dynamická síla je záporná. Užitím rovnice (84) dojdeme k výsledku:

$$P_{\min} = 325,825 \text{ N}$$

Maximální hodnoty nabudu výsledná síla při natočení vačkového hřídele o úhel  $180^{\circ}$ , kdy síla pružiny je  $P_\gamma = 415,774$  N a dynamická síla je kladná. Užitím rovnice (84) dojdeme k výsledku:

většího úhlu o úhel  $182^\circ 40'$ , kdy síla protíny je

$P_\gamma = 405,968 \text{ N}$  a dynamická síla je kladná. Užitím rovnice  
(84) dojďeme k výsledku:

$$P_{\max} = 471,891 \text{ N}$$

Výsledná síla ve čtvrté fázi pohybu je vedená

Pořle rovnice (82) platí:

$$D = m_{red2} \cdot a_1 = 2,298 \cdot 79,446 = 182,023 \text{ N}$$

Dále platí:

$$P_{7g} = 402,046 \text{ N}$$

$$P_{7k} = 186,314 \text{ N}$$

$$P_p = -10,787 \text{ N}$$

$$G = 3,677 \text{ N}$$

Průběh výsledné síly v celé čtvrté fázi pohybu je znázor-  
něn na obr.17. Výsledná síla nabude minimální hodnoty při  
matočení vařkového kříže o úhel  $220^\circ$ , kdy síla protíny  
je  $P_\gamma = 186,314 \text{ N}$ , dynamická síla je nelevá a síla způsobená  
závratnou odpory je zvýšena na hodnotu  $P_p = -58,680 \text{ N}$ .  
Užitím rovnice (84) dojďeme k výsledku:

$$P_{\min} = 127,634 \text{ N}$$

Maximální hodnoty nabude výsledná síla při matočení vařko-  
vého kříže o úhel  $208^\circ 20'$ ; kdy síla protíny je

$P_\gamma = 273,392 \text{ N}$  a dynamická síla je kladná. Užitím rovnice

(84) dojďeme k výsledku:

$$P_{\max} = 444,632 \text{ N}$$

5.2 Výsledná síla působící na zvedák mechanismu v jednotlivých fázích jeho pohybu pro  $n = 175 \text{ ot/min}$

Výsledná síla je stejně jako v oddíle 5.1 rovna součtu všech uvažovaných sil působících v mechanismu. Síla způsobená posuvními odpory je stejná jako v oddíle 5.1, její směr vlivem výšení rychlosti pohybu mení uvažována. Síla pružiny i tříková síla zůstaly stejné jako v oddíle 5.1, výrazně zmeny se projevily u dynamické sily. Velikost maximální bedny zrychlení zvedáku v jednotlivých fázích jeho pohybu lze vypočítat podle vztahu:

$$\alpha_2 = \left( \frac{\omega_2}{\omega_1} \right)^2 \cdot \alpha_1 \quad (83)$$

$\alpha_2$  = maximální bedna zrychlení zvedáku při  $n = 175 \text{ ot/min}$   
 $[\text{m} \cdot \text{s}^{-2}]$

$\omega_2$  = úhlová rychlosť pro  $n = 175 \text{ ot/min}$

$\alpha_1$  = maximální bedna zrychlení zvedáku při  $n = 125 \text{ ot/min}$   
 $[\text{m} \cdot \text{s}^{-2}]$

$\omega_1$  = úhlová rychlosť pro  $n = 125 \text{ ot/min}$

Při výpočtu byly uvažovány síly D, G,  $F_7$ ,  $F_p$ , v diagramech na obr. 18, 19 a 20 je síla G zanedbána.

Výsledná síla v první fázi pohybu zvedáku

Počle rovnice (82) platí:

$$D = 2,107,61953 = 130,535 \text{ N}$$

Dále platí:

$$F_{7g} = 186,314 \text{ N}$$

$$F_{7s} = 421,658 \text{ N}$$

$$F_p = 26,672 \text{ N}$$

$$\Theta = 3,677 \text{ N}$$

Průběh výsledné síly v celé prvé fázi pohybu je znázorněn na obr. 18. Výsledná síla nabude minimální hodnoty při natočení vačkového hřídele o úhel  $-15^\circ \equiv 345^\circ$ , kdy síla proštíny je  $P_7 = 186,314 \text{ N}$  a dynamická síla je nulová. Z rovnice (84) vyplývá:

$$P_{\min} = 216,663 \text{ N}$$

Maximální hodnoty nabude výsledná síla při natočení vačkového hřídele o úhel  $42,5^\circ$ , kdy síla proštíny je  $P_7 = 421,657 \text{ N}$  a dynamická síla je nulová. Užitím rovnice (84) dojde k výsledku:

$$P_{\max} = 452,007 \text{ N}$$

#### Výsledná síla ve druhé fázi pohybu

Podle rovnice (82) platí:

$$D = 2,298 \cdot 79,280 = 198,170 \text{ N}$$

Dále platí:

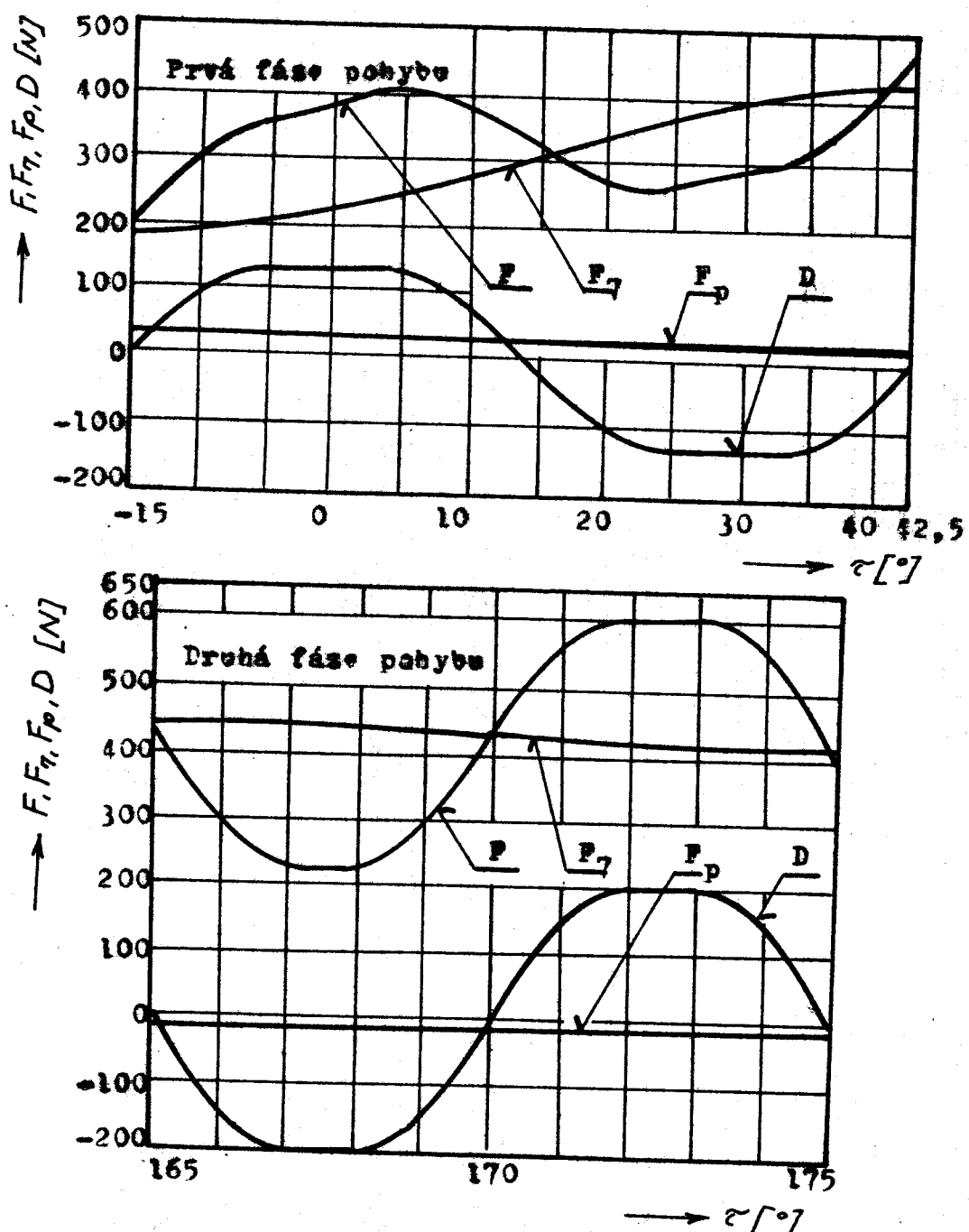
$$P_{7B} = 421,658 \text{ N}$$

$$P_{7E} = 411,852 \text{ N}$$

$$P_p = -10,787 \text{ N}$$

$$\Theta = 3,677 \text{ N}$$

Průběh výsledné síly v celé druhé fázi pohybu je znázorněn na obr. 18. Výsledná síla nabude minimální hodnoty při natočení vačkového hřídele o úhel  $168^\circ 20' \equiv 308^\circ$ , kdy síla proštíny je  $P_7 = 417,736 \text{ N}$  a dynamická síla je záporná. Z rovnice



Obr. 18-Diagram sil působících v prvé a druhé fázi pohybu dle dat pro  $n = 175$  ot/min

$\theta$  - úhel matočení vaškového hřídele,  $F$  - výsledná síla,  
 $F_g$  - síla gravitace,  $F_p$  - síla způsobená pasivními odporami,  
 $D$  - dynamická síla.

(84) vyplývá:

$$P_{\min} = 212,455 \text{ N}$$

Maximální hodnoty nabude výsledná síla při natočení vačkového hřídele o úhel  $171^{\circ}40'$ , kdy síla průšiny je

$$P_7 = 415,774 \text{ N a dynamická síla je kladná. Užitím rovnice}$$

(84) dojdeme k výsledku:

$$P_{\max} = 606,834 \text{ N}$$

#### Výsledná síla ve třetí fázi pohybu

Počle rovnice (82) platí:

$$D = 2,292 \cdot 62,292 = 143,147 \text{ N}$$

Dále platí:

$$P_{7g} = 421,658 \text{ N}$$

$$P_{7k} = 402,046 \text{ N}$$

$$P_p = -10,787 \text{ N}$$

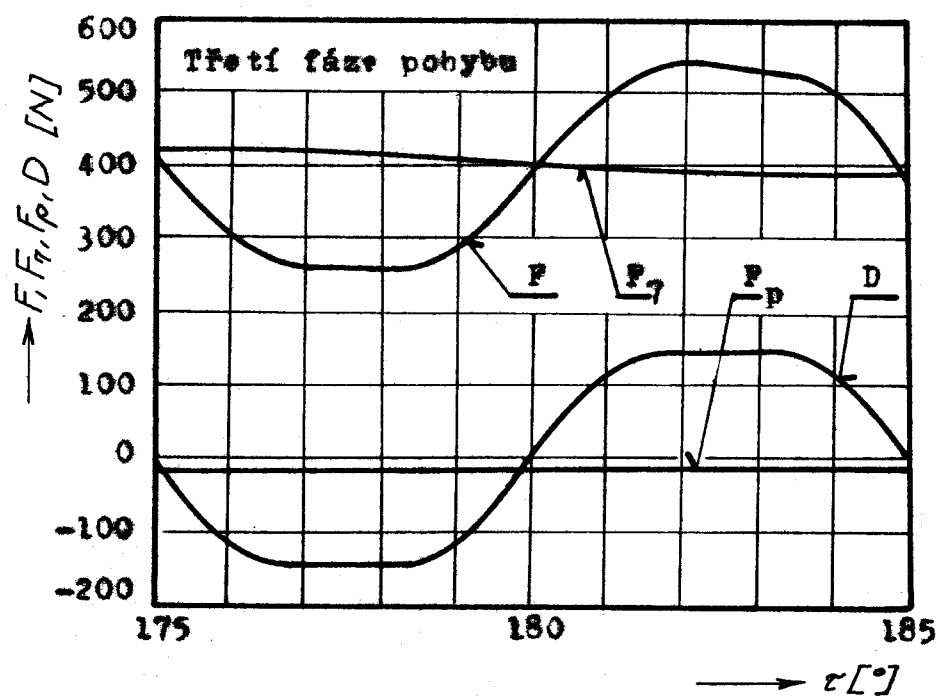
$$\Theta = 3,677 \text{ N}$$

Právě výsledné síly v celé třetí fázi pohybu je znázorněn na obr.19. Výsledná síla nabude minimální hodnoty při natočení vačkového hřídele o úhel  $177^{\circ}20'$ , kdy síla průšiny je  $P_7 = 407,968 \text{ N a dynamická síla je záporná. Z rovnice}$

(84) vyplývá:

$$P_{\min} = 257,672 \text{ N}$$

Maximální hodnoty nabude výsledná síla při natočení vačkového hřídele o úhel  $181^{\circ}40'$ , kdy síla průšiny je



Obr. 19-Diagram sil působících ve třetí fázi pohybu zvedáku pro  $n = 175 \text{ ot/min}$

$\tau$  = úhel natočení vačkového hřídele,  $F$  = výsledná síla,  $F_r$  = síla pružiny,  $F_p$  = síla způsobená pevnými odporami,  $D$  = dynamická síla

VŠST Liberec	Mechanické a přesáčení okruhu	KES
Fakulta strojní		1974 str.89

$P_7 = 405,968 \text{ N}$  a dynamická síla je kladná. Užitím rovnice

(84) dojde k výsledku:

$$P_{\max} = 552,792 \text{ N}$$

### Výsledná síla ve čtvrté fázi pohybu

Počle rovnice 82 platí:

$$D = 2,298 \cdot 155,715 = 367,833 \text{ N}$$

Dále platí:

$$P_{7a} = 402,046 \text{ N}$$

$$P_{7k} = 186,314 \text{ N}$$

$$P_p = -10,787 \text{ N}$$

$$G = 3,677 \text{ N}$$

Průběh výsledné síly v celé čtvrté fázi pohybu je znázorněn na obr. 20. Výsledná síla musí mít minimální hodnoty při natočení valčkového hřídele o úhel  $196^{\circ}40'$ , kdy síla protíná je  $P_7 = 366,880 \text{ N}$  a dynamická síla je záporná. Z rovnice (84) plyne:

$$P_{\min} = -8,063 \text{ N}$$

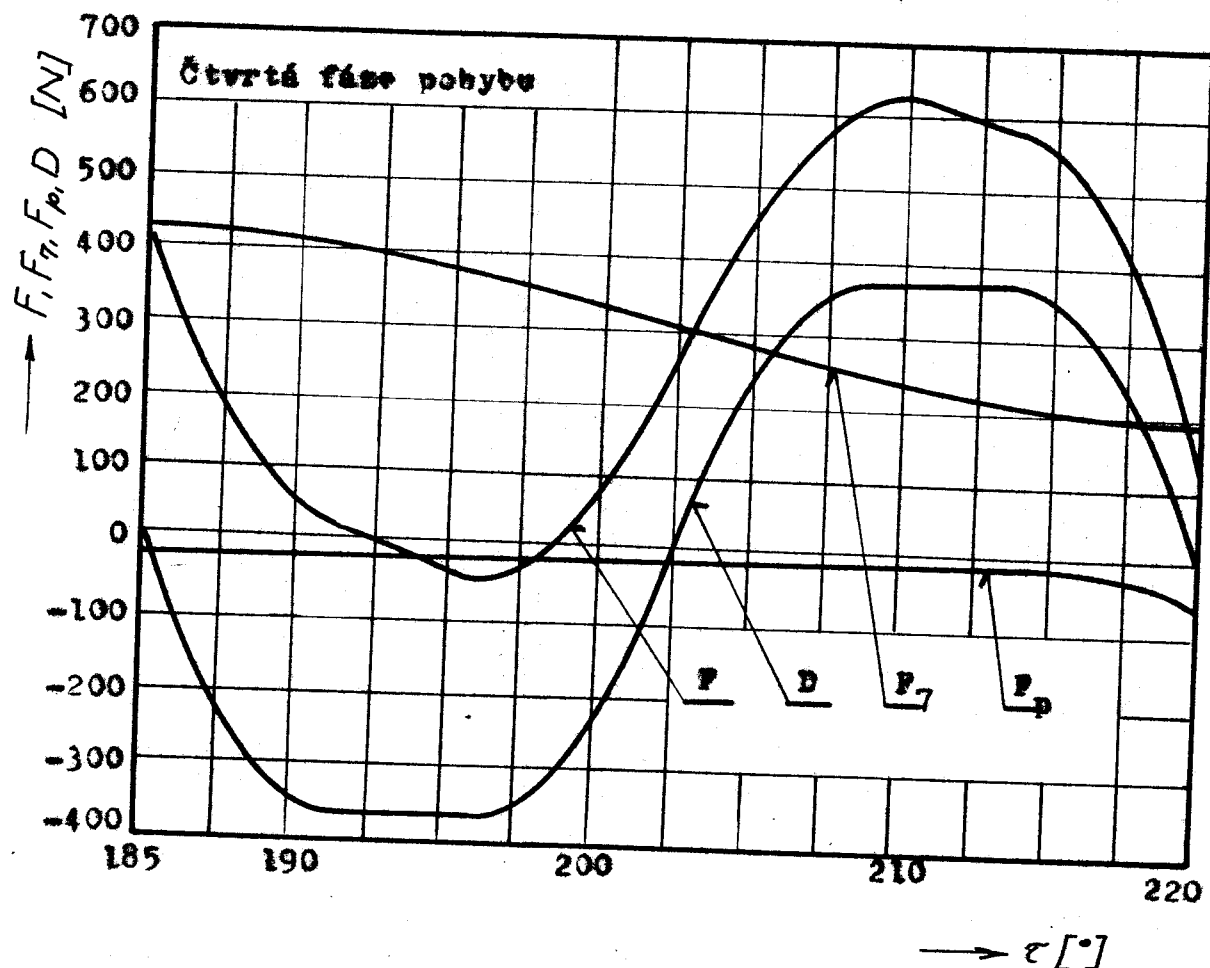
Maximální hodnoty mítude výsledná síla při natočení valčkového hřídele o úhel  $203^{\circ}20'$ , kdy síla protíná je

$P_7 = 273,392 \text{ N}$  a dynamická síla je kladná. Užitím rovnice

(84) dojde k výsledku:

$$P_{\max} = 630,498 \text{ N}$$

Je vidět, že na začátku čtvrté fáze pohybu dojde při natočení valčkového hřídele o úhel  $196^{\circ}40'$  k maximálnímu posunu



Obr.20-Diagram sítí působících ve čtvrté fázi pohybu zvedák  
ko pro  $n = 175$  ot/min

$\tau$  = úhel natočení wažkového hřídele,  $P$  = výsledná síla,  
 $P_7$  = síla prstiny,  $P_p$  = síla způsobená pevnými odpory,  
 $D$  = synemotická síla

točení vařkového hřídele o úhel  $196^{\circ}40'$  při otáčkách  $n = 175$  ot/min k odskočení kladky svědčku od obrysu vačky a tím k nařušení správné funkce mechanismu. Mechanismus k přetáčení skřipce by v popsaném konstrukčním provedení při zvýšení otáček vařkového hřídele na  $n = 175$  ot/min mohlo neskončit plynulé přetáčení skřipce. Vlivem odskočení kladky by došlo k deformaci závěšové funkce a tím i k jinému průběhu rychlosti a sryveklní svědčku, následně by také dojít k nežádoucímu rozkladání mechanismu.

#### 6.0 NÁVRH NOVÉHO MECHANISMU K PŘETÁČENÍ SKŘIPCE PRO

$$\underline{n = 175 \text{ ot/min}}$$

Počle obr.20 dochází při otáčkách  $n = 175$  ot/min k odskočení kladky svědčku mechanismu od obrysu vačky. Je nutno navrhnout mechanismus k přetáčení skřipce takový, aby odskokování kladky bylo vyloučeno. Množství konstrukčních úprav mechanismu je více. V této kapitole je v oddílu 6.1 popsaný návrh mechanismu s úpravou profilu, v oddílu 6.2 je navržen mechanismus s jiným uspořádáním členů, který je zobrazen na výkresu současné TK-00.0001, oddíl 6.3 pojednává o návrhu mechanismu s vložkou vaček v provedení s pružným členem, bez pružného člena a s jedním osubeným hřebenem.

### 6.1 Návrh mechanismu s úpravou průšip

Úprava průšip je jednou z možností, jak vyložit při otáčkách  $n = 175$  ot/min oštakování kladky svědáku od obrysu vačky. Systém dvou průšipů uspořádaných podle obr.5 na str.33 už nestačí zajistit dostatečný přítlač ve všech fázích pohybu svědáku. Uspořádáním průšipů podle obr.21 se dosáhne lepšího využití prosklicího prostoru a tím i podstatného snížení minimální síly průšipu jako celku při neplatném světění maximální síly a při zachování sítivého průšipu. Vzhledem k rozsahu práce nebylo možno provést kompletní výpočet systému průšipů. Uvedené hodnoty byly získány ve VÚTS v Liberci.

Vnější průšip:

$$D = 41 \cdot 10^{-3} \text{ m}$$

$$\delta = 4 \cdot 10^{-3} \text{ m}$$

$$n = 24$$

$$P_h = 206,010 \text{ N}$$

$$P_g = 151,012 \text{ N}$$

$$y_h = 135,69 \cdot 10^{-3} \text{ m}$$

$$y_g = 99,50 \cdot 10^{-3} \text{ m}$$

Sřední průšip:

$$D = 38 \cdot 10^{-3} \text{ m}$$

$$\delta = 3,15 \cdot 10^{-3} \text{ m}$$

$$n = 31$$

$$P_h = 132,381 \text{ N}$$

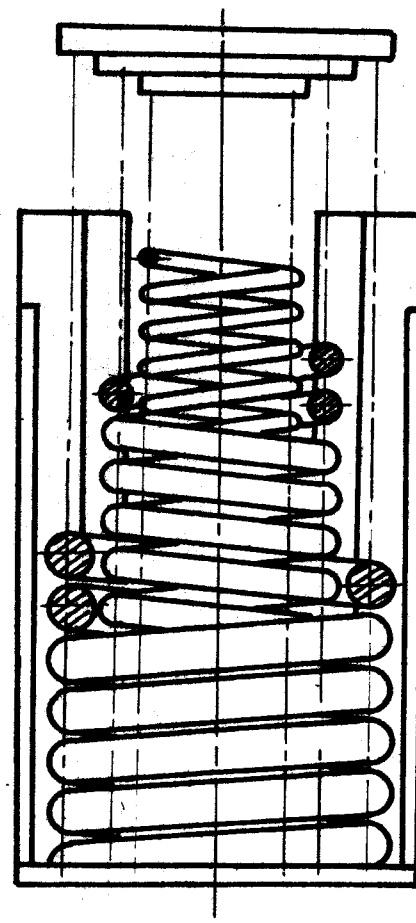
$$P_g = 94,726 \text{ N}$$

$$y_h = 126,63 \cdot 10^{-3} \text{ m}$$

$$y_g = 90,61 \cdot 10^{-3} \text{ m}$$

Vnitřní průšip:

$$D = 23 \cdot 10^{-3} \text{ m}$$



Obr. 21 - Uspořádání proužků v mechanismu k přetáčení skřipec podle odstílu 6.1

$$\vartheta = 2,5 \cdot 10^{-3} \text{ m}$$

$$n = 39$$

$$P_b = 88,254 \text{ N}$$

$$P_g = 58,836 \text{ N}$$

$$y_b = 109,33 \cdot 10^{-3} \text{ m}$$

$$y_g = 72,84 \cdot 10^{-3} \text{ m}$$

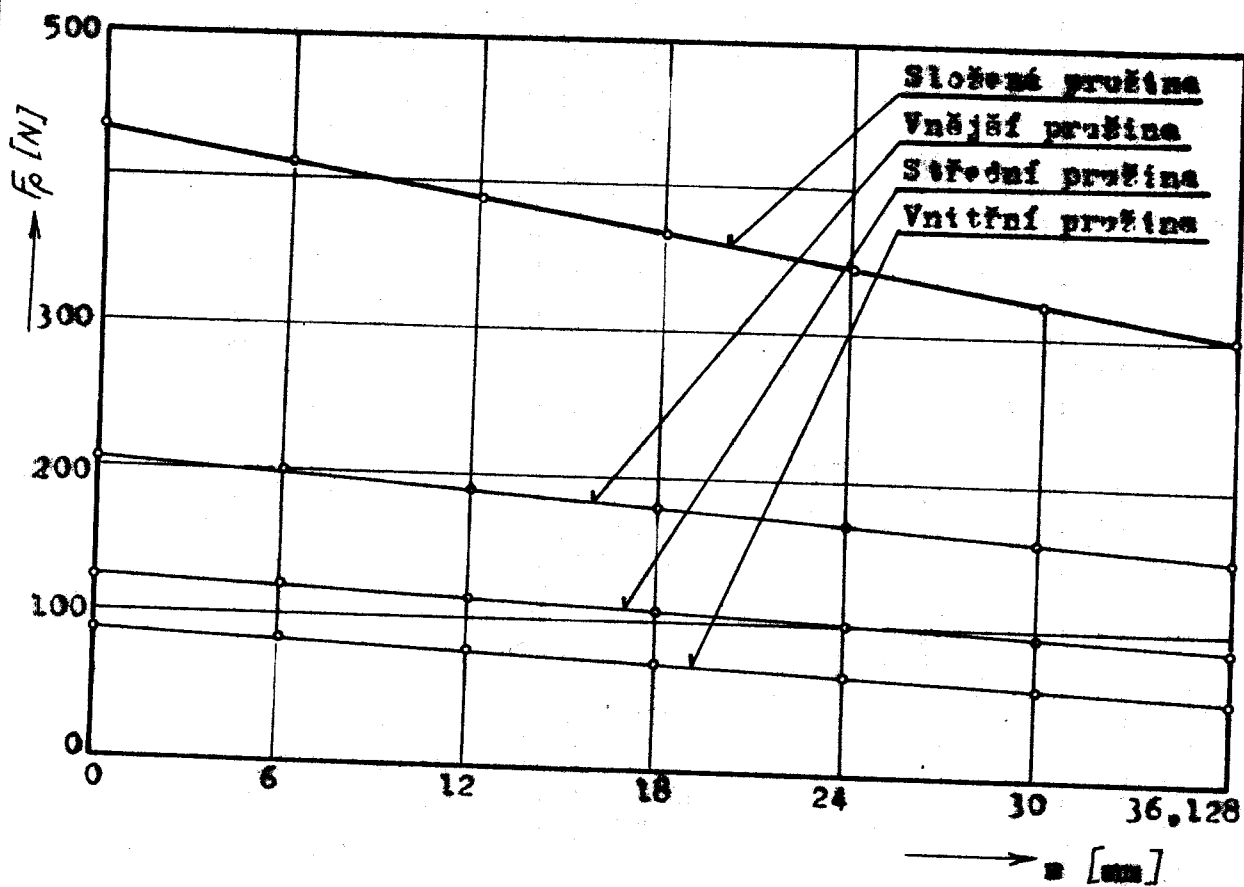
$D$  je vnitřní průměr proštiny,  $\vartheta$  je průměr drátku,  $n$  je počet činných závitů proštiny,  $P_b$  je maximální síla proštiny,  $y_b$  je deformace proštiny z volné délky pro maximální sílu proštiny,  $P_g$  je minimální síla proštiny,  $y_g$  je deformace proštiny z volné délky pro minimální sílu proštiny.

Pracovní diagram prošin je na obr. 22, hodnoty velikosti sil v závislosti na závitu prošiny jsou též uvedeny v tab. IV.

Proštiny jsou voleny tak, aby součin počtu činných závitů proštiny a průměru drátku proštiny byl u všech tří proštin konstantní a dále aby byl konstantní u všech tří proštin podíl průměru proštiny a průměru drátku. Při splnění těchto požadavků je maximální napětí při nulovém závitu sady prošin ve všech třech prošinách stejné /  $\sigma_b = 3,824 \cdot 10^6 \text{ Nm}^{-2}$  / a rovněž minimální napětí při maximálním závitu sady prošin je ve všech třech prošinách stejné /  $\sigma_g = 2,648 \cdot 10^6 \text{ Nm}^{-2}$  /. Síly jednotlivých prošin mají se k sobě jako kvítky průměru drátku.

Tab. IV - Charakteristiky pružin mechanismu podle odst. 6.1

Závit pružiny [mm]	0	9	18	27	36,128
Síla vnější pružiny [N]	206,010	191,241	178,498	164,755	151,012
Síla střední pružiny [N]	132,381	122,941	113,536	104,131	94,726
Síla vnitřní pružiny [N]	88,256	80,624	74,018	66,432	58,836
Celková síla pružin [N]	426,647	394,806	366,052	335,318	304,574



Obr. 22 - Pracovní diagram pružin mechanismu podle odst. 6.1

$F_p$  = síla pružiny,  $z$  = závit pružiny

Výsledná síla působící na zvěšák ve čtvrté fázi jeho  
pohybu při otáčkách n = 175 ot/min

Dynamická síla  $D$ , síla způsobená pasivními odporami  $P_p$ , maximální síla prožtiny ještě stejně jako v odbílu 5.2, minimální síla prožtiny je v důsledku úpravy jiná. Při výpočtu byly uvažovány síly jako v odbílu 5.2 / dynamická síla, síla způsobená pasivními odporami, síla prožtiny a tibová síla / , v diagramu na obr.23 je tibová síla zanedbána.

Počle rovnice (82) platí:

$$D = 2,298 \cdot 155,715 = 367,833 \text{ N}$$

Dále platí:

$$P_{7g} = 402,046 \text{ N}$$

$$P_{7s} = 304,574 \text{ N}$$

$$P_p = -10,787 \text{ N}$$

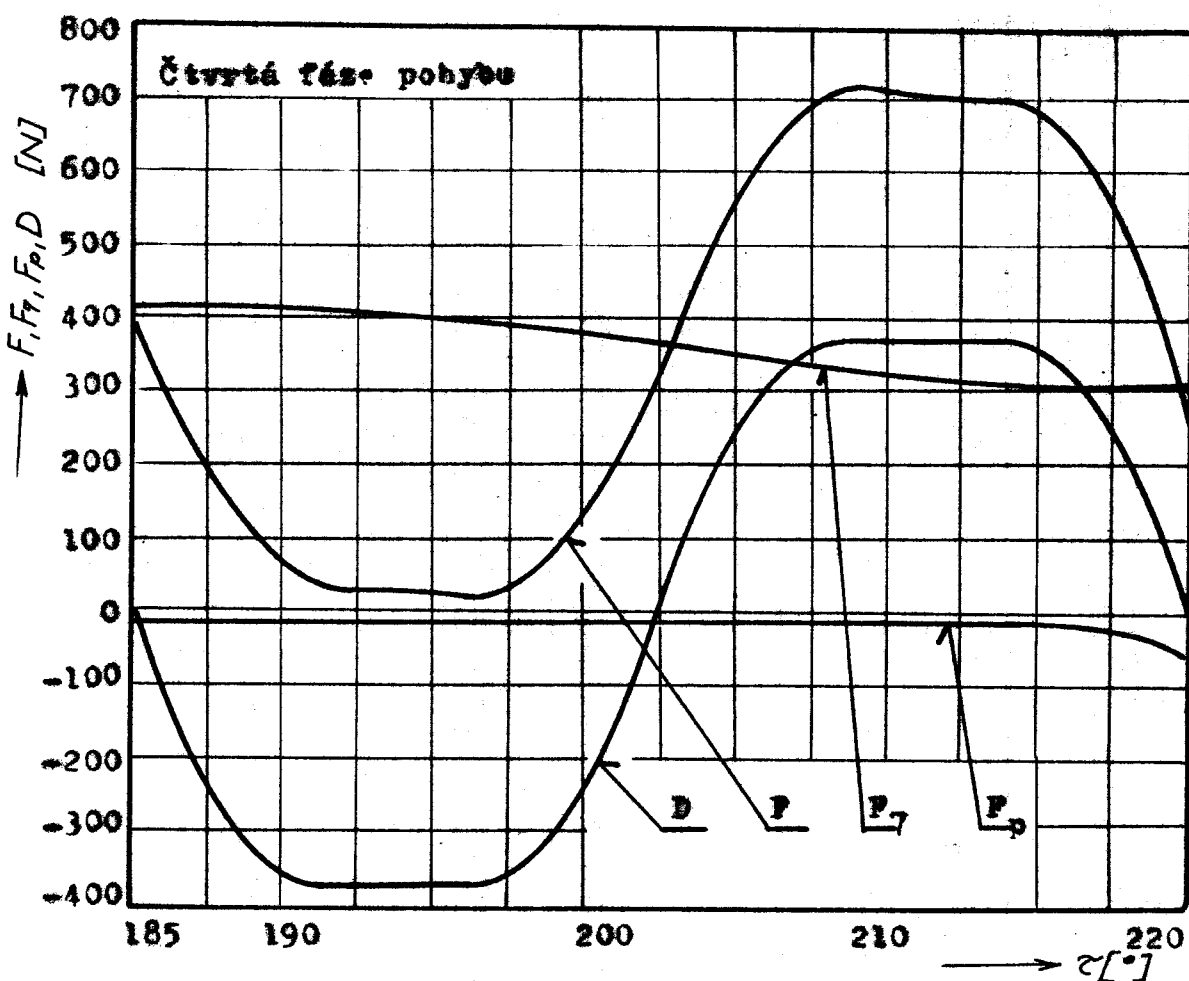
$$G = 3,677 \text{ N}$$

Změna tibové síly mechanizmu vlivem úpravy prožtin není uvažována. Průběh výsledné síly v celé čtvrté fázi pohybu je znázorněn na obr.23. Výsledná síla nebude minimální hodnoty při natočení vačkového hřídele o úhel  $196^{\circ}40'$ , kdy síla prožtiny je  $P_7 = 383,633 \text{ N}$  a dynamická síla je záporná.

Z rovnice (84) vyplývá:

$$P_{\min} = 8,690 \text{ N}$$

Maximální hodnoty nabude výsledná síla při natočení vačkového hřídele o úhel  $208^{\circ}20'$ , kdy síla prožtiny je  $P_7 = 341,098 \text{ N}$  a dynamická síla je kladná. Užitím rovnice



Obr.23-Diagram sil působících ve čtvrté fázi pohybu zavíracího mechanizmu podle čísla 6.1 pro  $n = 175$  ot/min

$\tau$  - úhel natočení valkového hřídele,  $P$  - výsledná síla,  $P_{\gamma}$  - síla průšmyky,  $P_p$  - síla společného pasivního odporu,  $D$  - dynamická síla

## (84) Sojeme k výsledku:

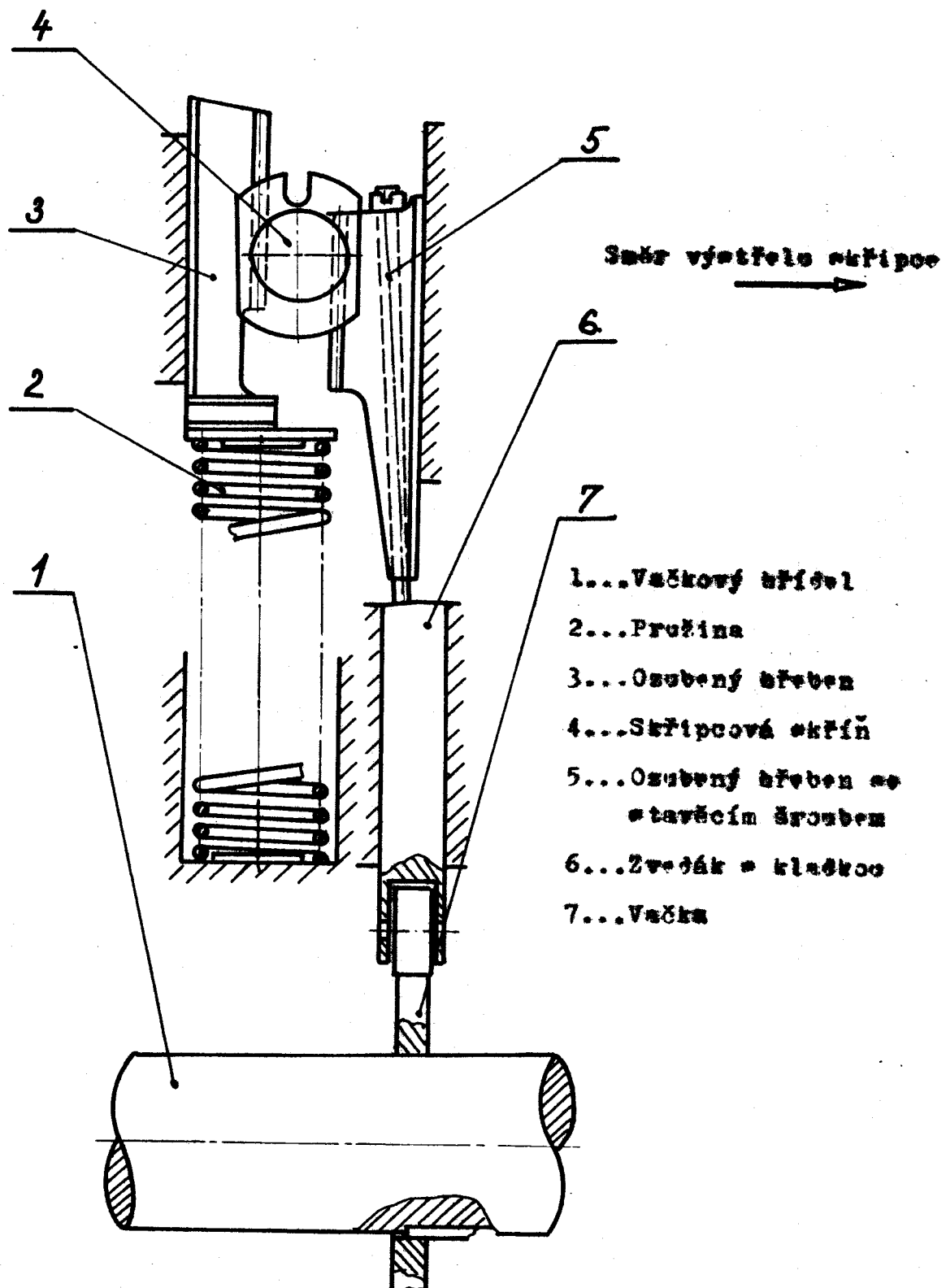
$$P_{max} = 701,821 \text{ N}$$

6.2 Následných mechanismu s jinou uspořádáním řídí mechanismy

Další možnosti, jak řešit problém odstekacího klesáky uspořádku se obrysu vrátky, je upravit mechanismus počle obr. 24. Pohyb uspořádku ve druhé, třetí a čtvrté fázi je nezajímavý a je odvozen od obrysu vrátky, pohyb v prvé fázi je najítětelný silou průštiny v provozní pozici obr.5 na str.33.

Počet výpočtu výrobních součástek vrátky takto upraveného mechanismu je shodný s výpočtem výrobních součástek vrátky počle oddílu 4.2 a 4.3. Předpokládá se stejný početních zrychlení uspořádku. Podle mohémát na obr.2 / str.23/ a na obr.24 je zložné, že obě vrátky sprostředkovávají tentýž pohyb a že vrátku navrhovaného mechanismu je negativní vrátky mechanismu původního. Výpočet výrobních součástek vrátky navrhovaného mechanismu byl proveden na samočinném počítači MINSK-22 v automatizačním oddílu na VŠST v Liberci zároveň s výpočtem výrobních součástek původního mechanismu. Počet výpočtu je uveden v oddílu 4.3. Výrobní součástek vrátky navrhovaného mechanismu je co uspořádány v tabulce, která uvádí čísly listů výrobního výkresu této vrátky. Výrobní výkres vrátky původního mechanismu má číslo TK-00.0002 , výrobní výkres vrátky navrhovaného mechanismu má číslo TK-00.9057.

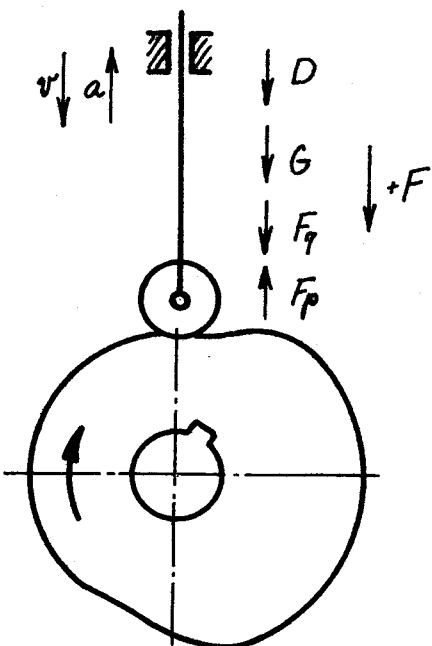
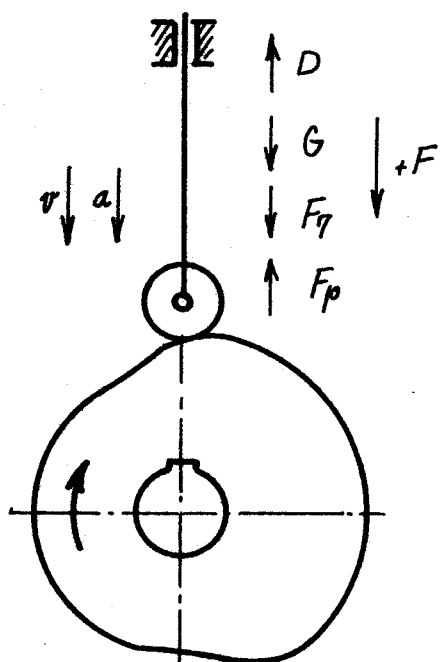
Při úpravě mechanismu ohledem k motorevé posáry mecha-



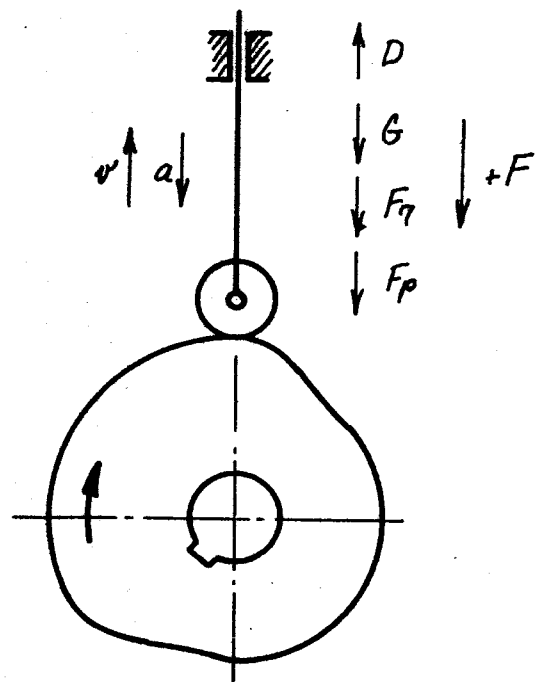
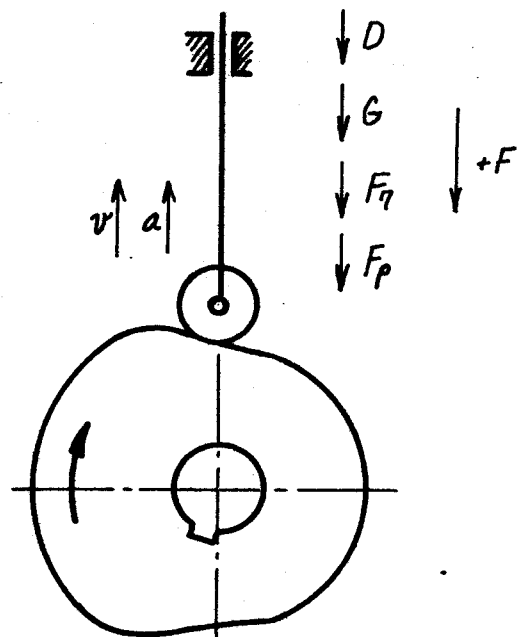
Obr.24-Schéma mechanismu k přetáčení skřipce podle oddílu 6.2

nismu a tím i tříková síla nezměněny, hodnoty dynamické síly budou stejně veliké jako hodnoty dynamické síly v oddílu 4.2.3.2., ale s opačným směrem. Hodnota síly způsobené pasivními odpory v prvé fázi pohybu svěráku při uspořádání mechanismu podle obr.24 je rovna hodnotě síly způsobené pasivními odpory v druhé, třetí a čtvrté fázi pohybu svěráku při uspořádání mechanismu podle obr.2, hodnota síly způsobené pasivními odpory v druhé, třetí a čtvrté fázi pohybu svěráku při uspořádání mechanismu podle obr.24 je rovna hodnotě síly způsobené pasivními odpory v prvé fázi pohybu svěráku při uspořádání mechanismu podle obr.2. Zvýšení této síly na konci čtvrté fáze pohybu svěráku bude stejně jako v oddílu 3.2. V tomto oddílu uvažujeme při výpočtu tytéž síly jako v kapitole 5, rovněž naměřené síly jsou stejné jako v kapitole 5. Hodnoty síly pružiny jsou uvedeny v oddílu 3.1, hodnoty síly způsobené pasivními odpory jsou uvedeny v oddílu 3.2.1 a 3.2.2, hodnoty tříkové síly jsou uvedeny v oddílu 3.3, hodnoty dynamické síly byly ujištěny v oddílu 5.2.

Po dobu změny smyslu rychlosti a zrychlení svěráku během jedné otáčky waškového kříže mohou nastat případy podle obr.25 a 26.



Obr. 25-Sily působící v mechanismu podle odstavce  
6.2 při pohybu bez skřipec



Obr. 26-Síly působící v mechanismu podle odst.

6.2 při pohybu se skřipcem

Výsledná síla působící na svedák mechanismu při otážce  
kotouček n = 175 ot/min v jednotlivých fázích jeho pohybu

Výsledná síla je rovna součtu všech uvažovaných sil působících v mechanismu.

Pořeď rovnice (84) platí:

$$P = D + G + P_T + P_p$$

$P$  = výsledná síla [N]

$D$  = dynamická síla [N]

$P_T$  = síla protíny [N]

$P_p$  = síla způsobená pasivními odpory [N]

$G$  = tibová síla [N]

Při výpočtu jsou uvažovány všechny svedené síly, v diagramech na obr.27, 28 a 29 je síla  $G$  zanedbána.

### Výsledná síla v prvé fázi pohybu

Pořeď rovnice (82) platí:

$$D = 2,107 \cdot 61953 = 130,535 \text{ N}$$

Dále platí:

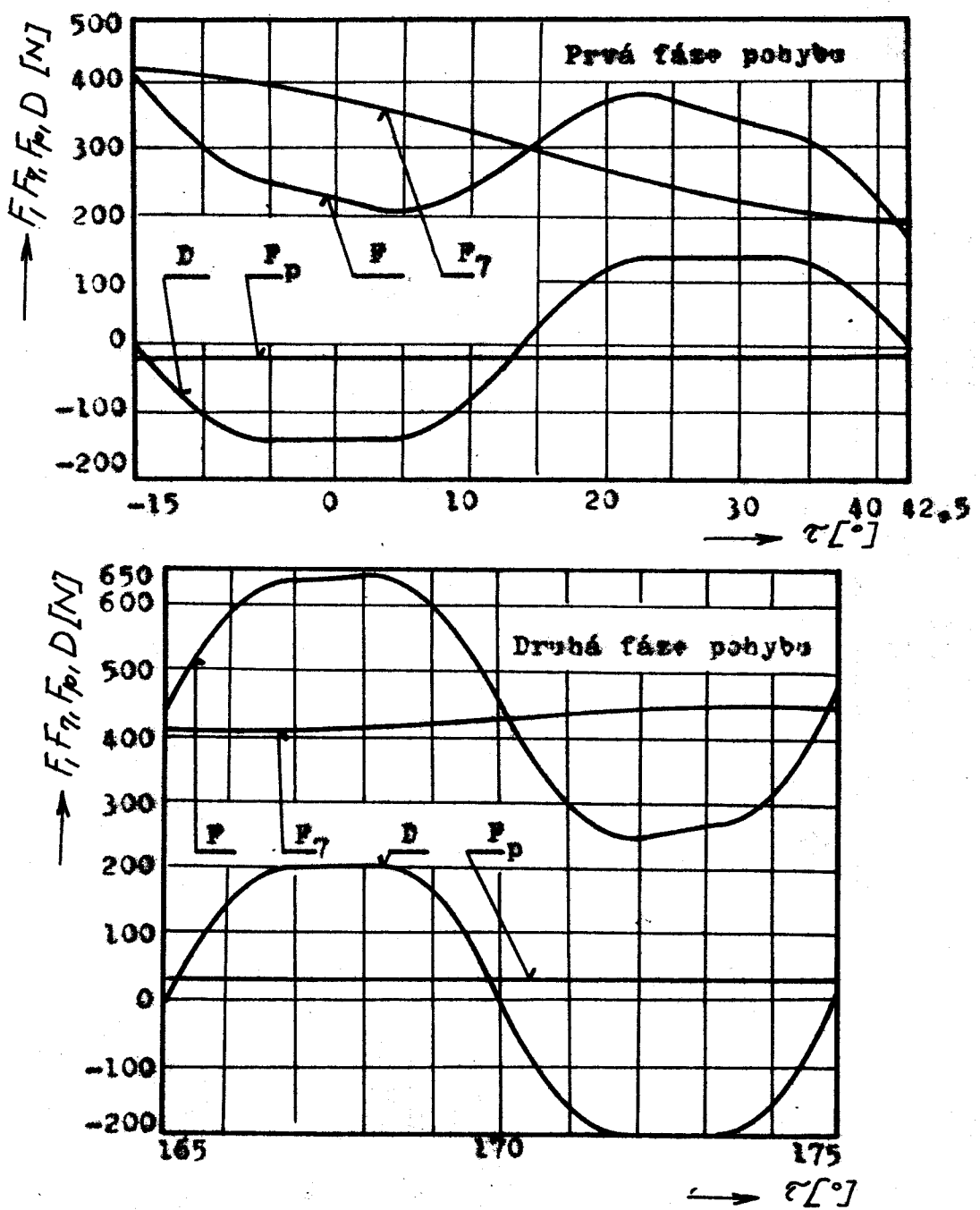
$$P_{T_0} = 421,658 \text{ N}$$

$$P_{T_K} = 186,314 \text{ N}$$

$$P_p = -10,767 \text{ N}$$

$$G = 3,677 \text{ N}$$

Průběh výsledné síly v celé prvé fázi pohybu je znázorněn na obr.27. Výsledná síla zazde minimum hodnoty při mezečení vzdkového hřídele o úhel  $42,5^\circ$ , kdy síla protíny



Obr. 27-Diagram síl působících v prvé a druhé fázi pohybu zvedáku v mechanizmu podle odkazu 6.2 pro  $n = 175$  ot/min

$\tau$  = úhel natačení večkového křídla,  $P$  = výklopná síla,  $P_\gamma$  = síla prohýby,  $P_p$  = síla způsobená posuvnímí odpory,  $D$  = dynamická síla

je  $P_{\gamma} = 186,314 \text{ N}$  a dynamická síla je nulová. Z rovnice (84) plyne:

$$P_{\text{mín}} = 179,204 \text{ N}$$

Maximální hodnoty nabude výsledná síla při matočení vačkového hřídele o úhel  $-15^\circ \equiv 345^\circ$ , kdy síla pružiny je  $P_{\gamma} = 421,658 \text{ N}$  a dynamická síla je nulová. Užitím rovnice (84) dojde k výsledku:

$$P_{\text{max}} = 414,546 \text{ N}$$

#### Výsledná síla v druhé fázi pohybu

Poře rovnice (82) platí:

$$D = 2,298 \cdot 79,280 = 198,170 \text{ N}$$

Dále platí:

$$P_{7a} = 411,852 \text{ N}$$

$$P_{7k} = 421,658 \text{ N}$$

$$P_p = 26,672 \text{ N}$$

$$G = 3,677 \text{ N}$$

Průběh výsledné sily v celé druhé fázi pohybu je znázorněn na obr.27. Výsledná síla nabude minimální hodnoty při matočení vačkového hřídele o úhel  $171^\circ 40'$ , kdy síla pružiny je  $P_{\gamma} = 417,736 \text{ N}$  a dynamická síla je záporná. Z rovnice (84) plyne:

$$P_{\text{mín}} = 249,915 \text{ N}$$

Maximální hodnoty nabude výsledná síla při matočení vačko-

VŠST Liberec	Mechanické a předávání energie	KTS
Fakulta strojní		1974 str. 106

věho břídele o úhel  $168^{\circ}20'$ , kdy síla pružiny je  
 $P_7 = 415,774 \text{ N}$  a dynamická síla je kladná. Užitím rovnice  
(84) dojdeme k výsledku:

$$P_{\max} = 644,293 \text{ N}$$

#### Výsledná síla v třetí fázi pohybu

Pořadí rovnice (82) platí:

$$D = 2,298 \cdot 62,292 = 143,147 \text{ N}$$

Dále platí:

$$P_{7z} = 402,046 \text{ N}$$

$$P_{7k} = 421,658 \text{ N}$$

$$P_p = 26,672 \text{ N}$$

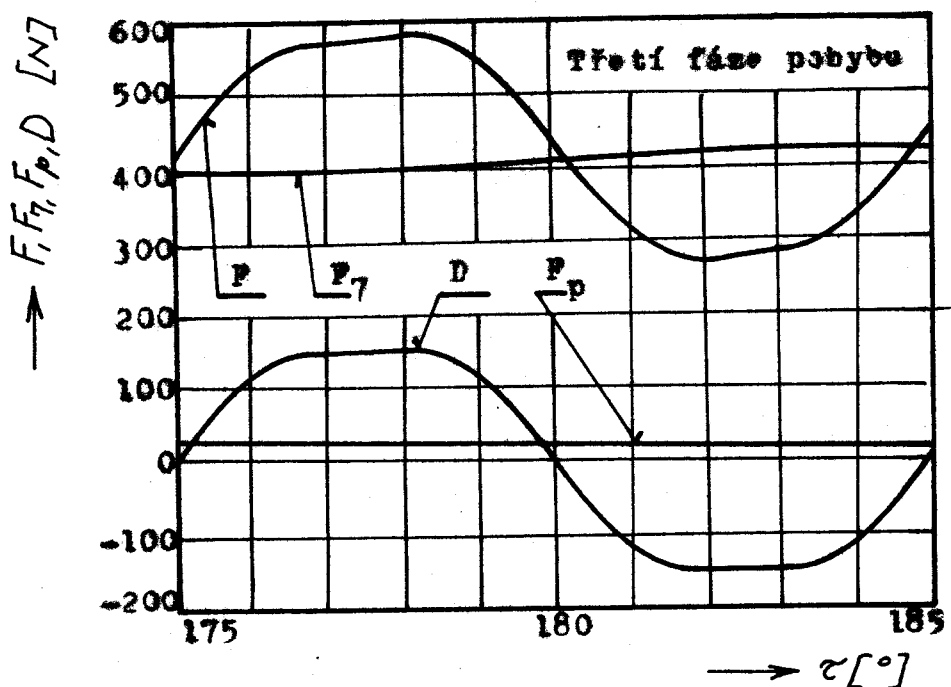
$$G = 3,677 \text{ N}$$

Průběh výsledné síly v celé třetí fázi pohybu je znázorněn na obr. 28. Výsledná síla nabude minimální hodnoty při natočení vačkového břídele o úhel  $181^{\circ}40'$ , kdy síla pružiny je  $P_7 = 405,968 \text{ N}$  a dynamická síla je záporná. Z rovnice (84) plyne:

$$P_{\min} = 293,170 \text{ N}$$

Maximální hodnoty nabude výsledná síla při natočení vačkového břídele o úhel  $177^{\circ}20'$ , kdy síla pružiny je  $P_7 = 407,968 \text{ N}$  a dynamická síla je kladná. Užitím rovnice (84) dojdeme k výsledku:

$$P_{\max} = 581,464 \text{ N}$$



Obr. 28-Diagram sil působících ve třetí fázi pohybu zvedáku mechanismu podle článku 6.2 pro  $n = 175 \text{ ot/min}$

$\tau$  = úhel natočení vačkového hřídele,  $F$  = výsledná síla,  $F_t$  = síla pružiny,  $F_p$  = síla způsobená pasivními odporu,  $D$  = dynamická síla

VŠST Liberec	Mechanické a přetáčení skřipce	ETS
Fakulta strojní		1974 str. 108

Výsledná síla ve čtvrté fázi pohybu

Po dle rovnice (82) platí:

$$D = 2,298 \cdot 155,715 = 367,833 \text{ N}$$

Dále platí:

$$P_{7g} = 186,314 \text{ N}$$

$$P_{7k} = 402,046 \text{ N}$$

$$P_p = 26,672 \text{ N}$$

$$G = 3,677 \text{ N}$$

Průběh výsledné síly v celé čtvrté fázi pohybu je znázorněn na obr. 29. Výsledná síla nabude minimální hodnoty při natočení vačkového břízku o úhel  $208^{\circ}20'$ , kdy síla proříznou je  $P_7 = 366,880 \text{ N}$  a dynamická síla je záporná. Z rovnice (84) vyplývá:

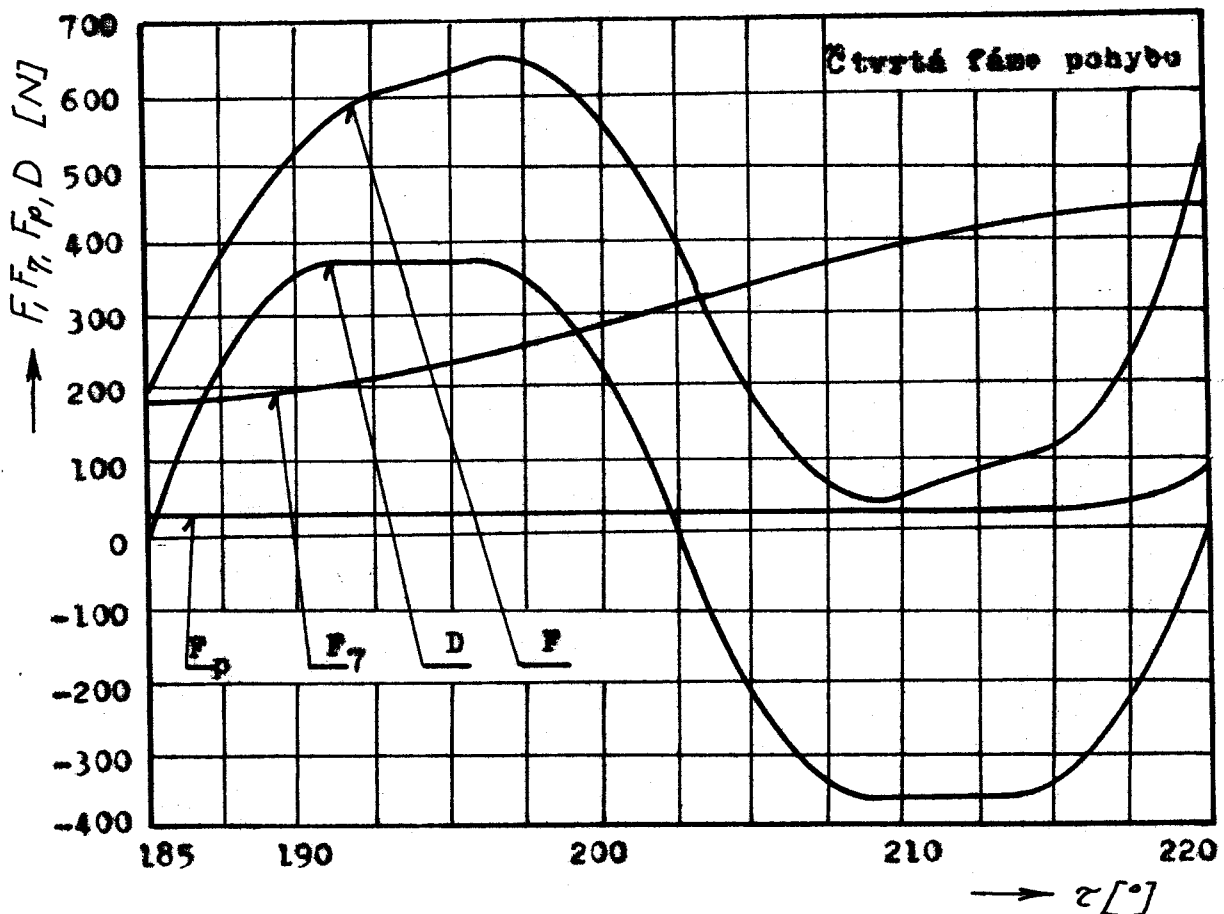
$$P_{\min} = 29,396 \text{ N}$$

Maximální hodnoty nabude výsledná síla při natočení vačkového břízku o úhel  $196^{\circ}40'$ , kdy síla proříznou je  $P_7 = 273,392 \text{ N}$  a dynamická síla je kladná. Užitím rovnice (84) dojde k výsledku:

$$P_{\max} = 671,574 \text{ N}$$

Z obr. 29 je zřejmé, že výsledná síla má kladnou hodnotu většinou celé čtvrté fáze pohybu zvedáku a že k odskočení klásky zvedáku nedojde ani při zvýšení otáček vačkového břízku na  $n = 175 \text{ ot/min.}$

Nevýhodou tohoto uspořádání je okutečnost, že výsledná



Obr.29-Diagram sil působících ve čtvrté fázi pohybu zvědáku v mechanismu podle oddílu 6.2 pro  $n = 175$  ot/min

$\tau$  = úhel natažení vrškového klíče,  $P$  = výsledná síla,  
 $P_7$  = síla pružiny,  $P_p$  = síla způsobená pravimí odporu,  
 $D$  = dynamická síla

VŠST Liberec	Mechanismus k přetáčení skřipce	KTS
Fakulta strojní		1974 str.110

ná výška na konci čtvrté fáze pohybu zvedáku varhátá a tím zmenšuje otáčení skřipcové skříně. Další nevyhodou je stabilita, že průzina nemá plnit funkci pojistného člena jako při vyměňání mechanismu podle obr.2 a v případě poruchy kolesové zárážky může dojít k poškození stroje vzhledem k tomu, že pohyb skřipcové skříně se skřipcem je nebezpečný, je odvozen od obrusu vačky. Funkci pojistky proti poškození dalších součástí stroje zajišťuje u stroje typu OK-3 plastické pouzdro skřipce, které při zahnání kolesové zárážky, kdy skřipec není úplně skryt ve skřipcové skříně a přitom dojde k otáčení skřipcové skříně, směrem proti a zabrání možné havárii.

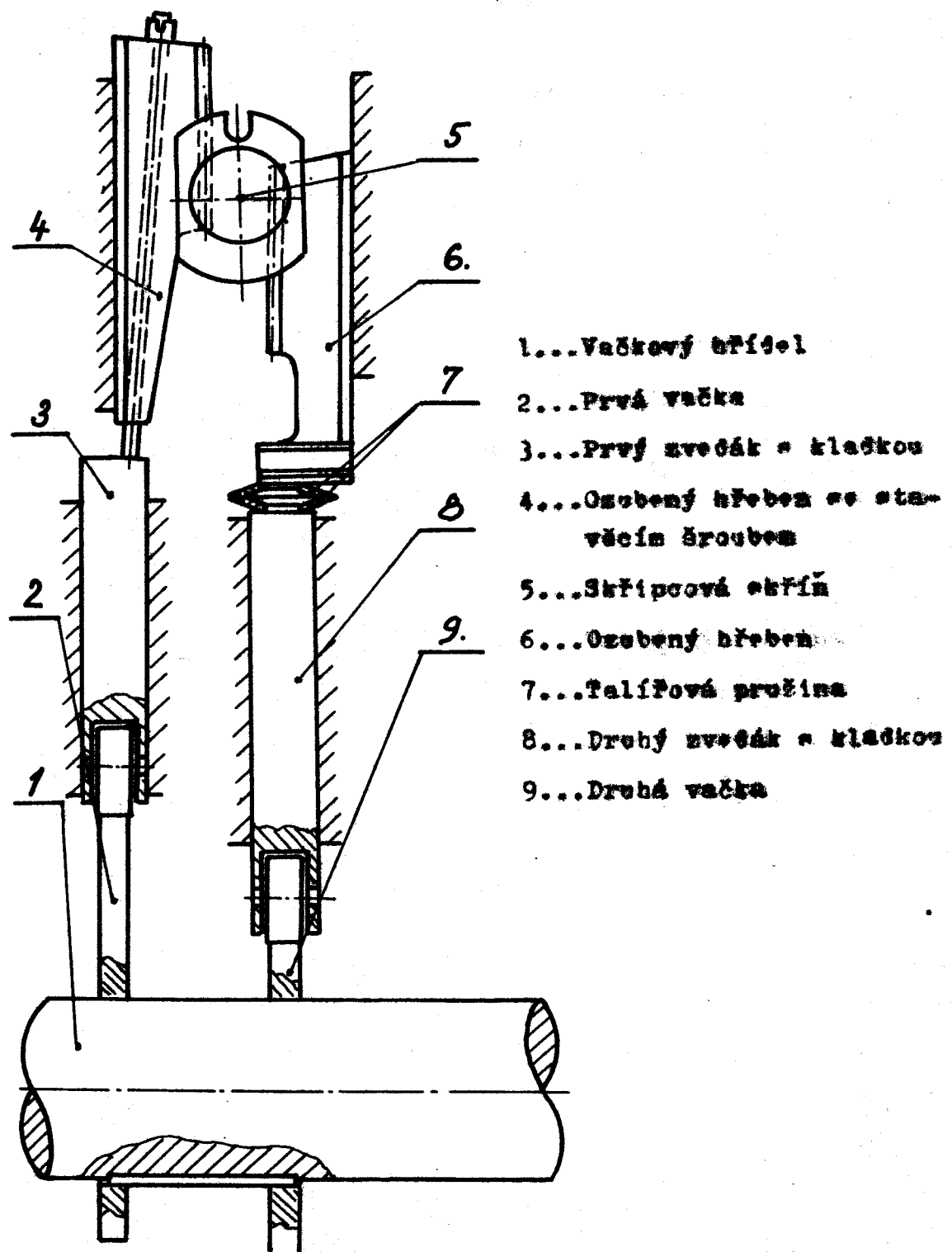
Návrh mechanismu podle odstílu 6.2 je konstrukčně zpracován na výkresu TK-00.0001. Protože tématem této práce je návrh mechanismu k přetáčení skřipce, je konstrukční provedení ostatních dílů stejně jako ve stávajících provedeních mechanismu. Při kreslení výkresu sestavení jsem využíval z výkresové dokumentace, která mi byla poskytnuta ve VÚTS v Liberci. K tomuto výkresu mě vedla i snaha opravit nedostatky tak, aby se mohl použít při mechanickém rozměru konzoly a bylo třeba zmínit co nejméně počet dílů. Výkres sestavení není kompletním výkresem sestavení, obklid je pouze s jedním listem, neboť pro sestavení násobku o číslosti jedna je mechanismus k přetáčení skřipce, tak mechanismu ostatních dílů dostačující přehled. Díly, které na tomto výkresu nejsou zobrazeny, ale o nichž se v textu jedná, jsou označeny.

### 6.3 Návrh mechanismu s dvojicí vaček

I tato úprava umožňuje využít nežádoucí odskakování kladky zvedáku od obrysu vačky. Otáčivý osyby skřípové skříně je z obou stran uzený, každý z osubených hřebenů je poháněn vačkou. Podle schématu na obr.30 je první vačka sbodná s vačkou mechanismu znázorněného na obr.2 a druhá vačka je sbodná s vačkou mechanismu znázorněného na obr.24.

#### 6.3.1 provedení s pružným členem

Schéma mechanismu je na obr.30. Taliřová pružina, která v mechanismu plní úlohu pružného člena, svou silou zajistuje vymezení výloží v zubech a odstraňuje prstí v materiálu vlivem tepelné roztážnosti. Dále má za úkol eliminovat výrobní nepřesnosti. Výhodou tohoto provedení ve srovnání se stávajícím provedením je, že zajistuje přesný průběh zvoleného zrychlení zvedáku bez ohledu na pracovní diagram pružiny, jehož tvar byl u provedení podle obr.2 i podle obr.24 rozhodující. Je nutno zajistit přesnost výroby vaček. Při najštětné přesné výrobě vaček mechanismu je možno mechanismus podle obr.30 použít i pro otáčky  $n = 175$  ot/min. Použití pružného člena se jeví jako jisté omezení dalšího zvyšování otáček stavu. Proto je výhodné mechanismus upravit podle oddílu 6.3.2.



Obr. 30-Schéma mechanismu k přetáčení skřipec  
 podle očtu 6.3.1

### 6.3.2 Přepínání bez prvního člena

Sobéma mechanismu je shodná se schématem na obr.30 s tím rozdílem, že pružný člen je vyrobán z mědi ozubeným břebrem a druhým zvěčákem je přímý styk. U této provedení lze teoreticky využívat otáčky mezi všechny mazacími. Rozhodujícími faktory jsou pevnost a životnost materiálu. Pohyb zvěčáků je ve všech čtyřech fázích meozaj, je odvozen od obrysu vaček. Na pevnost výroby mechanismu jsou však kladený ještě všechny požadavky než v oddílu 6.3.1.

Vále v zubech musí pastorkem skřipcové skříni a ozubenými břebeny musí být vymezena jiným způsobem, než tomu bylo u všech předchozích návrhů. Může být řešena např. radiálním přitiskem břebenů na pastorku. V praxi se však tohoto způsobu vymezení vále v zubech nepoužívá, vůli v zubech je vhodnější řešit např. tím, že na skřipcové skříni vyrábíme svouci ozubení, které je možno proti sobě relativně otáčet. Tento způsob vymezení vále je nasměšen na obr.31.

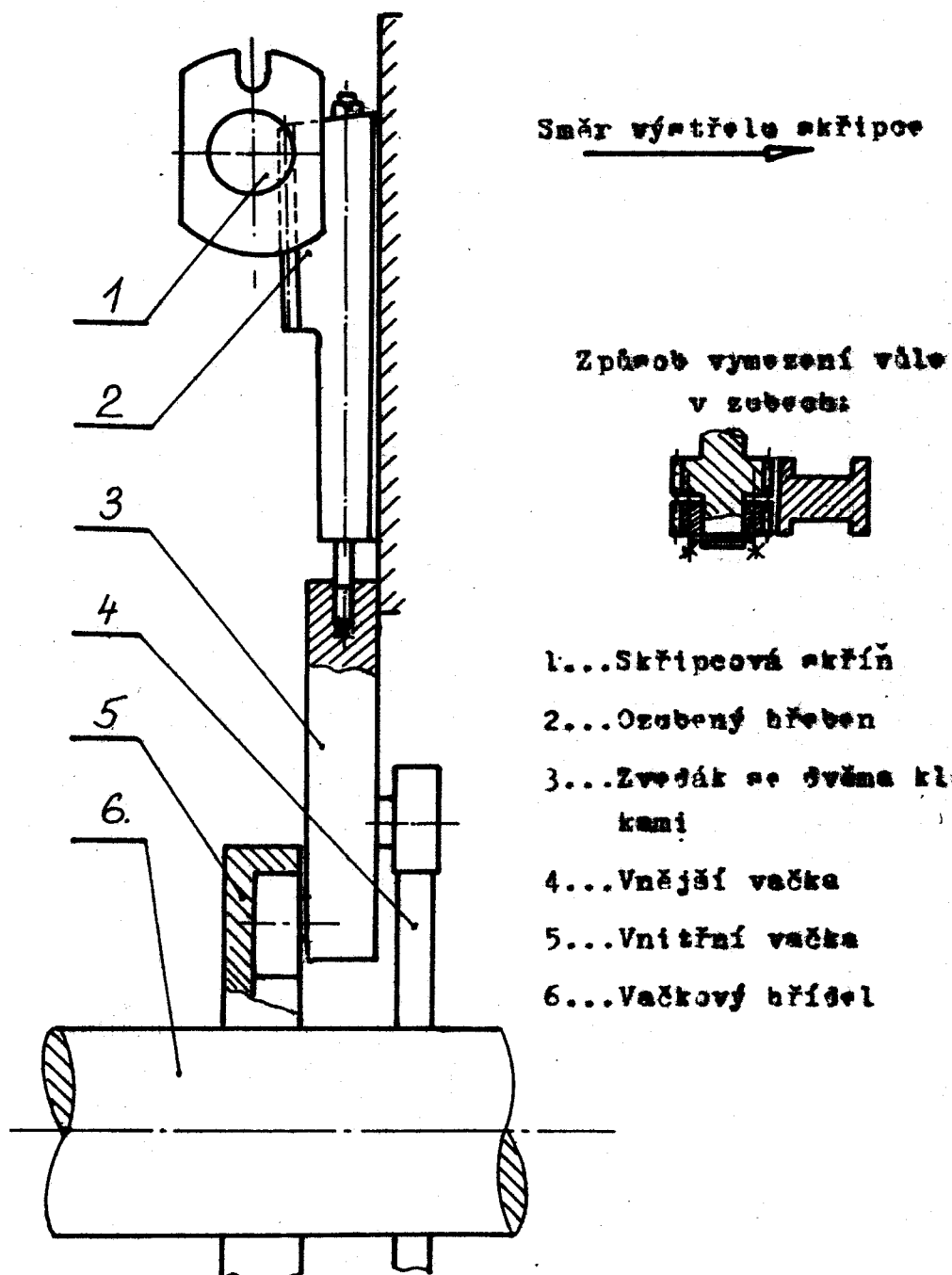
Nejde o žádoucí velké změny teploty, neboť v tom případě by docházelo k velkému vnitřnímu tlaku materiálu. Přenosnost výroby musí být vysoká. Při splnění všech požadavků není hodnota otáček vačkového břidla  $n = 175 \text{ ot/min}$  hodnotou konstantou. Zvýšení preciznosti výroby a splnění všech požadavků by však vedlo ke zkrácení mechanismu a tím i ke zkrácení celého stroje. Mimo to by si provedení mechanismu s dvojicí vaček vynutilo zásadně konstrukční komplikaci.

### 6.2.3 Provedení s jedním osubením hřebenem

Schéma mechanizmu je na obr.31. Skřipcová skříň má vratný otáčivý polohu vlivem přímočarého polohy osubeného hřebenu, zábírajícího s pastorkem skřipcové skříň. Na opačné části vařáku, který je pevně spojen se hřebenem, jsou dvě kladky odválející se po obrysu dveře vařáku, s nichž jedna je provedena jako vařka vnější, druhá jako vařka vnitřní. I s touto provedení je nutno upřesnit výrobu vařáku. Velmi důležité je vymezení výlo v zubech. Stejně jako v oddílu 6.2.2 je možno výlo v zubech vymezit vytvořením svojího osubení. Princip je zobrazen na obr.31. Proti hřebenku osubenému na hřeben je na pastorku dvě ústá osubená kola na skřipcové skříň, která se mohou proti sobě nazádat.

Výhodou téhoto provedení je menší tlak a tím i menší dynamická síla. Mechanismus je proveden bez průměrů členů a výroba všech součástí musí být velice přesná. Počet otáček vařkového hřebele je omezen počtem a životností materiálu.

Ani u mechanismu v provedení podle oddílu 6.2.3, ani u mechanismu v provedení podle oddílu 6.2.1 a 6.2.2 není proveden nízky rozbor. Tyto návrhy jsou přeloženy pouze v principu a vhodnost jejich použití by bylo třeba posrovnájet proskumat.



Obr.31-Schéma mechanismu k přetáčení skřipce podle  
souboru 6.3.3

7.0 ZÁVĚR

Při průsrování mechanismu k přetáčení skřipce na tkaném stave NOPAS OK-3 pracujícím ve VÚTS v Liberci jsou vycházel z materiálů, které mi byly ve VÚTS v Liberci poskytnuty.

Nejprve bylo nutno zjistit hmotové poměry mechanismu. Hmoty jednotlivých členů mechanismu byly zjištěny vážením, jak je uvedeno v oddílu 2.1, hmotota momentu odráženosti skřipcové struny byla získána pokusně, což je dokumentováno v oddílu 2.2. Výpočtem podle oddílu 2.2.3 byla hmotota momentu odráženosti skřipcové struny upřesněna. Na základě hmot získaných v celé kapitole 2 byla stanovena redukovaná hmota mechanismu. V oddílu 3.1 byla podle charakteristických hmot protin, zákoncích ve VÚTS v Liberci, stanovena síla protin v jednotlivých fázích pohybu zvědáku mechanismu k přetáčení skřipce, v oddílu 3.2 jsou uvedeny naměřené hodnoty síly způsobené povinnou odporu. Tíhové síly byly určeny v oddílu 3.3. Při zjištování hodnot kinematických veličin zvědáku byla <sup>použita</sup> graficko-počítací metoda, jejíž princip je popsán v oddílu 4.1. Z extrémních hodnot zrychlení zvědáku mechanismu v jednotlivých fázích jeho pohybu byly dále v oddílu 5.1 získány extrémní hodnoty dynamické síly v jednotlivých fázích pohybu zvědáku při otáčkách  $n = 125 \text{ ot/min}$  a v oddílu 5.2 při otáčkách  $n = 175 \text{ ot/min}$ . V kapitole 5 byla hodnocena

Symetrie mechanismu. Průběh výsledné síly působící na zvědák mechanismu je zobrazen na obr.16 a 17 pro  $n = 125 \text{ ot/min}$  a na obr.18, 19 a 20 pro  $n = 175 \text{ ot/min}$ . Extrémní hodnoty výsledné síly byly vypočítány podle rovnice (86). Při tom bylo zjištěno, že výsledná síla působící na zvědák mechanismu ve čtvrté fázi jeho pohybu při otáčkách  $n = 175 \text{ ot/min}$  vyjde podle rovnice (86) záporná a že mechanismus ve stávajícím provedení by nevykazoval pro  $n = 175 \text{ ot/min}$  správnou a bezchybnou činnost. V němž nejmálo záporné síly, tedy je při natočení vařkového křídla o úhel  $196^{\circ}40'$ , by došlo nejprve k odskočení kladky zvědáku od obrysu vařky a funkce mechanismu by byla nerušena. Proto byly v kapitole 6 blokovány možnosti, jak odskakování kladky od obrysu vařky při zvýšených otáčkách vlivem vyloučit.

Návrh mechanismu s úpravou protin., popsaný v oddílu 6.1, představuje snad nejjednodušší a nejlevnější úpravu. Zlepšení silevých poměrů oproti poslednímu v mechanismu ve stávajícím provedení je patrné z obr.23. V oddílu 6.2 je uveden návrh mechanismu s jiným uspořádáním členů mechanismu. Postup výpočtu výrobních souřadnic vařky tohoto mechanismu pro zvoleny průběh zrychlení zvědáku je shodný s postupem výpočtu výrobních souřadnic vařky popsaným v oddílech 4.2 a 4.3. Z porovnání zobénat na obr.2 a 24 je zřejmé, že obě vařky sprostřekovávají tentýž pohyb a že vařka novězeného mechanismu je negativní vařky mechanismu původního. Na samotném počítači MINSK-22 v automatačním středisku na VŠST v Liberci byly vypočítány výrobní souřad-

VŠST Liberec	Mechanismus k přetáčení skřípce	KTS
Fakulta strojní		1974 čís. 118

nic o všech valcích. Bloková schéma, počež nichž byly oba programy potřebné k výpočtu sestaveny, je na nákresu na obr. 12 a 13. Výrobní součástnice obou valců jsou uvedeny v tabulkách na druhém lístku výrobních výkresů valců TK-00.0002 a TK-00.9057. Na obr. 27, 28 a 29 jsou nákresy diagramy otl pohybů v jednotlivých fázích pohybu svěráku. Z nich je patrné, že mechanismus upravený podle oddílu 6.2 vyhoví i pro  $n = 175$  ot/min. Extrémní hodnoty výkonu otl pohybů na svěrák mechanismus jsou vyláštěny vypočítány. Návrh mechanismu podle oddílu 6.2 je konstrukčně upracován na výkres TK-00.0001. Mechanismus byl upravený tak, aby při jeho použití bylo třeba co nejméně zasahovat do konstrukce jiných článků, aby se rozměry konsoly měnily co nejméně. Při kreslení výkresu sestavení byla použita výkresová dokumentace, která mi byla ve VŠTS v Liberci způsobena. Výkres sestavení není kompletním výrobním výkresem sestavení, je pouze konstrukčním spracováním ideového návrhu mechanismu k přetáčení skřípce. Součásti, které nejsou zachyceny na výkresu, ale důležité je v kapitole 1 zmínka, jsou v textu označeny. V oddílu 6.3 jsou dále uvedeny návrhy mechanismu s dvojitou valcikou. Jsou předloženy pouze v principu, neboť detailní výpočet by si vyžádal mnohem více místa a času a způsobil by, že by bylo nutno znácně překročit stanovený rozsah práce. Vhodnost použití těchto mechanismů by bylo třeba podrobněji prozkoumat. U mechanismů s dvojitou valcikou v provedení bez průměrného člena je možno svařovat stáčky bez ohledu na vlastnosti proužků, což u návrhu podle oddílu 6.1

a 6.2 nebylo možné. U mechanismů podle oddílu 6.3.1 a 6.3.2 jsou úhly mezi osami provedené s normálními ve stínu kladkami a obrysy valček opačně orientovány, proto přesnost mechanismu bude větší. Velkou pozornost je třeba věnovat otázkám využení výlo v zátočkách. V původním návrhu mechanismu, který byl proveden s jedním osobeným segmentem, nebyla výlo v zátočkách vynesena a docházelo k rozklítání mechanismu. Ve svávajícím provedení mechanismu je výlo v zátočkách provedeno tak, že protina sejítkuje s osou silou styku výlo s oběma subvalčkovými bácky. Tento způsob je použit v oddílech 6.1, 6.2 a 6.3.1. V oddílech 6.3.2 a 6.3.3 je výlo v zátočkách provedena závojením osobení na skřipcové skříni. U mechanismů podle oddílu 6.3 je počet otáček limitován povolení a životností materiálu. Na přesnost výroby všech členů mechanismu jsou klásky vysoké nároky. Tím vzniká výhoda cena samotného mechanismu i cena celého stroje. Nevhodnou provedení mechanismů s dvojicí valček je nutnost mít mnoho konstrukčních dimenzí.

Už z této práce, která si stále nemálo klást nároky na úplnost, je zřejmé, že možnosti konstrukčních úprav mechanismu k předávání skřipce na řadícím stroji NOPAS OK-3 je více. Při volbě nejvhodnějšího návrhu mechanismu je nutné mít v úvahu cíle tohoto technické i ekonomické a co nejvhodnější je zákonit.

VŠST Liberec	Mechanismus k překládání skriptor	KTS
Fakulta strojní		1974 str. 120

SEZNAM POUŽITÉ LITERATURY

- [1] Charvát, J.: Teorie mechanismů. Skripta VŠST Liberec, 1970.
- [2] Košeřník, J.: Dynamika strojů. Praha, SNTL 1958.
- [3] Szabó, I.: Mechanika tuhých těles a kapalin. Praha, SNTL 1967
- [4] Němc, A.: Části strojů II. Praha, SNTL 1968.
- [5] Černoch, S.: Strojně technické příručka. Praha, SNTL 1968.
- [6] Závěrečná zpráva úkolu NOPAS. VUTS Liberec, 1972.

V Liberci dne 31.V.1974

Náčelník Bahník

2	Šroub M6x8	CSN 02 1103.22								85
4	Šroub M6x6	CSN 02 1143.52								86
3	Šroub M5x16	CSN 02 1143.52								87
2	Šroub M3x25	CSN 02 1143.52								88
2	Šroub M4x12	CSN 02 1131.22								89
1	Podložka 12x16	CSN 02 9310.7								90
6	Podložka 8,2	CSN 02 1740.02								91
1	Podložka 8,2	CSN 02 1740.07								92
5	Podložka 6,1	CSN 02 1740.02								93
7	Podložka 6,1	CSN 02 1740.07								94
1	Podložka 5,1	CSN 02 1740.02								95
2	Podložka 4,1	CSN 02 1740.02								96
1	Kroužek 17	CSN 02 2930								97
1	Kroužek 70x90x13	CSN 02 9401.2								98
1	Kroužek 100x3	CSN 02 9281.2								99
1	Kroužek 10x6	CSN 02 9280.1								100
1	Kroužek 65x55	CSN 02 9280.1								101

Pořad. číslo	Název - Rozměr	Položovat	Mat. konečný	Mat. výchozí	Průdu. odo.	Č. váha	Hr.váha	Číslo výkresu	Pos.
Požadánka									
Materiál	Kreslit prázdnou		Čís. sním.	Č. transp.	Celková čistá váha v kg				
—	Norm. ref.				Změna	Datum	Podpis	Index záhl.	
—	Vkl. projevnat	Schvádli			O			X	
		One	E			X			
			M			X			
			N			X			

VŠST Liberec	Typ Název	Skupina	Starý výkres	Nový výkres
PROHOZNÍ ZAPÍZENÍ			TK-K-00.0001	
			Pořad. číslo	5
			list	5

VŠST  
Liberec

## **PROHOZNÍ ZARIŽENÍ**

TK-K-00.0001

卷之三

<b>PROTOT</b>	<b>Scallop</b>	<b>Cla. 1977</b>	<b>Scallop</b>	<b>Cla. 1977</b>
<b>RECORDS</b>				
<b>Norm. ref.</b>				
<b>Yrs. projected</b>	<b>Schedule</b>	<b>C. Period</b>	<b>Schedule</b>	<b>C. Period</b>
	<b>One</b>	<b>1</b>		<b>One</b>

VŠST  
Liberec

## **PROHOZNÍ ZARIŽENÍ**

卷之三

TK-K-00.0001



FAZE	VÝROBNÍ SOUŘADNICE $\varphi \pm 30^\circ$ R ± 0,1	FAZE	VÝROBNÍ SOUŘADNICE $\varphi \pm 30^\circ$ R ± 0,1	FAZE	VÝROBNÍ SOUŘADNICE $\varphi \pm 30^\circ$ R ± 0,1
	189,30° 76,760		208, 95,831		226,30° 109,916
	190, 76,896		208,30° 96,545		227, 109,950
	190,30° 77,317		209, 97,248		227,30° 109,974
	191, 77,340		209,30° 97,937		228, 109,988
	191,30° 77,448		210, 98,611		228,30° 109,996
	192, 77,781		210,30° 99,268		229,34° 110,000-001
	192,30° 77,931		211, 99,908		347,30° 109,999
	193, 78,222		211,30° 100,529		348, 109,994
	193,30° 78,529		212, 101,131		348,30° 109,983
	194, 78,859		212,30° 101,713		349, 109,963
	194,30° 79,212		213, 102,275		349,30° 109,943
	195, 76,589		213,30° 102,816		350, 109,891
	195,30° 79,988		214, 103,338		350,30° 109,835
	196, 80,410		214,30° 103,838		351, 109,765
	196,30° 80,854		215, 104,317		351,30° 109,680
	197, 81,320		215,30° 104,776		352, 109,579
	197,30° 81,807		216, 105,215		352,30° 109,463
	198, 82,316		216,30° 105,634		353, 109,331
	198,30° 82,847		217, 106,032		353,30° 109,182
	199, 83,400		217,30° 106,411		354, 109,018
	199,30° 83,913		218, 106,769		354,30° 108,837
	200, 84,565		218,30° 107,108		355, 108,643
	200,30° 85,176		219, 107,427		355,30° 108,434
	201, 85,811		219,30° 107,726		356, 108,210
	201,30° 86,461		220, 108,005		356,30° 107,971
	202, 87,129		220,30° 108,265		357, 107,719
	202,30° 87,812		221, 108,506		357,30° 107,454
	203, 88,510		221,30° 108,726		358, 107,175
	203,30° 89,220		222, 108,925		358,30° 106,885
	204, 89,941		222,30° 109,106		359, 106,582
	204,30° 90,671		223, 109,269		359,30° 106,268
	205, 91,407		223,30° 109,412		360, 105,942
	205,30° 92,148		224, 109,538		
	206, 92,891		224,30° 109,645		
	206,30° 93,634		225, 109,735		
	207, 94,373		225,30° 109,810		
	207,30° 95,107		226, 109,870		

Pořadí kusu	Název - Rozměr	Poločovací	Mat. konečný	Mat. výchozí	Tloušťka odo...	Č. výroby	Hr. výroby	Číslo výkresu	Pos.	
Poznámka	Celková čistá váha v kg								57	
Měřítko	Kresil <i>Bahnač V.</i>		Čís. sním.	Č. transp.	0				x	
	Prezkoušel				=					x
	Norm. ref.				+					x
	Výr. projeval	Schválil			-					x
		Dne			Z			x		
					m			x		
					n			x		
					t			x		
					z			x		
VŠST	Typ	Skupina	Starý výkres	Nový výkres						
Liberec	Název									
VAČKA										
PŘETÁČENÍ SKŘIPCE										
			Počet listů 2	TK-00.9057						

FÁZE	VÝROBNÍ SOUTĚDNICE $\varphi \pm 30''$	$R \pm 0,1$	FÁZE	VÝROBNÍ SOUTĚDNICE $\varphi \pm 30''$	$R \pm 0,1$	FÁZE	VÝROBNÍ SOUTĚDNICE $\varphi \pm 30''$	$R \pm 0,1$
				25°	82,852		50°	73,891
	0°	105,942		25° 30'	82,470		50° 30'	73,883
	0° 30'	105,604		26°	82,097		51°	73,877
	1°	105,256		26° 30'	81,733		51° 30'	73,874
	1° 30'	104,897		27°	81,378		52°	73,873
	2°	104,527		27° 30'	81,031		$52^{\circ}30' \pm 0,7^{\circ}$	$73,872 \pm 0,01$
	2° 30'	104,147		28°	80,695		167° 30'	73,878
	3°	103,758		28° 30'	80,367		168°	73,906
	3° 30'	103,358		29°	80,048		168° 30'	73,968
	4°	102,949		29° 30'	79,738		169°	74,047
	4° 30'	102,529		30°	79,437		169° 30'	74,158
	5°	102,100		30° 30'	79,044		170°	74,296
	5° 30'	101,663		31°	78,860		170° 30'	74,454
	6°	101,217		31° 30'	78,584		171°	74,622
	6° 30'	100,762		32°	78,317		171° 30'	74,793
	7°	100,300		32° 30'	78,059		172°	74,925
	7° 30'	99,829		33°	77,809		172° 30'	75,042
	8°	99,351		33° 30'	77,567		173°	75,134
	8° 30'	98,866		34°	77,333		173° 30'	75,201
	9°	98,375		34° 30'	77,108		174°	75,244
	9° 30'	97,878		35°	76,890		174° 30'	75,266
	10°	97,375		35° 30'	76,681		175°	75,272
	10° 30'	96,877		36°	76,480		175° 30'	75,272
	11°	96,355		36° 30'	76,287		176°	75,278
	11° 30'	95,840		37°	76,102		176° 30'	75,296
	12°	95,321		37° 30'	75,926		177°	75,329
	12° 30'	94,800		38°	75,757		177° 30'	75,377
	13°	94,277		38° 30'	75,596		178°	75,441
	13° 30'	93,753		39°	75,442		178° 30'	75,518
	14°	93,228		39° 30'	75,297		179°	75,610
	14° 30'	92,709		40°	75,162		179° 30'	75,713
	15°	92,181		40° 30'	75,033		180°	75,822
	15° 30'	91,660		41°	74,891		180° 30'	75,930
	16°	91,142		41° 30'	74,797		181°	76,031
	16° 30'	90,627		42°	74,691		181° 30'	76,119
	17°	90,115		42° 30'	74,592		182°	76,194
	17° 30'	89,609		43°	74,501		182° 30'	76,255
	18°	89,107		43° 30'	74,417		183°	76,303
	18° 30'	88,611		44°	74,340		183° 30'	76,337
	19°	88,122		44° 30'	74,270		184°	76,359
	19° 30'	87,639		45°	74,217		184° 30'	76,369
	20°	87,163		45° 30'	74,151		185°	76,372
	20° 30'	86,695		46°	74,101		185° 30'	76,372
	21°	86,234		46° 30'	74,057		186°	76,375
	21° 30'	85,781		47°	74,018		186° 30'	76,385
	22°	85,336		47° 30'	73,986		187°	76,405
	22° 30'	84,900		48°	73,858		187° 30'	76,439
	23°	84,473		48° 30'	73,935		188°	76,489
	23° 30'	84,054		49°	73,916		188° 30'	76,559
	24°	83,645		49° 30'	73,902		189°	76,648
	24° 30'	83,244						

$\alpha_1$

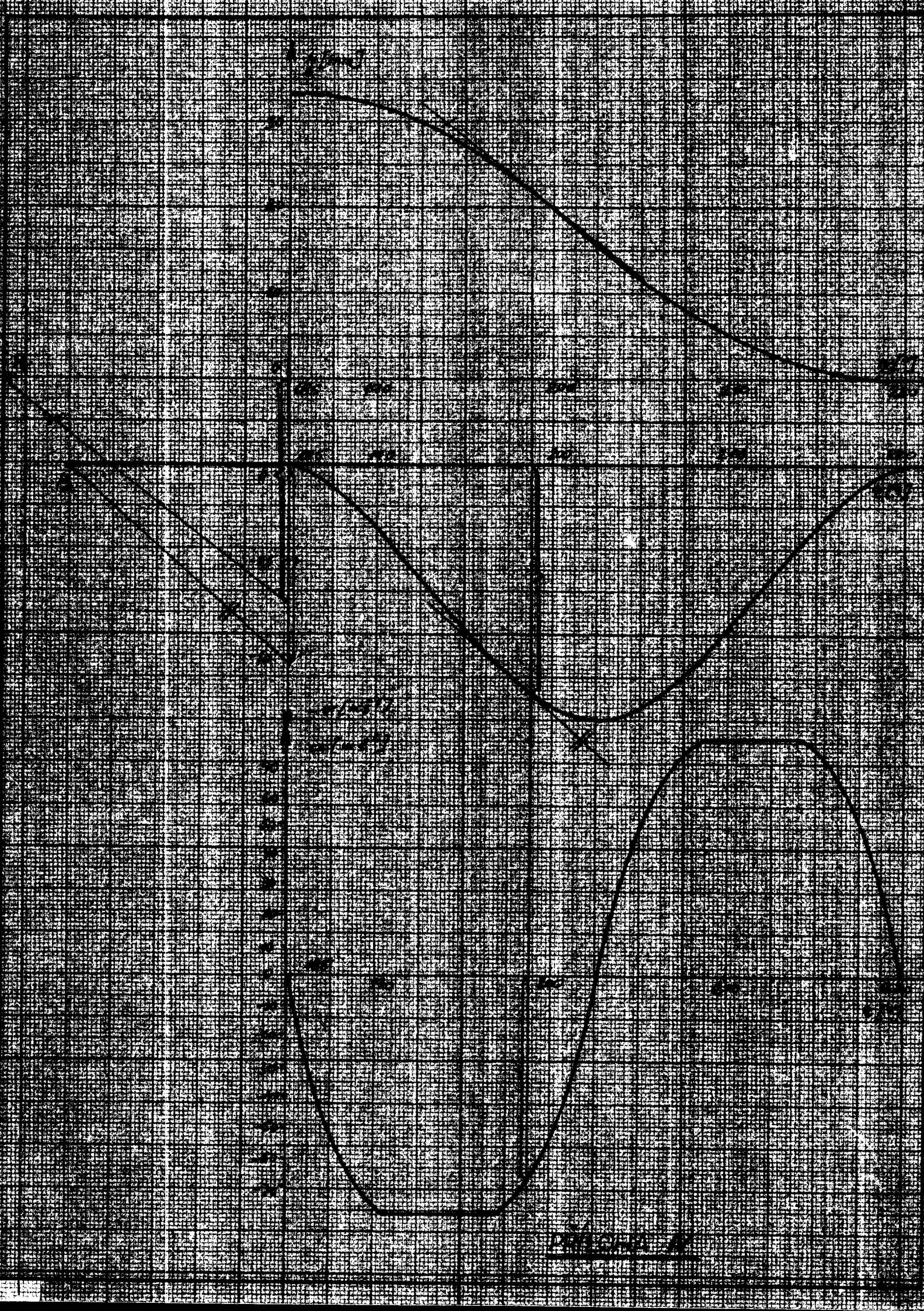
$\alpha_1$

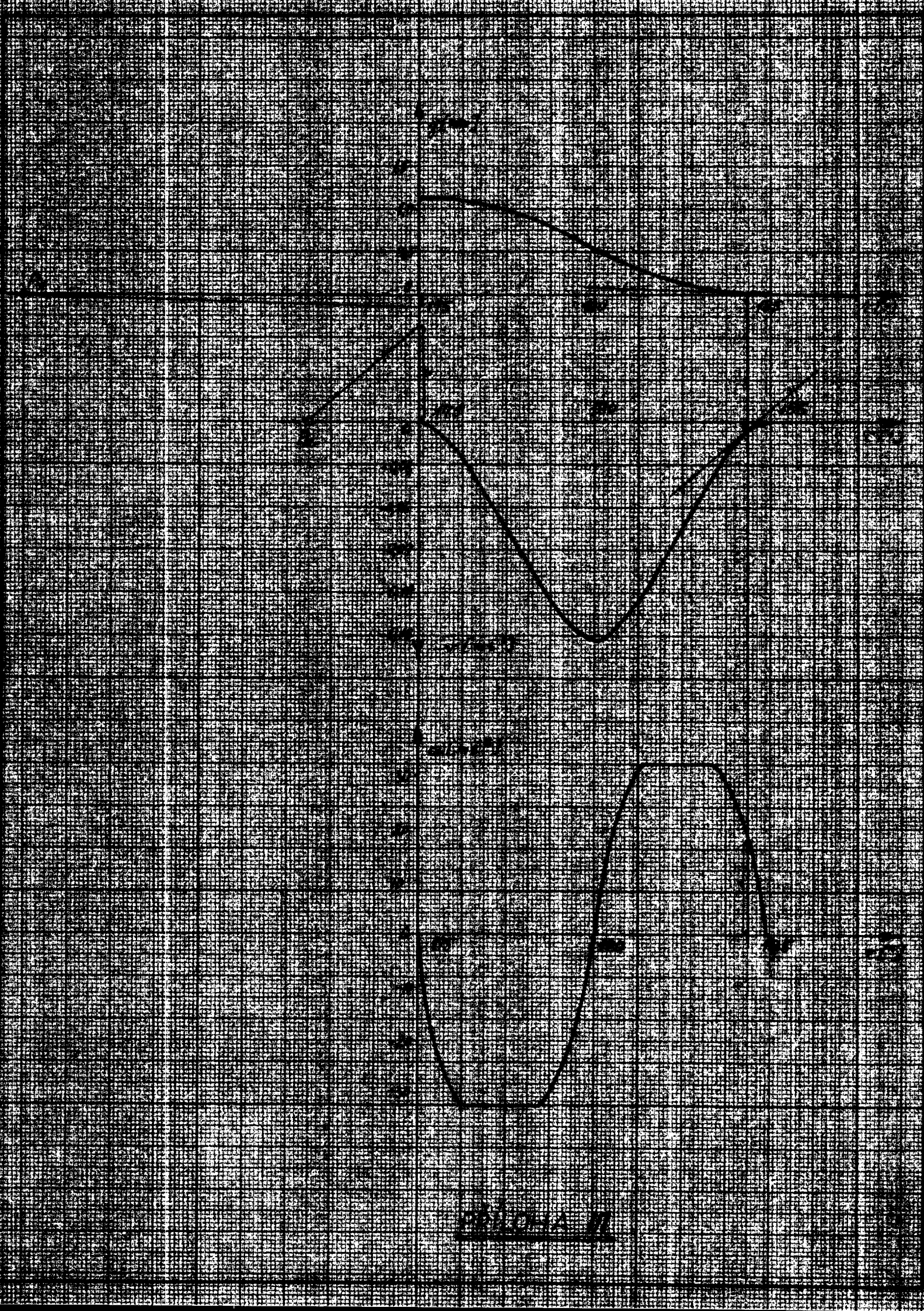
$\alpha_5$

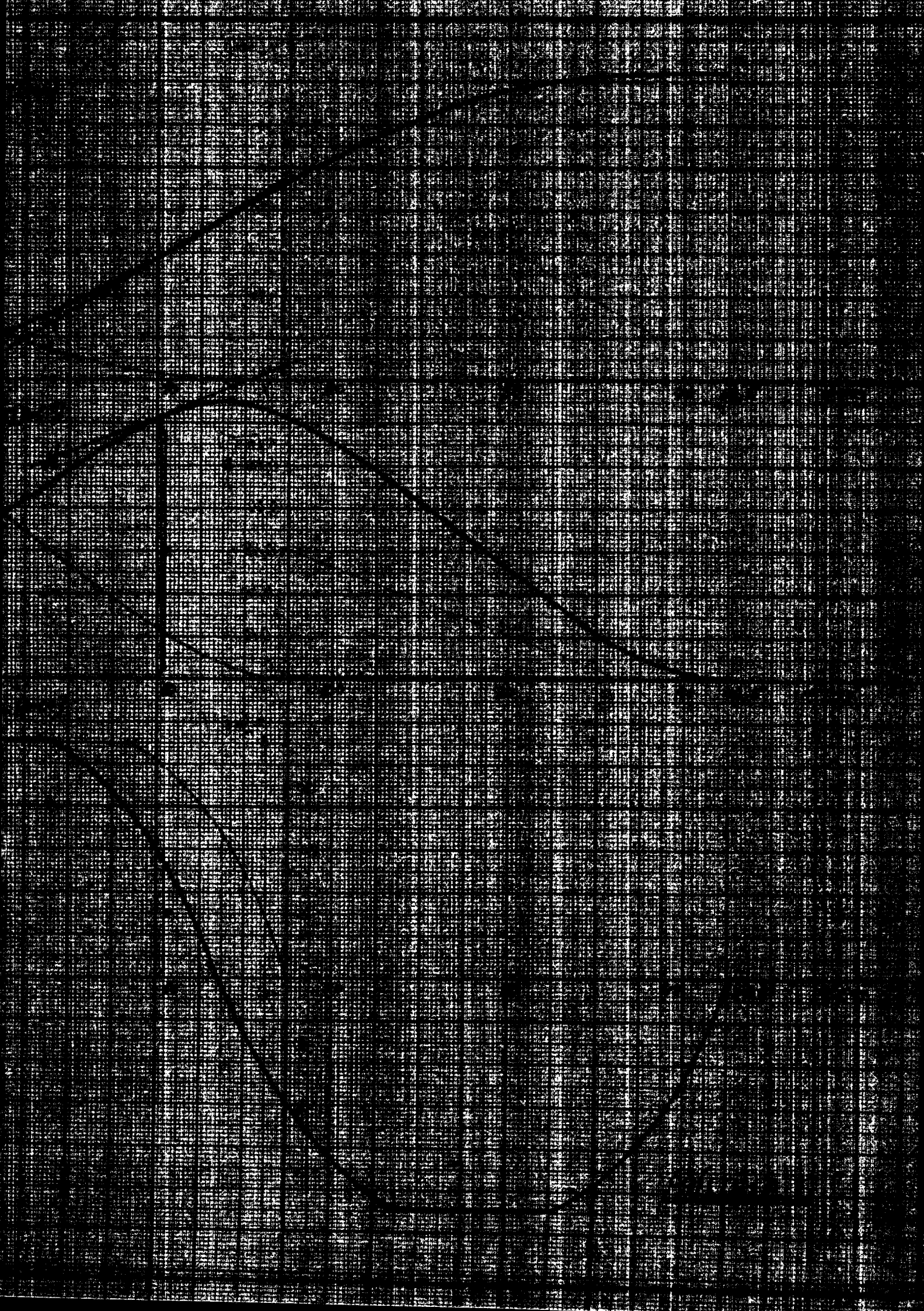
ZE	VÝROBNÍ SOUŘADNICE $\varphi \pm 30''$ $R \pm 0,1$	FÁZE	VÝROBNÍ SOUŘADNICE $\varphi \pm 30''$ $R \pm 0,1$	FÁZE	VÝROBNÍ SOUŘADNICE $\varphi \pm 30''$ $R \pm 0,1$
	189° 30' 107,112		208° 88,041		226° 30' 73,956
	190° 106,976		208° 30' 87,327		227° 73,922
	190° 30' 106,555		209° 86,624		227° 30' 73,898
	191° 106,532		209° 30' 85,935		228° 73,884
	191° 30' 106,424		210° 85,261		228° 30' 73,876
	192° 106,191		210° 30' 84,604	$\alpha_5$	$\alpha_6$ 229° $\pm 347^\circ$ 73,872 $\pm 0,01$
	192° 30' 105,933		211° 83,964		347° 30' 73,873
	193° 105,650		211° 30' 83,343		348° 73,878
	193° 30' 105,343		212° 82,741		348° 30' 73,889
	194° 105,013		212° 30' 82,159		349° 73,909
	194° 30' 104,660		213° 81,597		349° 30' 73,939
	195° 104,283		213° 30' 81,056		350° 73,981
	195° 30' 103,884		214° 80,534		350° 30' 74,037
	196° 103,462		214° 30' 80,034		351° 74,107
	196° 30' 103,018		215° 79,555		351° 30' 74,192
	197° 102,552		215° 30' 79,096		352° 74,293
	197° 30' 102,065		216° 78,657		352° 30' 74,409
	198° 101,556		216° 30' 78,238		353° 74,541
	198° 30' 101,025		217° 77,840		353° 30' 74,690
	199° 100,472		217° 30' 77,461		354° 74,854
	199° 30' 99,959		218° 77,103		354° 30' 75,035
	200° 99,307		218° 30' 76,764		355° 75,229
	200° 30' 98,694		219° 76,445		355° 30' 75,438
	201° 98,061		219° 30' 76,146		356° 75,662
	201° 30' 97,411		220° 75,867		356° 30' 75,901
	202° 96,743		220° 30' 75,607		357° 76,153
	202° 30' 96,060		221° 75,366		357° 30' 76,418
	203° 95,362		221° 30' 75,146		358° 76,697
	203° 30' 94,652		222° 74,948		358° 30' 76,987
	204° 93,931		222° 30' 74,766		359° 77,290
	204° 30' 93,201		223° 74,603		359° 30' 77,604
	205° 92,465		223° 30' 74,460		360° 77,930
	205° 30' 91,724		224° 74,334		
	206° 90,981		224° 30' 74,227		
	206° 30' 90,238		225° 74,137		
	207° 89,499		225° 30' 74,062		
	207° 30' 88,766		226° 74,002		

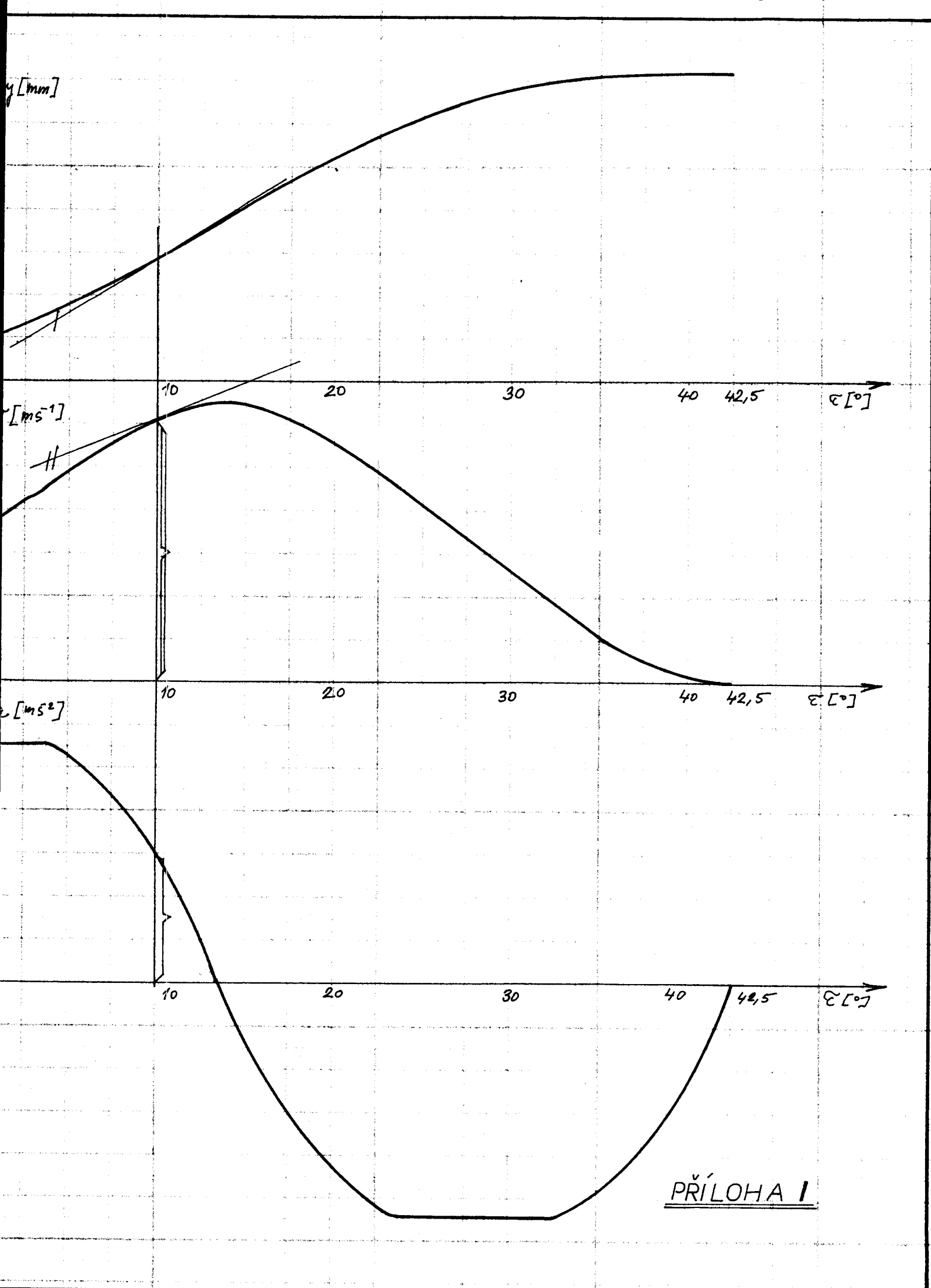
Práce	Práce - Příslušenství	Poločování	Mot. konečný	Mot. výchozí	Čís. od	Čís. do	Hodnota	Číslo výkresu	Popis
Poznámka									
Měřidlo	Kresti <u>Baumit U</u>			Čís. sním.	Celková čistá váha v kg				
	Pracovní				C		S		x
	Normativ				C		S		x
	Výr. pracovní	Schválil		Č. transp.	C		S		x
		Lone			C		S		x
VŠST		Typ	Skupina	Starý výkres	Nový výkres				
Liberec		Název							
		VÁČKA		TK-00.0002					
		PŘETÁCENÍ SKŘIPCE		Počet listů 2					
List 2									

FÁZE	VÝROBNÍ SOUŘADNICE $\varphi \pm 30^\circ$ R ± 0,1	FÁZE	VÝROBNÍ SOUŘADNICE $\varphi \pm 30^\circ$ R ± 0,1	FÁZE	VÝROBNÍ SOUŘADNICE $\varphi \pm 30^\circ$ R ± 0,1	FA
	0° 77,930		25° 101,020		50° 109,981	
0° 30' 78,268		25° 30' 101,402		50° 30' 109,989		
1° 78,616		26° 101,775		51° 109,995		
1° 30' 78,975		26° 30' 102,139		51° 30' 109,998		
2° 79,345		27° 102,494		52° 109,999		
2° 30' 79,725		27° 30' 102,841		$52^{\circ}30' + 167^{\circ}$ 110,000 ± 0,01		
3° 80,114		28° 103,177		167° 30' 109,994		
3° 30' 80,514		28° 30' 103,505		168° 109,966		
4° 80,923		29° 103,824		168° 30' 109,910		
4° 30' 81,343		29° 30' 104,137		169° 109,825		
5° 81,772		30° 104,435		169° 30' 109,714		
5° 30' 82,209		30° 30' 104,729		170° 109,576		
6° 82,655		31° 105,012		170° 30' 109,418		
6° 30' 83,110		31° 30' 105,288		171° 109,250		
7° 83,572		32° 105,555		171° 30' 109,089		
7° 30' 84,043		32° 30' 105,813		172° 108,947		
8° 84,521		33° 106,063		172° 30' 108,830		
8° 30' 85,006		33° 30' 106,305		173° 108,739		
9° 85,497		34° 106,539		173° 30' 108,671		
9° 30' 85,994		34° 30' 106,764		174° 108,628		
10° 86,497		35° 106,928		174° 30' 108,606		
10° 30' 87,005		35° 30' 107,191		175° 108,600		
11° 87,517		36° 107,392		176° 108,594		
11° 30' 88,032		36° 30' 107,585		176° 30' 108,576		
12° 88,551		37° 107,770		177° 108,543		
12° 30' 89,072		37° 30' 107,946		177° 30' 108,495		
13° 89,595		38° 108,115		178° 108,431		
13° 30' 90,119		38° 30' 108,276		178° 30' 108,354		
14° 90,644		39° 108,430		179° 108,262		
14° 30' 91,168		39° 30' 108,575		179° 30' 108,158		
15° 91,691		40° 108,710		180° 108,050		
15° 30' 92,212		40° 30' 108,839		180° 30' 107,942		
16° 92,730		41° 108,961		181° 107,841		
16° 30' 93,245		41° 30' 109,075		181° 30' 107,753		
17° 93,757		42° 109,181		182° 107,678		
17° 30' 94,263		42° 30' 109,280		182° 30' 107,617		
18° 94,765		43° 109,371		183° 107,569		
18° 30' 95,261		43° 30' 109,455		183° 30' 107,535		
19° 95,750		44° 109,532		184° 107,513		
19° 30' 96,233		44° 30' 109,602		184° 30' 107,503		
20° 96,709		45° 109,665		185° 107,500		
20° 30' 97,177		45° 30' 109,721		185° 30' 107,500		
21° 97,638		46° 109,771		186° 107,497		
21° 30' 98,091		46° 30' 109,815		186° 30' 107,487		
22° 98,536		47° 109,854		187° 107,467		
22° 30' 98,972		47° 30' 109,886		187° 30' 107,433		
23° 99,399		48° 109,914		188° 107,383		
23° 30' 99,818		48° 30' 109,937		188° 30' 107,313		
24° 100,227		49° 109,956		189° 107,224		
24° 30' 100,628		49° 30' 109,970				

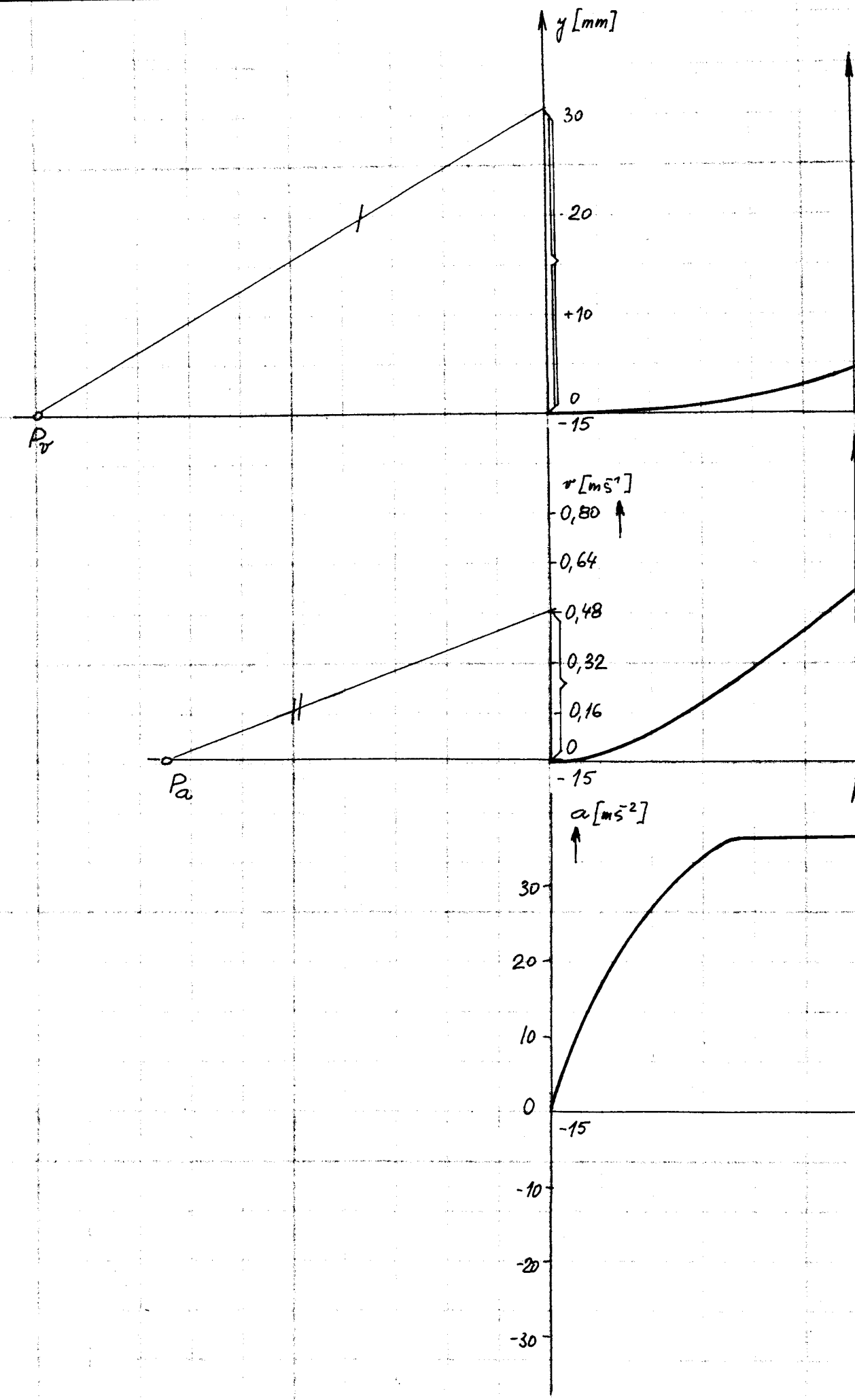


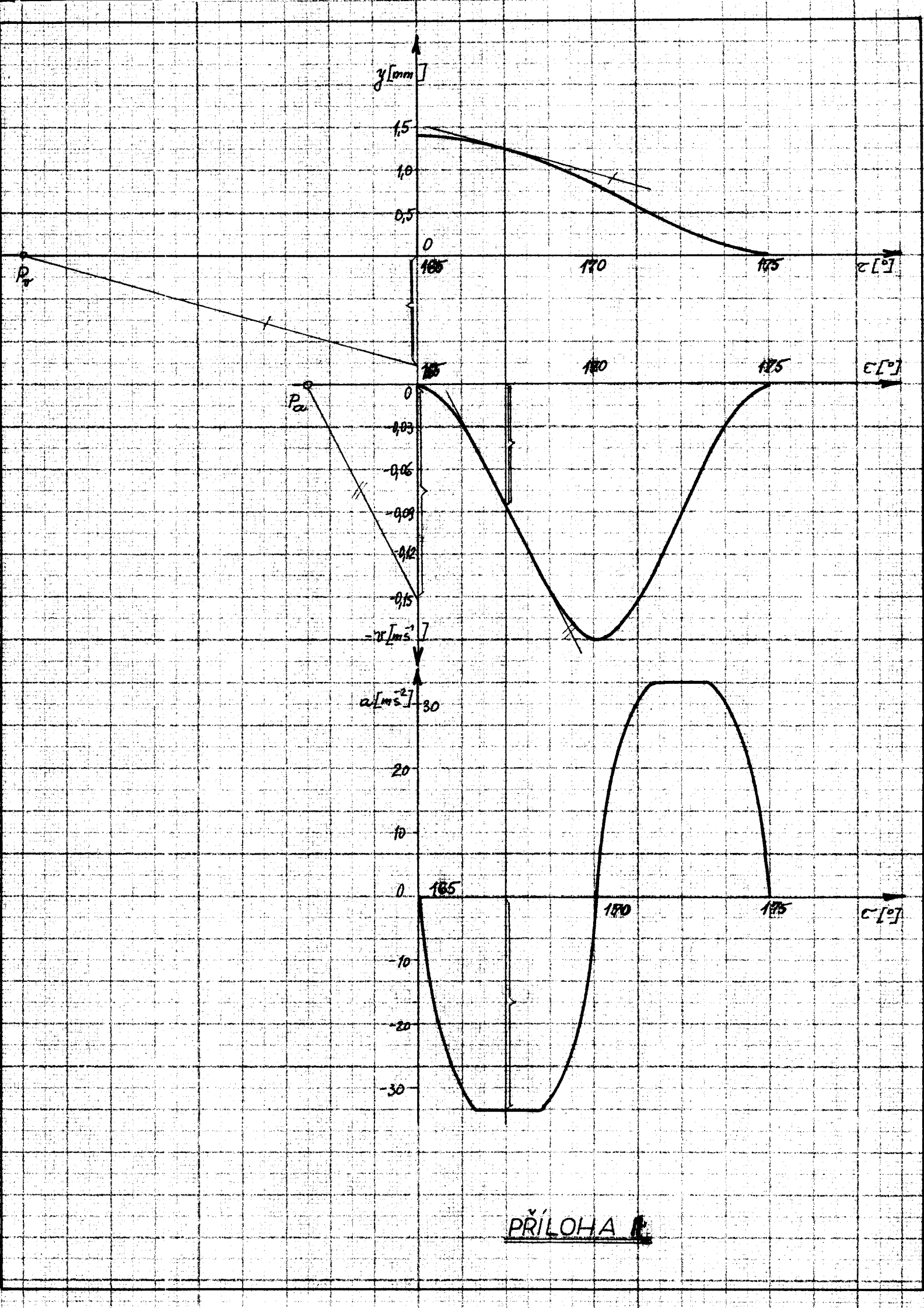


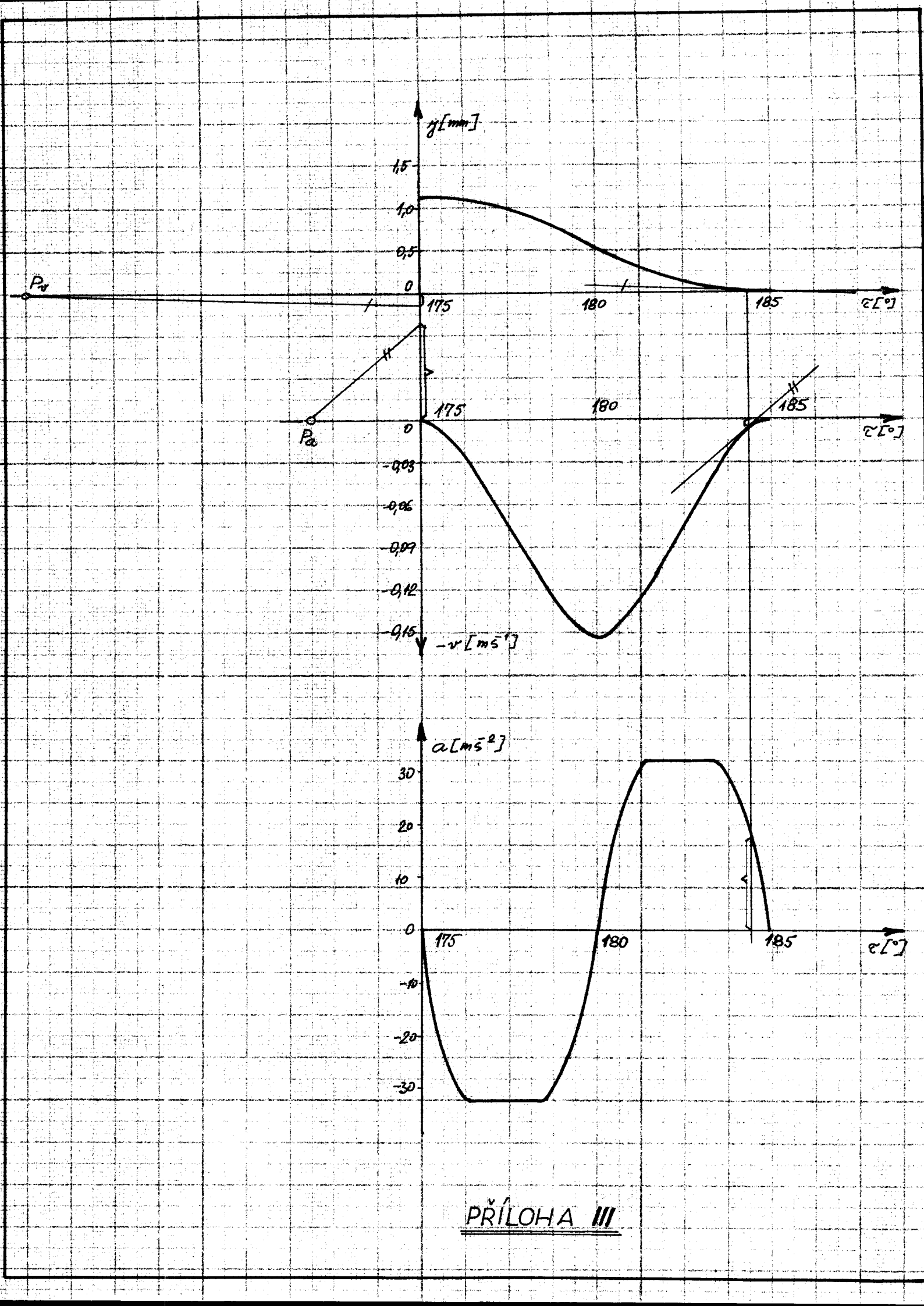




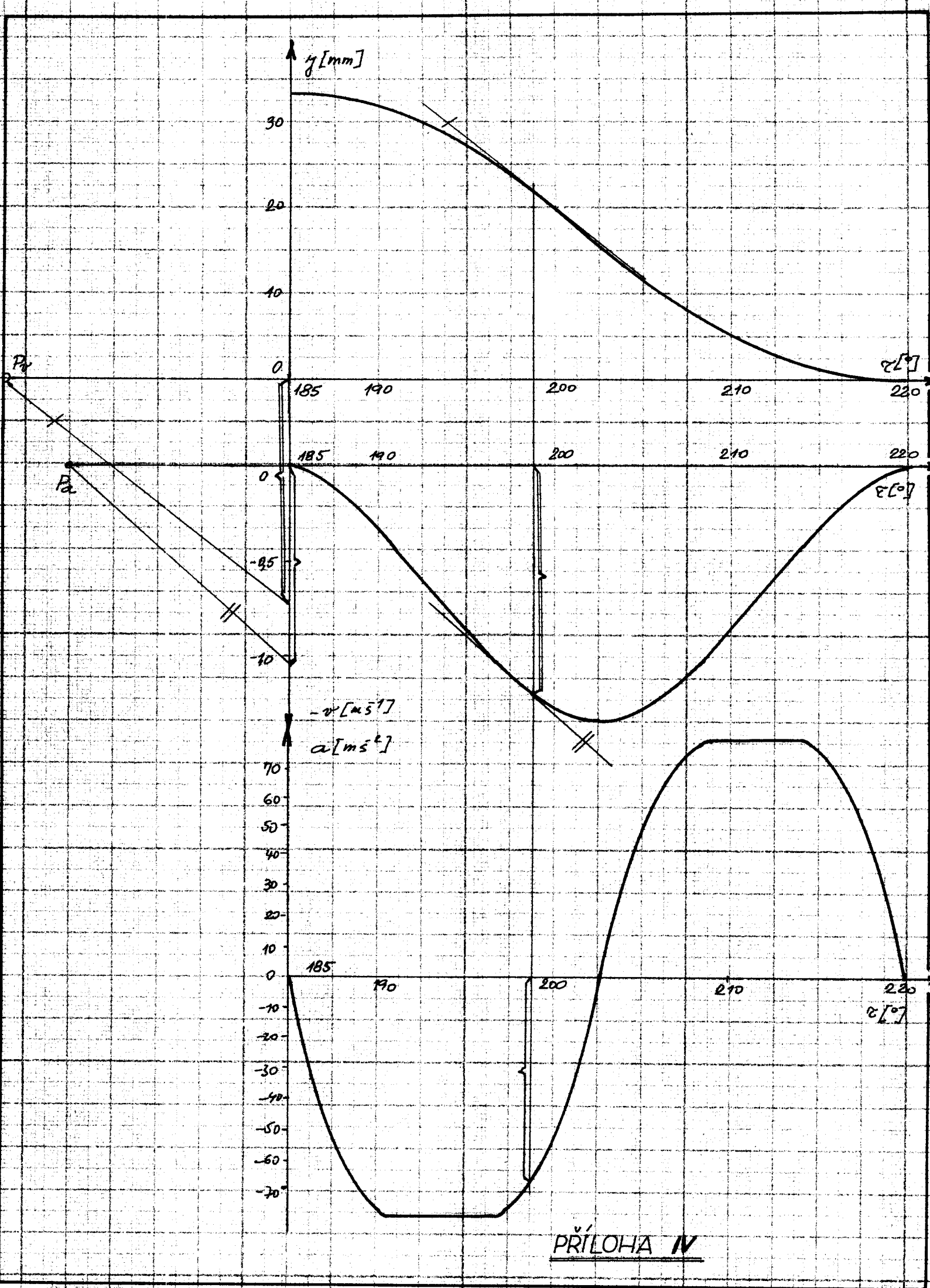
PŘÍLOHA I







PŘÍLOHA III



PŘÍLOHA IV